

Skripsi Nabila Fatihah

3336200061

by Turnitin.inn

Submission date: 26-Jul-2024 07:12AM (UTC+0300)

Submission ID: 2419001559

File name: Skripsi_Nabila_Fatihah_3336200061.pdf (13.57M)

Word count: 17191

Character count: 98927

**ANALISIS DEFORMASI LATERAL 49 *CONTIGUOUS BORED
PILE PADA PEKERJAAN GALIAN DALAM***
MENGGUNAKAN METODE ELEMEN HINGGA

(Studi Kasus : Proyek Pembangunan Kantor JHL S8 Gading Serpong)

**1
SKRIPSI**

Disusun sebagai salah satu syarat untuk memperoleh gelar Sarjana Teknik (S.T)



Disusun oleh:

NABILA FATIHAH

3336200061

**1
JURUSAN TEKNIK SIPIL**

FAKULTAS TEKNIK

UNIVERSITAS SULTAN AGENG TIRTAYASA

2024

PERNYATAAN KEASLIAN PENELITIAN

Dengan ini saya sebagai penulis Skripsi berikut:

Judul : Analisis Deformasi Lateral *Contiguous Bored Pile* Pada
Pekerjaan Galian Dalam Menggunakan Metode Elemen
Hingga

Nama : Nabila Fatihah

NIM : 3336200061

Fakultas/Jurusan : Teknik/Teknik Sipil

Menyatakan dengan sesungguhnya bahwa Skripsi tersebut di atas adalah benar-benar hasil karya asli saya dan tidak memuat hasil karya orang lain, kecuali dinyatakan melalui rujukan yang benar dan dapat dipertanggung jawabkan. Apabila dikemudian hari ditemukan hal-hal yang menunjukkan bahwa sebagian atau seluruh karya ini bukan karya saya, maka saya bersedia dituntut melalui hukum yang berlaku. Saya juga bersedia menanggung segala akibat hukum yang timbul dari pernyataan yang secara sadar dan sengaja saya nyatakan melalui lembar ini.

Cilegon, Juli 2024



Nabila Fatihah
NIM. 3336200061

SKRIPSI
ANALISIS DEFORMASI LATERAL *CONTIGUOUS BORED PILE* PADA
PEKERJAAN GALIAN DALAM MENGGUNAKAN METODE ELEMEN
HINGGA

Studi Kasus : Proyek Pembangunan Kantor JIIL S8 Gading Serpong

Dipersiapkan dan disusun oleh:
NABILA FATHIAH / 3336200061

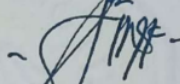
Telah dipertahankan di depan Dewan Penguji
Pada Tanggal:
01 Juli 2024

Susunan Dewan Penguji

Dosen Pembimbing I


Woolandari Fathonah, S.T., M.T.
NIP. 199012292019032021

Dosen Pembimbing II


Rama Indera Kusuma, S.T., M.T.
NIP. 198108222006041001

Dosen Penguji II


Enden Mina, S.T., M.Pd., M.T.
NIP. 197305062006042001

Dosen Penguji II


Ngakan Putu Purnadiya, S.T., M.T.
NIP. 198909142019031008

Skripsi ini telah diterima sebagai salah satu persyaratan
untuk memperoleh gelar Sarjana Teknik
Tanggal:

Mengetahui
Ketua Jurusan Teknik Sipil


Dr. Rindu Twidi Betuary, S.T., M.T.
NIP. 198212062010122001
iii

PRAKATA

Puji dan syukur Penulis panjatkan Kehadirat Allah SWT, yang telah melimpahkan rahmat, ridho, serta hidayah-Nya sehingga saya dapat menyelesaikan Skripsi ini. Skripsi ini diajukan untuk memenuhi salah satu persyaratan memperoleh derajat keserjanaan Strata-1 pada Jurusan Teknik Sipil, Fakultas Teknik, Universitas Sultan Ageng Tirtayasa, Banten.

Saya menyadari bahwa tanpa bantuan dan bimbingan dari berbagai pihak, dari masa perkuliahan sampai pada penyusunan skripsi ini, sangatlah sulit bagi saya untuk menyelesaikan skripsi ini. Oleh karena itu, saya mengucapkan terimakasih kepada:

1. Allah SWT. Karena berkat rahmat dan hidayahnya saya dapat menyelesaikan Skripsi ini.
3
2. Dr. Rindu Twidi Bethary, S.T., M.T. dan Ibu Woelandari Fathonah, S.T., M.T. selaku Ketua Jurusan dan Sekretaris Jurusan Teknik Sipil.
60
3. Ibu Woelandari Fathonah, S.T., M.T. dan Rama Indera Kusuma, S.T., M.T. selaku Dosen Pembimbingan I dan II yang telah meluangkan waktu dan pikiran dalam membimbing penulis untuk menyelesaikan Skripsi
47
4. Ibu Enden Mina, S.T., M.Pd., M.T. dan Bapak Ngakan Putu Purnaditya, S.T., M.T. selaku Dosen Penguji I dan II yang telah memberikan saran dan masukan dalam penelitian ini.
50
5. Seluruh Dosen dan Staff Jurusan Teknik Sipil Untirta yang telah memberikan ilmunya yang sangat bermanfaat di bangku kuliah yang menjadi bekal berharga dalam pembuatan Skripsi ini.
66
6. Pihak PT. Nusa Raya Cipta yang telah membantu dalam melengkapi data-data yang diperlukan sebagai penunjang Skripsi saya.
95
7. Kedua orang tua, kakak, adik, dan keluarga besar saya yang selalu memberikan doa, dukungan material dan moral yang tak pernah habis yang menjadi motivasi saya dalam mengejar cita-cita saya hingga saat ini.
62
8. Teman-teman Koning yang telah menemani dan membantu saya selama perkuliahan.
74

9. Seluruh teman-teman Mahasiswa Teknik Sipil Fakultas Teknik Universitas Sultan Ageng Tirtayasa.¹
10. Seluruh pihak yang tidak bisa disebutkan satu persatu yang telah membantu saya dalam menyelesaikan skripsi ini.⁴²

Akhir kata, saya berharap Allah SWT. berkenan membalas segala kebaikan semua pihak yang membantu. Saya menyadari bahwa masih terdapat banyak kekurangan dalam Skripsi ini. Oleh sebab itu, kritik serta saran dari para pembaca akan sangat bermanfaat bagi saya. Semoga Skripsi ini dapat bermanfaat bagi semua pihak yang membacanya.

Cilegon, Juli 2024



Penulis

**ANALISIS DEFORMASI LATERAL 49
PILE PADA PEKERJAAN GALIAN DALAM
MENGGUNAKAN METODE ELEMEN HINGGA**

(Studi Kasus : Proyek Pembangunan Kantor JHL S8 Gading Serpong)

Nabila Fatihah

INTISARI

Berkurangnya ketersediaan lahan menyebabkan pergeseran pembangunan menuju arah vertikal, dengan semakin banyaknya konstruksi gedung-gedung tinggi sebagai pengganti bangunan yang luas. Dalam menghadapi permasalahan tersebut, tidak sedikit bangunan bertingkat memiliki *basement* yang digunakan sebagai lahan parkir atau ruang pompa. Proyek JHL S8 *Office* memiliki 2 *basement*. Tentunya pada pembangunan *basement* diperlukan dinding penahan tanah untuk mencegah terjadinya kelongsoran.

Tujuan penelitian ini untuk mengetahui deformasi lateral dan nilai *safety factor* pada dinding penahan tanah di proyek JHL S8 *Office* akibat pekerjaan galian dalam dengan menggunakan Plaxis 2D. Pemodelan akan dibuat dengan model *Mohr Coulomb* dan *Hardening Soil* dengan kondisi *long term* dan *short term* kemudian hasil deformasi lateral akan dibandingkan dengan *inclinometer*. Selain itu, *safety factor* juga diperhitungkan dengan metode perhitungan manual.

Hasil dari penelitian ini menunjukkan bahwa deformasi lateral *contiguous bored pile* dengan *software* Plaxis pemodelan *Mohr Coulomb Undrained B* (jangka panjang) adalah 36,25 mm, pemodelan *Mohr Coulomb Undrained C* (jangka pendek) sebesar 33,6 mm, dan pemodelan *Hardening Soil* (jangka panjang) yaitu 22,6 mm. Dari ketiga hasil tersebut perbandingan dengan hasil uji *inclinometer* berturut-turut yaitu 33,74%, 28,66%, dan 5,61%. Pada analisis *safety factor* menggunakan Plaxis hasil dari ketiga pemodelan tersebut berturut-turut yaitu 2,3875, 1,6889, dan 1,687. Sedangkan perhitungan manual nilai angka aman terhadap pergeseran yaitu 3,997 dan terhadap penggulingan 5,696.

Kata Kunci: Plaxis, *Contiguous Bored Pile*, Deformasi Lateral, Faktor Keamanan

**ANALYSIS OF CONTIGUOUS BORED PILE LATERAL
DEFORMATION IN DEEP EXCAVATION WORKS USING
FINITE ELEMENT**

(Case Study: JHL S8 Office Construction Project Gading Serpong)

Nabila Fatihah

ABSTRACT

The decreasing availability of land has led to a shift in development towards vertical construction, with an increasing number of high-rise buildings replacing expansive structures. In addressing this issue, many multi-story buildings have basements used as parking lots or pump rooms. The JHL S8 Office project has 2 basements. Of course, the construction of basements requires retaining walls to prevent landslides.

¹ The aim of this study is to determine the lateral deformation and safety factor values of the retaining walls in the JHL S8 Office project due to deep excavation work using Plaxis 2D. The modeling will be conducted using the Mohr-Coulomb and Hardening Soil models under long-term and short-term conditions, and the results of lateral deformation will be compared with inclinometer readings. Additionally, the safety factor will also be calculated using manual calculation methods.

The results of this study show that the lateral deformation of the contiguous bored pile using Plaxis software with the Mohr-Coulomb Undrained B model (long term) is 36,25 mm, the Mohr-Coulomb Undrained C model (short term) is 33,6 mm, and the Hardening Soil Undrained B model (long term) is 22,6 mm. Compared to the inclinometer test results, these values correspond to 33,74%, 28,66%, and 5,61%, respectively. In the safety factor analysis using Plaxis, the results for the three models are 2,3875, 1,6889, and 1,687, respectively. Meanwhile, the manual calculation of the safety factor values against sliding is 3,997 and against overturning is 5,696.

Keywords: Plaxis, Contiguous Bored Pile, Lateral Deformation, Safety Factor

1 DAFTAR ISI

HALAMAN JUDUL	i
HALAMAN PERNYATAAN.....	ii
HALAMAN PENGESAHAN.....	iii
PRAKATA.....	iv
INTISARI	vi
ABSTRACT	vii
DAFTAR ISI.....	viii
DAFTAR TABEL	x
DAFTAR GAMBAR.....	xi
DAFTAR LAMPIRAN	xiii
BAB 1 PENDAHULUAN	
1.1 Latar Belakang	1
1.2 Rumusan Masalah	2
1.3 Tujuan Penelitian.....	3
1.4 Batasan Masalah.....	3
1.5 Manfaat Penelitian.....	4
1.6 Keaslian Penelitian.....	4
BAB 2 TINJAUAN PUSTAKA	
2.1 Hasil Penelitian Terdahulu	5
2.2 Keterkaitan Penelitian	11
BAB 3 LANDASAN TEORI	
3.1 Pekerjaan Galian.....	12
3.2 Dinding Penahan Tanah (<i>Retaining Wall</i>).....	14
3.3 Tekanan Tanah Lateral	18
3.4 Analisis Deformasi	18
3.5 Parameter Tanah.....	18
3.6 <i>Dewatering</i>	23
3.7 <i>Inclinometer</i>	24
3.8 Program Plaxis	24

3.9	Tahapan Analisis	28
3.10	Faktor Keamanan	30
3.11	Pengujian Triaksial	30
3.12	Analisa <i>Undrained</i>	31

BAB 4 METODE PENELITIAN

4.1	Prosedur Penelitian	34
4.2	Lokasi Penelitian	34
4.3	Bahan atau Materi	36
4.4	Perangkat Lunak (<i>Software</i>)	37
4.5	Analisis Data	37

BAB 5 HASIL PENELITIAN DAN PEMBAHASAN

5.1	Pendahuluan	39
5.2	Deformasi Lateral Dinding Penahan Tanah	39
5.3	Analisis Faktor Keamanan	57

BAB 6 KESIMPULAN DAN SARAN

6.1	Kesimpulan	64
6.2	Saran	65

DAFTAR PUSTAKA

LAMPIRAN

DAFTAR TABEL

Tabel 2.1 Positioning Penelitian Skripsi Terhadap Penelitian Sebelumnya	7
Tabel 3.1 Korelasi N-SPT dengan γ_{sat} untuk Tanah Kohesif.....	19
Tabel 3.2 Korelasi N-SPT dengan γ untuk Tanah Non kohesif.....	19
Tabel 3.3 Korelasi Antara γ_{sat} dan γ_{dry}	19
Tabel 3.4 Korelasi Jenis Tanah dengan Nilai Permeabilitas.....	20
Tabel 3.5 Korelasi Kohesi dengan Konsistensi Tanah untuk Tanah Lempung ...	20
Tabel 3.6 Korelasi Poisson Ratio dengan N-SPT	22
Tabel 3.7 Korelasi Sudut Geser dengan Jenis Tanah.....	22
Tabel 4.1 Estimasi Waktu Penelitian	38
Tabel 5.1 Parameter Tanah	45
Tabel 5.2 Batasan Deformasi Lateral Dinding Penahan Tanah	53
Tabel 5.3 Rekapitulasi Hasil Analisa Deformasi Lateral	54
Tabel 5.4 Hasil Deformasi Lateral Inclinometer dan Plaxis	54
Tabel 5.5 Perbandingan Hasil Deformasi Lateral Inclinometer dan Plaxis	56
Tabel 5.6 Parameter Tanah untuk Perhitungan Tekanan Tanah Lateral	60
Tabel 5.7 Perhitungan Tekanan Tanah Aktif	60
Tabel 5.8 Perhitungan Jarak Lengan Tekanan Tanah Aktif.....	61
Tabel 5.9 Perhitungan Momen Tekanan Tanah Aktif.....	61
Tabel 5.10 Perhitungan Tekanan Tanah Aktif.....	61
Tabel 5.11 Perhitungan Jarak Lengan Tekanan Tanah Pasif	62
Tabel 5.12 Perhitungan Momen Tekanan Tanah Pasif	62
Tabel 5.13 Rekapitulasi SF Perhitungan Manual dan Plaxis	63

DAFTAR GAMBAR

1	Gambar 2.1 Diagram Alir Keterkaitan Penelitian Tugas Akhir terhadap Penelitian Sebelumnya.....	11
	Gambar 3.1 Metode <i>Open-Cut</i>	12
	Gambar 3.2 Metode <i>Cut and Cover</i>	13
	Gambar 3.3 <i>Gravity Wall</i>	15
	Gambar 3.4 <i>Kantilever Retaining Wall</i>	15
	Gambar 3.5 <i>Soldier pile Retaining Wall</i>	16
	Gambar 3.6 <i>Contiguous Bored Pile</i>	16
	Gambar 3.7 <i>Kantilever Retaining Wall</i>	17
	Gambar 3.8 Grafik Teori Elastoplastik	25
	Gambar 3.9 Grafik Modulus <i>Mohr Coulomb</i>	26
	Gambar 3.10 Grafik Fungsi <i>Mohr Coulomb</i>	26
	Gambar 3.11 Grafik Modulus <i>Hardening Soil</i>	28
	Gambar 3.12 Uji Triaksial.....	30
	Gambar 4.1 Diagram Alur Penelitian.....	34
	Gambar 4.2 Lokasi Proyek JHL S8 <i>Office</i>	35
	Gambar 4.3 Titik <i>Contiguous Bored Pile</i>	35
	Gambar 4.4 Titik <i>Contiguous Bored Pile</i>	36
	Gambar 4.5 Titik <i>Depth Bore</i> Penelitian.....	36
	Gambar 5.1 Pemodelan Tanah	40
	Gambar 5.2 Grafik <i>Stress-Strain Specimen 1</i>	41
	Gambar 5.3 Grafik <i>Stress-Strain Specimen 2</i>	41
	Gambar 5.4 Grafik <i>Stress-Strain Specimen 3</i>	42
	Gambar 5.5 Grafik Modulus <i>Specimen 1</i>	42
	Gambar 5.6 Grafik Modulus <i>Specimen 2</i>	43
	Gambar 5.7 Grafik Modulus <i>Specimen 3</i>	43
	Gambar 5.8 Grafik E50ref.....	44
	Gambar 5.9 Potongan <i>General Excavation</i>	46
	Gambar 5.10 Potongan Galian <i>Safety</i>	47

Gambar 5.11 Potongan Dasar Galian	47
Gambar 5.12 Pemodelan pada Plaxis	48
²⁸ Gambar 5.13 <i>Meshing</i>	48
Gambar 5.14 <i>Initial Condition</i>	49
Gambar 5.15 Pemasangan <i>Contiguous Bored Pile</i>	49
Gambar 5.16 Pekerjaan Galian Tahap 1	49
Gambar 5.17 Penurunan Muka Air Tanah	50
Gambar 5.18 Pekerjaan Galian Tahap 2	50
Gambar 5.19 Pekerjaan Galian Tahap 3	50
Gambar 5.20 Jendela <i>Calculation Plaxis</i>	51
Gambar 5.21 Deformasi Lateral Pemodelan <i>Mohr Coulomb Undrained B</i>	52
Gambar 5.22 Deformasi Lateral Pemodelan <i>Mohr Coulomb Undrained C</i>	52
Gambar 5.23 Deformasi Lateral Pemodelan <i>Hardening Soil</i>	53
Gambar 5.24 Grafik Deformasi Lateral <i>Inclinometer</i> dengan Plaxis	56
Gambar 5.25 <i>Safety Factor</i> Pemodelan <i>Mohr Coulomb Undrained B</i>	58
Gambar 5.26 <i>Safety Factor</i> Pemodelan <i>Mohr Coulomb Undrained C</i>	58
Gambar 5.27 <i>Safety Factor</i> Pemodelan <i>Hardening Soil</i>	58
Gambar 5.28 Diagram Tekanan Tanah Aktif dan Pasif	59

PENDAHULUAN**1.1 Latar Belakang**

Sejalan dengan kemajuan waktu, pembangunan infrastruktur mengalami peningkatan yang signifikan. Banyak perusahaan yang mendirikan bangunan sebagai salah satu tolak ukur kemajuan bisnisnya. Proyek JHL *Office S8* Gading Serpong merupakan bangunan yang difungsikan sebagai infrastruktur penunjang berbagai kegiatan yang dimiliki oleh perusahaan JHL *Group*. Proyek ini akan terdiri dari 23 lantai dan 2 *basement* yang akan berdiri di area lahan seluas 1500 m². Dalam proses pembangunan proyek konstruksi sangatlah dibutuhkan persiapan yang baik untuk meminimalisir ketidaksesuaian yang dapat terjadi selama proyek konstruksi berlangsung, sehingga dibutuhkannya analisis yang baik untuk kegiatan-kegiatan yang berlangsung dapat berjalan dengan baik

7

Dinding penahan tanah atau disingkat DPT merupakan salah satu struktur bangunan yang memiliki peran dalam memberikan dukungan lateral pada tanah, sehingga mampu menahan tanah dengan perbedaan ketinggian di kedua sisi dinding. Struktur ini dimanfaatkan untuk mengendalikan pergerakan tanah di antara dua elevasi yang berbeda, terutama di area medan dengan kemiringan yang tidak diharapkan.

Disamping dan belakang proyek JHL S8 terdapat gedung bertingkat, dikhawatirkan jika tanah dibawah gedung bertingkat tersebut longsor yang akan merubah struktur tanah dan mengganggu proyek JHL. Maka dari itu dibangunlah dinding penahan tanah untuk menahan tanah dari kelongsoran (Rifaldi et al., n.d.).

13 Pada proyek ini menggunakan jenis dinding penahan tanah *contiguous bored pile*.

4

Penulis terpusat terhadap masalah galian dalam pada proyek JHL S8 *Office* dengan tipe perkuatan dinding *contiguous bored pile* dengan tinggi -15 m. Tantangan utama pada pekerjaan galian dalam terletak besarnya perubahan bentuk samping pada struktur dinding bangunan di bawah tanah di sekitar galian yang dapat berpotensi kerusakan pada dinding penahan tanah *contiguous bored pile*.

Oleh karena itu diperlukan pemeriksaan yang cermat guna mencegah kemungkinan kerusakan tersebut. Pada penelitian ini, penulis akan menganalisa deformasi lateral pada *contiguous bored pile* yang terjadi disekitar galian dalam, dengan membandingkan 2 pendekatan model tanah yaitu *Mohr Coulomb* dan *Hardening Soil* lalu divalidasi dengan monitoring lapangan. Penggeraan penelitian ini menggunakan metode deskriptif analitis dengan melibatkan *software Plaxis 2D*. ¹⁵ *Plaxis* adalah salah satu program menggunakan metode elemen hingga dua dimensi yang digunakan secara khusus untuk menganalisa deformasi dan stabilitas untuk berbagai aplikasi dalam bidang geoteknik. *Output* dari program ini seperti nilai angka keamanan dan deformasi yang dapat digunakan sebagai acuan untuk penanganan perkuatan terhadap lereng.

Analisa deformasi horizontal *contiguous bored pile* pada pekerjaan galian dalam menggunakan *software Plaxis* sebelumnya pernah diteliti oleh Handianti ⁴ Muhdinar Pasaribu dan Bigman Marihat Hutapea (2017) di proyek konstruksi MRT Jakarta dengan tipe perkuatan dinding diafragma (*D-Wall*). Pemodelan yang digunakan dalam program *Plaxis* yaitu *Mohr Coulomb* dan *Hardening Soil*. Hasil deformasi horizontal yang diperoleh dari penelitian tersebut menggunakan model tanah *Hardening Soil* lebih mendekati monitoring di lapangan daripada model tanah *Mohr-Coulomb* walaupun hasil yang diperoleh cukup jauh dari monitoring di lapangan.

Selanjutnya Weby Rizka Amala (2018) menganalisa deformasi lateral pada dinding penahan tanah berjenis *diaphragm wall* dengan menggunakan *Plaxis 2D* model *Mohr Coulomb* kemudian dilakukan perbandingan dengan hasil monitoring *inclinometer*. Perbandingan hasil analisis dengan menggunakan program *Plaxis 2D* dengan hasil pembacaan *inclinometer*, didapatkan persentase *error* sebesar 0,7% dengan nilai deformasi lateral maksimum pada *Plaxis 2D* yaitu 16,44 mm ⁵⁷ dan nilai deformasi lateral maksimum pada pembacaan *inclinometer* yaitu 16,34.

1.2 Rumusan Masalah

Berdasarkan latar belakang diatas rumusan masalah sebagai berikut :

- a. Bagaimana besaran deformasi lateral yang terjadi pada *contiguous bored pile* dengan menggunakan *software Plaxis 2D* pemodelan *Mohr Coulomb* dan *Hardening Soil*?
- b. Bagaimana perbandingan deformasi lateral *contiguous bored pile* dengan hasil *inclinometer* di lapangan?
- c. Berapa nilai *safety factor* pekerjaan galian pada konstruksi *basement* proyek JHL S8 *Office* dengan menggunakan program *Plaxis 2D* dan perhitungan manual?

67

1.3 Tujuan Penelitian

Tujuan dari penelitian ini yaitu :

- a. Mengetahui besaran deformasi lateral yang terjadi pada *contiguous bored pile* berdasarkan ³ *output Plaxis 2D* dengan menggunakan pemodelan *Mohr Coulomb* dan *Hardening Soil*.
- b. Mengetahui persentase perbandingan deformasi lateral *contiguous bored pile* dengan hasil *inclinometer* di lapangan.
- c. Mengetahui nilai *safety factor* pekerjaan galian pada konstruksi *basement* proyek JHL S8 *Office* dengan menggunakan program *Plaxis 2D* dan perhitungan manual.

30

1.4 Batasan Masalah

Batasan-batasan masalah dalam penelitian ini sebagai berikut :

- a. Lokasi penelitian *contiguous bored pile* terdapat di Proyek JHL S8 *Office Gading Serpong*.³⁶
- b. Data yang diperoleh dari hasil penyelidikan lapangan yaitu data SPT (*Standard Penetration Test*), bor dalam (*Depth Boring*), *dewatering*, dan *inclinometer*, serta data uji laboratorium yaitu *Triaxial*.³⁶
- c. Parameter tanah lainnya diperoleh dari korelasi data SPT dan tabel spesifikasi dari literatur yang umum digunakan.
- d. Dinding penahan tanah yang digunakan yaitu *contiguous bored pile*.¹⁴
- e. Analisa deformasi dinding penahan tanah menggunakan program *Plaxis v8.2* dengan pemodelan *Mohr Coulomb* dan *Hardening Soil*.
- f. Tidak melakukan analisa *dewatering*.

- g. Tidak memperhitungkan beban gempa.
- h. Beban struktur tidak diketahui.

69
1.5 Manfaat Penelitian

Manfaat dari penelitian ini adalah:

- a. Mengetahui pengetahuan penulis mengenai deformasi lateral *contiguous bored pile* dan perbandingannya dengan data lapangan yang didapat dari *inclinometer*.
- b. Menambah pengetahuan penulis mengenai *safety factor* pekerjaan galian pada konstruksi *basement* proyek JHL 28 *Office* dengan menggunakan program Plaxis 2D dan perhitungan manual.
- c. Mengaplikasikan program Plaxis 2D untuk menganalisis *safety factor* dan tekanan tanah yang terjadi pada *contiguous bored pile*.

1.6 Keaslian Penelitian

Penelitian mengenai analisis deformasi lateral *contiguous bored pile* pada Proyek Pembangunan Kantor JHL S8 belum dilakukan sebelumnya sehingga penelitian yang dilakukan masih bersifat asli.

BAB 2

TINJAUAN PUSTAKA

2.1 Hasil Penelitian Terdahulu

Untuk memperkuat studi yang sedang dibahas, peneliti berusaha mengidentifikasi berbagai literatur dan penelitian sebelumnya yang masih relevan dengan masalah yang menjadi subjek penelitian ini. Berikut merupakan penelitian yang saya gunakan sebagai landasan penelitian yang saya lakukan diantaranya :

- a. “Analisis Deformasi dan Penurunan Tanah pada Galian Dalam dengan Metode Elemen Hingga Melalui Studi Evaluasi Model Tanah” yang diteliti oleh Hadiani Muhdinari Pasaribu dan Bigman Marihat Hutapea (2017) dari Universitas Muhammadiyah Sumatera Utara dan Institut Teknologi Bandung.
Hadiani dan Bigman melakukan analisa deformasi horizontal pada dinding penahan tanah dan penurunan tanah yang terjadi disekitar galian dalam dengan membandingkan 2 pendekatan model tanah yaitu *Mohr Coulomb* dan *Hardening Soil* kemudian divalidasi dengan hasil monitoring lapangan. Hasil deformasi horizontal yang diperoleh menggunakan model tanah *Hardening Soil* secara umum lebih mendekati dengan hasil monitoring di lapangan dibandingkan dengan model tanah *Mohr-Coulomb*.

- b. “Analisis Deformasi Dinding Penahan Tanah dengan Angkur pada Galian Dalam” yang diteliti oleh Gregorius Ivaldy Pramudyo (2021) dari Universitas Katolik Parahyangan. Gregorius menggunakan metode elemen hingga dengan Plaxis 2D dan pemodelan tanah *Hardening Soil Model*. Pemodelan dengan Plaxis 2D digunakan untuk menganalisis defleksi dinding penahan tanah, penurunan permukaan tanah di sekitar galian, tipe *dewatering*, muka air tanah dan gaya dalam dinding penahan tanah. Dari hasil pemodelan didapatkan hasil defleksi dinding penahan tanah yang akurat dengan hasil inklinometer. Untuk mengetahui pengaruh angkur tanah pada dinding penahan tanah, dilakukan simulasi pemodelan kegagalan baris angkur. Akibat adanya kegagalan pada

suatu baris angkur, terjadinya kenaikan defleksi dan momen lentur pada dinding penahan tanah.

- 7
- c. “Analisis Deformasi Dinding *Basement* pada Salah Satu Proyek Sudirman Menggunakan Metode *Back Analysis* dari Hasil *Monitoring*” yang diteliti oleh Frando Wadini, Gregorius Sandjaja Sentosa dan Ali Iskandar (2018) dari Universitas Tarumanagara. Frando dan tim melakukan analisis desain mengenai deformasi dinding penahan tanah jenis *diaphragm wall* yang akan terjadi atau sebelum galian. Namun hasil analisis desain menunjukkan nilai yang berbeda jauh dengan hasil pengamatan di lapangan saat galian mencapai dasarnya. Kemudian penulis melakukan analisis kembali parameter tanah yang menyebabkan perbedaan deformasi dinding *basement* antara sebelum dan sesudah galian dalam yang keduanya memiliki hasil yang berbeda jauh. Setelah dilakukan analisis, diketahui besarnya pengaruh *unloading* dan *reloading* sebesar 47,9452% serta pengaruh pemasangan pondasi adalah 52,0548% terhadap kesesuaian deformasi yang terjadi pada dinding penahan tanah.
- 1
- d. “Analisis Deformasi Lateral *Diaphragm Wall* dan *Dewatering* pada Konstruksi *Basement*” yang diteliti oleh Weby Rizka Amala (2018) dari Universitas Sultan Ageng Tirtayasa. Weby melakukan penelitian mengenai analisa deformasi lateral *diaphragm wall* dan nilai *safety factor* akibat pekerjaan galian dengan menggunakan program Plaxis 2D dengan model *Mohr Coulomb* dan hasilnya dibandingkan dengan pembacaan *inclinometer*. Selain itu penelitiannya juga bertujuan mengetahui nilai debit air pada area galian, jumlah sumur *dewatering* dan sumpit, besar gaya *uplift* pada dasar area galian, dan nilai rembesan pada dasar dinding penahan tanah menggunakan program SEEP/W. Hasil dari penelitian tersebut menunjukkan bahwa deformasi lateral *diaphragm wall* akibat pekerjaan galian dengan menggunakan program Plaxis 2D yaitu 16,44 mm dan hasil pembacaan *inclinometer* yaitu 16,34 mm, dari hasil tersebut didapat persentase *error* sebesar 0,7%. Nilai *safety factor* pekerjaan galian dengan Plaxis 2D dan perhitungan manual berturut-turut sebesar 2,89; 2,9 untuk tahap pertama, 2,08; 2,23 untuk tahap kedua, dan 1,69; 1,9 untuk tahap ketiga.

Tabel 2.1 Positioning Penelitian Skripsi Terhadap Penelitian Sebelumnya

Peneliti	Hadiani Muhdinar Pasaribu dan Bigman Marihat Hutapea (2017) ⁴³	Gregorius Ivaldy Pramudyo (2021)	Frando Wadino, Gregorius Sandjaja S., dan Ali Iskandar (2018) ⁴⁴	Weby Rizka Amala (2018)	Nabila Fatihah (2024) ⁴⁵
Judul	Analisis Deformasi dan Penurunan Tanah pada Galian Dalam dengan Metode Elemen Hingga Melalui Studi Evaluasi Model Tanah ⁹⁰	Analisis Deformasi Dinding Penahan Tanah Dengan Angkur pada Galian Dalam	Analisis Deformasi Dinding Basement pada Salah Satu Proyek Sudirman	Analisis Deformasi Lateral <i>Diaphragm</i> <i>Wall</i> dan <i>Dewatering</i> pada <i>Konstruksi</i> Menggunakan Metode <i>Basement</i> <i>Back Analysis</i> dari Hasil <i>Monitoring</i> ¹⁴	Analisis Deformasi Lateral <i>Contiguous</i> <i>Bored Pile</i> pada Pekerjaan Galian Dalam Menggunakan Metode Elemen Hingga ¹⁴

	<i>Hardening Soil</i> dan <i>Mohr Coulomb</i> pada kondisi <i>undrained</i>	<i>dewatering</i> yang pada galian dalam	perbedaan deformasi dinding <i>basement</i> sebelum galian dan sesudah galian.	menggunakan program <i>Plaxis 2D</i> dan <i>Hardening Soil</i> .
			2. Membandingkan hasil deformasi	2. Membandingkan hasil deformasi
			3. Analisis kegagalan baris angkur	3. Pengaruh sifat <i>unloading</i> dan <i>dewatering</i>
			4. Analisis gaya dalam yang terjadi di sepanjang dinding penahan tanah	4. Pemasangan pondasi terhadap dinding penahan tanah.
				5. Analisis rembesan pada <i>diaphragm wall</i>
				3. Analisis nilai <i>safety factor</i> pada tanah di lapangan.
				3. Analisis nilai <i>safety factor</i> pelkerjaan galian pada konstruksi <i>basement</i> proyek JHL S8 Office dengan menggunakan program <i>Plaxis 2D</i> dan perhitungan

	4	Hasil deformasi horizontal pada tahap akhir galian di titik P#23 (ditengah dinding diafragma) tercatat pada monitoring inclinometer sebesar 9,79 mm, sedangkan menggunakan model <i>Hardening Soil</i> sebesar 11,11 mm dan model <i>Mohr-Coulomb</i> sebesar 19,41 mm. Penurunan tanah maksimum yang terjadi disekitar galian dalam monitoring <i>settlement plate</i> adalah sebesar 6	Hasil pemodelan didapatkan hasil analisis maksimum besarnya <i>unloading</i> dan <i>reloading</i> adalah sebesar 47,9452% serta pengaruh pemasangan <i>pondasi</i> dan <i>tie beam</i> terhadap kesesuaian pengaruh angkur tanah pada dinding penahan tanah, dilakukan simulasi pemodelan tanah. Akibat adanya kegagalan pada suatu kegagalan pada suatu baris angkur, terjadinya kenaikan defleksi dan	Setelah dilakukan analisis diketahui pengaruhnya besar dan adalah dengan <i>reloading</i> adalah sebesar 47,9452% serta pengaruh pemasangan <i>pondasi</i> dan <i>tie beam</i> adalah 52,0548% sebesar 9,79 mm. Untuk mengetahui pengaruh angkur tanah pada dinding penahan tanah, dilakukan simulasi kegagalan baris angkur. Akibat berdasarkan kegagalan pada suatu baris angkur, terjadinya kenaikan defleksi dan	Hasil dari penelitian ini menunjukkan persentase <i>error</i> perbandingan deformasi lateral dengan <i>Plaxis 2D software</i> <i>Coulomb Undrained B</i> hasil <i>inclinometer</i> berturut-turut sebesar 0,7%. Nilai <i>safety factor</i> pekerjaan galian berdasarkan tahap pertama, untuk tahap kedua, dan 1,69; 1,9 untuk tahap ketiga. Pada analisis <i>dewatering</i> didapatkan	Hasil dari penelitian ini menunjukkan bahwa lateral <i>bored pile</i> dengan lateral <i>bored pile</i> dengan <i>Plaxis 2D software</i> <i>Mohr Mohr</i> adalah 36,25 mm, sebesar 2,89; 2,9 sebesar 33,6 mm, dan sebesar 2,08; 2,23 untuk tahap kedua, dan 1,69; 1,9 untuk tahap ketiga. Dari ketiga hasil tersebut perbandingan dengan <i>Soil Hardening Undrained B</i> yaitu 22,6 mm. Dari ketiga hasil tersebut perbandingan dengan manual.
	7					

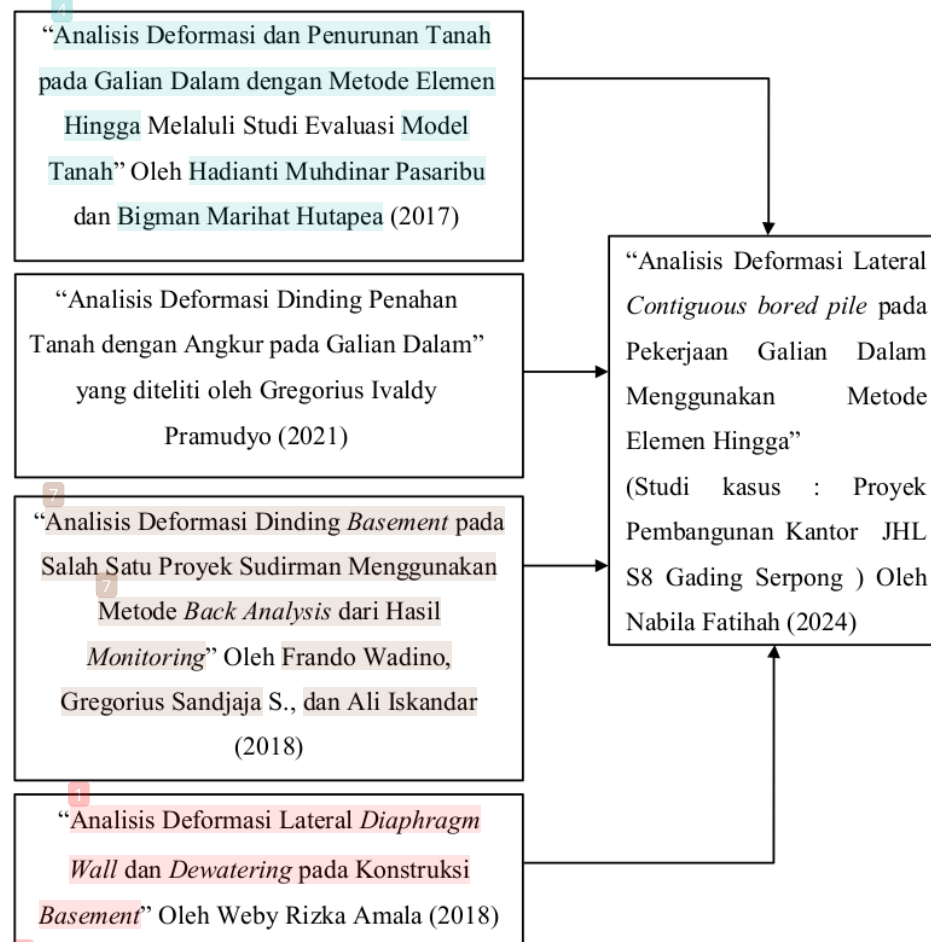
4	mm,	sedangkan	moment	lentur	hasil	percobaan,	debit total pada area	hasil uji <i>clinometer</i>
Hardening Soil	sebesar	tanah yang mendekati	diperoleh	parameter	tanah yang mendekati	galian yang harus	beraturut-turut	yaitu
24,10 mm	dan model	Mohr-Coulomb	sebesar	parameter tanah di	dipompa 720 lt/menit	33,74%, 28,66%, dan	5,61%.	Pada analisis
sebesar	25,42 mm.	lapangan.			dengan jumlah sumur	<i>dewatering</i>	5 buah.	<i>safety factor</i>
					Gaya <i>uplift</i> yang		menggunakan	Plaxis
					terjadi pada bangunan	hasil dari	ketiga	pertama
					sebesar 35167,9 ton.	permodelan	tersebut	
					Hasil persentase <i>error</i>	beraturut-turut	yaitu	
					dari analisis <i>seepage</i>	2,3875, 1,6889, dan	1,6787.	Sedangkan
					menggunakan			
					SEEPW	dengan	perhitungan manual	
					perhitungan	manual	nilai angka aman	
					sebesar 2,8%.	terhadap pergeseran	terhadap penggulungan	
						yaitu 3,997 dan	5,696.	

(Sumber: Hasil Analisis, 2024)

2.2 Keterkaitan Penelitian

88

Berikut merupakan keterkaitan penelitian yang akan dilakukan dengan penelitian yang terdahulu.



Gambar 2.1 Diagram Alir Keterkaitan Penelitian Tugas Akhir terhadap Penelitian Sebelumnya

(Sumber: Hasil Analisis, 2024)

Keterangan:

- Hubungan Langsung dengan Penelitian
- - - → Hubungan Tidak Langsung dengan Penelitian

BAB 3

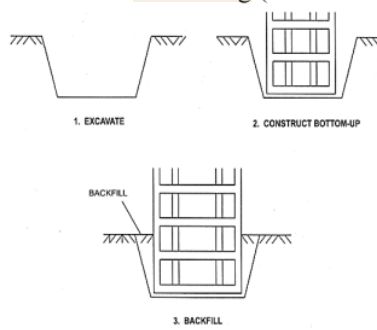
LANDASAN TEORI

3.1 Pekerjaan Galian

Sebuah konstruksi *basement* tidak akan bisa dilepaskan dari pekerjaan galian tanah karena *basement* merupakan struktur bangunan yang berada di bawah tanah. Pekerjaan galian tanah adalah sebuah proses pemindahan suatu bagian permukaan tanah dari satu lokasi ke lokasi lainnya, dan akhirnya terbentuk sebuah kondisi fisik permukaan tanah yang baru (Sain & Quinby, 1996). Dalam pekerjaan galian yang harus diperhatikan adalah kestabilan dinding galian. Selain itu, dalam hal konstruksi yang menggunakan dinding penahan atau sistem turap tersebut harus diperhatikan secara sistematis untuk mengetahui adanya perpindahan, kondisi material yang tetap terjaga, dan celah antar turap yang bebas rembesan air (Suastino et al., 2023). Terdapat beberapa metode galian *basement*, diantaranya:

a. Metode *Open-Cut*

Metode ini sering disebut sebagai metode konvensional, yang merupakan pendekatan yang paling sederhana dalam konteks pelaksanaan konstruksi. Dalam metode ini, penggalian dilakukan dari permukaan tanah hingga ke dasar galian dengan sudut lereng tertentu tanpa keterlibatan *retaining wall*. Selanjutnya, konstruksi *basement* dilakukan dari dasar galian ke permukaan tanah dengan pendekatan dari bawah ke atas (*bottom-up*). Setelah selesai, lubang galian dapat diisi kembali atau diurug (Fitri & Cahyono, 2015).

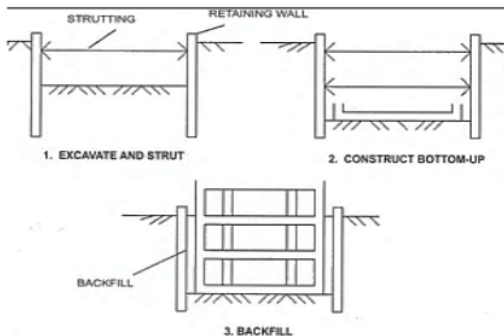


Gambar 3.1 Metode *Open-Cut*

(Sumber: Chew 2009)

⁶ b. Metode Cut and Cover

Berbeda dengan teknik *open cut*, dalam metode ini, sebelum melibatkan proses penggalian, dinding penahan tanah dipasang di sekitar area galian. Setelah dinding penahan tanah terpasang, proses ekskavasi dilakukan mulai dari permukaan tanah (*ground level*) hingga mencapai dasar galian. Konstruksi *basement* kemudian dilaksanakan dari dasar galian menuju permukaan tanah dengan metode dari bawah ke atas (*bottom-up*). ²⁸



Gambar 3.2 Metode Cut and Cover

(Sumber: Chew, 2009)

⁶ c. Metode Top-Down

Mirip dengan metode *cut and cover*, dalam metode ini sebelum tahap penggalian dan konstruksi *basement* dimulai, *retaining wall* dipasang terlebih dahulu di sekitar area galian. Sama seperti pada metode *open cut* dan *cut and cover*, konstruksi *basement* diterapkan dari dasar galian hingga ke permukaan tanah. Berbeda dengan metode *open cut* dan *cut and cover*, pada metode *top-down*, proses konstruksi *basement* dimulai dari level permukaan tanah (*ground level*) dan berlanjut hingga mencapai lantai dasar *basement* terdalam. Dengan menerapkan metode konstruksi *top-down*, struktur bawah dapat dikerjakan secara bersamaan dengan struktur atas. Pekerjaan pada struktur bawah mencakup penggalian, penulangan, dan pengecoran pada plat lantai *basement*, kolom *basement*, *pile cap*, serta *sloof* (Wadino et al., 2018).

d. Metode Bottom-Up

Dalam metode ini, pembangunan struktur dilakukan setelah seluruh pekerjaan penggalian selesai mencapai elevasi yang direncanakan. Pertama, pelat

basement paling bawah dicor, kemudian pembangunan *basement* dilanjutkan dari bawah ke atas dengan menggunakan *scaffolding*. Kolom, balok, dan pelat dicor di tempat (*cast in place*). Penggalian tanah dapat dilakukan dengan metode *open cut* atau menggunakan sistem dinding penahan tanah yang bisa bersifat sementara maupun permanen. Sistem dinding penahan tanah dapat diperkuat dengan *strutting*, *ground anchor*, atau *free cantilever*. Untuk pekerjaan *dewatering*, umumnya digunakan sistem *predrainage* (Fitri & Cahyono, 2015).

81 3.2 Dinding Penahan Tanah (*Retaining Wall*)

Dinding penahan atau dikenal sebagai *retaining walls* dalam konteks rekayasa struktural, merupakan struktur konstruksi yang diimplementasikan dengan tujuan ¹¹ memberikan stabilitas terhadap tanah atau material lain yang tidak memiliki kemiringan alami. Fungsinya melibatkan penahan dan penopongan terhadap massa tanah, timbunan tanah, batu bara atau biji-tambang, serta mengelola aliran air. ⁵ Bangunan ini biasa digunakan untuk menopang tanah, timbunan dan lain sebagainya. Dalam berbagai cara, dinding dapat mengalami keruntuhan, dan setiap metode keruntuhan memerlukan evaluasi mendalam serta pemilihan faktor keamanan yang cermat. Terdapat tiga potensi mekanisme keruntuhan yang patut diperhatikan:

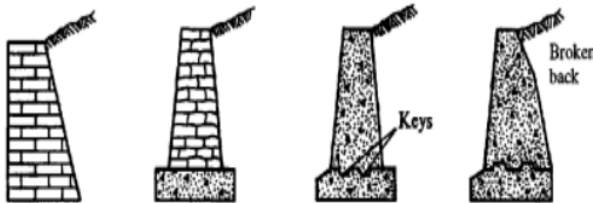
- ²⁰
- a. Dinding mungkin mengalami pergeseran horizontal (keruntuhan geser)
 - b. Dinding mungkin mengalami kejadian terguling (keruntuhan guling)
 - c. Kapasitas dukung tanah yang memegang dinding dapat terlampaui, khususnya di ²⁰ daerah tumit dinding dimana tekanan pada tanah mencapai puncaknya (keruntuhan daya dukung).

⁵
Adapun jenis-jenis dinding penahan tanah yaitu :

a. Dinding Gravitasi (*Gravity Wall*)

Dinding ini biasanya dibuat dari beton murni (tanpa tulangan) atau dari pasangan batu kali. Tulangan beton yang minim sesekali disematkan pada dinding bertujuan untuk menghindari potensi retakan permukaan yang timbul akibat fluktuasi suhu. Dalam perencanaan struktur tembok penahan tipe ⁴⁰

5 gravitasi, harus tidak terjadi tegangan tarik pada setiap irisan badannya. Stabilitas konstruksi diperoleh hanya dengan mengandalkan berat sendiri.

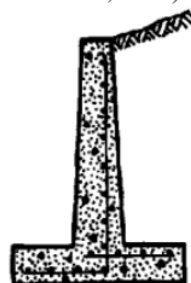


Gambar 3.3 Gravity Wall

(Sumber: Joseph E Bowles, 1999)

5 b. Dinding Kantilever (*Cantilever Wall*)

Dinding Kantilever dibuat dari beton bertulang yang tersusun dari suatu dinding vertikal dan tapak lantai. Masing-masing berperan sebagai balok atau pelat Kantilever. Dinding ini menggunakan prinsip aksi konsol yang bertujuan untuk menahan massa yang terletak di belakang dinding dari kemiringan alami yang terjadi. 5 Stabilitas konstruksi diperoleh dari berat sendiri dinding penahan dan berat tanah di atas tumit tapak (*hell*). Terdapat 3 bagian struktur yang berfungsi sebagai Kantilever, yaitu bagian dinding vertikal (*steem*), tumit tapak dan ujung kaki tapak (*toe*) (Lisman et al., 2020).



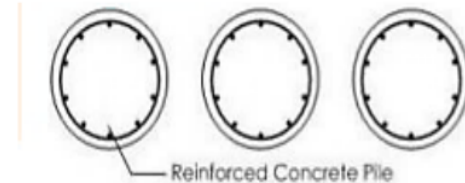
Gambar 3.4 Kantilever Retaining Wall

(Sumber: Joseph E Bowles, 1999)

12 c. *Soldier Pile*

Dinding penahan tanah yang terdiri dari rangkaian atau barisan *bored pile* yang terbuat dari beton. Barisan tiang tersebut saling memotong sehingga jarak antaranya lebih kecil dari diameter tiang, dimana tiang yang terpotong tidak menggunakan tulangan (*soft pile*) dan yang memotong menggunakan tulangan

(*hard pile*) untuk menahan momen atau gaya geser. Tujuan dari pada pembuatan *soldier pile* ini adalah sebagai penahan tanah dan menerima atau menahan beban horizontal yang ditimbulkan dari tekanan tanah ataupun air yang ditahan di sebelahnya. Kedalaman dan diameter *soldier pile* tergantung dari perhitungan kekuatan dan jenis tanah. Sebagai struktur penahan tanah, *soldier pile* dapat digunakan di berbagai jenis tanah (Perko & Boulden, 2008).

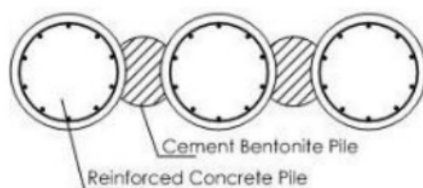


Gambar 3.5 *Soldier pile Retaining Wall*

(Sumber: SNI 8460-:2017)

15
d. *Contiguous Bored Pile*

Contiguous bored pile (CBP) adalah struktur dinding penahan tanah yang terdiri dari serangkaian *bored pile* dan *bentonite cement pile* yang terhubung satu sama lain. Struktur ini bersifat sementara dan memiliki kemampuan tahan air. *Bored pile* dan *bentonite* sering digabungkan dengan sistem angkur untuk meningkatkan kemampuan mereka dalam menahan tekanan lateral dari tanah dan untuk sebagai pemutus aliran air tanah di bawah permukaan (*cut off*).



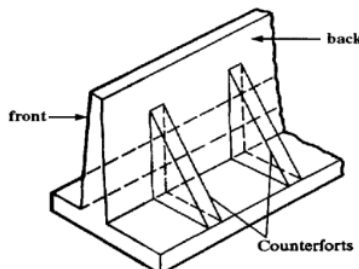
Gambar 3.6 *Contiguous Bored Pile*

(Sumber: SNI 8460-:2017)

85
e. Dinding Kontrafort (*Counterfort Wall*)

Dinding kontrafort mirip dengan dinding kantilever. Namun perbedaannya terletak pada penggunaannya untuk menopang konsol yang lebih panjang atau menanggung tekanan yang sangat tinggi di belakang dinding. Dinding ini

⁶³ memiliki pertebalan belakang yang menyatukan dinding dengan dasarnya, dibangun pada interval-interval sepanjang dinding untuk mengurangi momen-momen lentur dan geser.



Gambar 3.7 Kantilever Retaining Wall

(Sumber: Joseph E Bowles, 1999)

⁵
f. Dinding Butters (*Butters Wall*)

Dinding ini hampir sama dengan dinding kontrafort, hanya bedanya bagian kontrafort diletakkan di depan dinding. Dalam hal ini, struktur kontrafort berfungsi memikul tegangan tekan. Pada dinding ini, bagian tumit lebih pendek daripada bagian kaki. Stabilitas konstruksinya diperoleh dari berat sendiri dinding penahan dan berat tanah di atas tumit tapak.

g. *Abutment Jembatan (Bridge Abutment)*

Struktur ini berfungsi seperti dinding penahan tanah yang memberikan tahanan horizontal dari tanah timbunan di belakangnya. Pada perencanaannya, struktur dianggap sebagai balok yang dijepit pada dasar dan ditumpu bebas pada bagian atasnya.

h. Dinding Turap

Berdasarkan material yang digunakan dikenal beberapa macam dinding turap sesuai dengan material yang digunakan yaitu dinding turap baja, kayu, dan beton.

i. *Box Culvert*

Box culvert dapat dibuat dengan satu atau dua lubang, dan berfungsi sebagai portal kaku tertutup yang dapat menahan tekanan tanah lateral dan beban vertikal.

3.3 Tekanan Tanah Lateral

Berbeda dengan struktur gedung yang menerima beban horizontal dalam jangka waktu pendek (sementara), struktur penahan tanah seperti pangkal jembatan, turap, dinding *diaphragm*, penahan tanah, pilar-pilar jembatan menerima beban horizontal sepanjang bangunan tersebut berdiri (tetap). Selain itu, dalam wilayah yang rentan terhadap gempa bumi, bangunan penopang tanah dapat mengalami beban lateral yang lebih signifikan akibat getaran seismik. Dalam beberapa situasi, penetapan permasalahan dapat sangat bervariasi bergantung pada kondisi tanah, serta merupakan hasil dari defleksi dan deformasi dari strukturnya. Meskipun begitu, apabila struktur penahan tanah tidak mengalami deformasi, sebagaimana yang terjadi pada abutmen dari suatu *basement*, teori-teori lama seperti Coulomb (1773), Rankine (1857), Terzaghi (1941), Terzaghi dan Peck (1967) menjadi tidak relevan (Kusuma et al., 2019).

3.4 Analisis Deformasi

Deformasi merujuk pada perubahan bentuk, posisi, dan dimensi objek, seperti dinding penahan tanah yang dapat terjadi akibat ² tekanan dari tanah atau air sehingga mengakibatkan perpindahan atau lendutan pada dinding penahan tanah. Gaya yang berasal dari tekanan tanah dapat dilihat dari perspektif tekanan lateral tanah dalam kondisi istirahat, aktif, dan pasif. Kondisi tekanan lateral ini menghasilkan ⁵⁵ gaya horizontal pada struktur dinding penahan tanah yang dapat mengakibatkan deformasi pada struktur tersebut. Dalam perencanaan setiap galian, diperlukan perhitungan analisis stabilitas untuk mencegah potensi keruntuhan ⁵⁵ dinding penahan tanah akibat tekanan tanah yang tidak memadai. Hasil analisis stabilitas ini akan mempengaruhi evaluasi deformasi dinding penahan tanah, yang dipengaruhi oleh berbagai faktor seperti ⁷ lebar galian, kedalaman galian, faktor keamanan, kedalaman penetrasi dinding penahan tanah, kekakuan penyanga, dan elemen-elemen lainnya.

3.5 Parameter Tanah

Parameter tanah yang dimaksudkan disini meliputi *modulus young*, *poisson ratio*, sudut geser dalam, dan kohesi.

a. Berat Volume Tanah (γ)

Berat volume tanah adalah rasio berat dengan volume tanah. Pada Plaxis, di input kan nilai berat volume jenuh (γ_{sat}) dan berat volume jenuh sebagian sebagian (γ_{unsat}). Berat volume jenuh adalah berat volume tanah dalam keadaan jenuh, sedangkan berat volume jenuh sebagian adalah berat volume tanah saat udara pada tanah keluar. Untuk menentukan γ_{sat} , cara yang digunakan adalah mengorelasikan nilai N-SPT dengan Tabel 3.1. Selanjutnya, untuk menentukan γ_{dry} , dilakukan dengan menghubungkan nilai γ_{sat} yang telah diperoleh sebelumnya dengan Tabel 3.3. Adapun untuk memperoleh nilai γ_{unsat} , digunakan pendekatan dengan mengambil nilai tengah antara γ_{sat} dan γ_{dry} .

Tabel 3.1 Korelasi N-SPT dengan γ_{sat} untuk Tanah Kohesif

N-SPT	Consistency	qu (kPa)	γ_{sat} (kN/m ³)
< 2	Very Soft	<25	16-19
2-4	Soft	25-50	16-19
4-8	Medium Stiff	50-100	17-20
8-15	Stiff	100-200	19-22
15-30	Very Stiff	200-400	19-22
>30	Hard	>400	19-22

(Sumber: Terzaghi and Peck, 1948)

Tabel 3.2 Korelasi N-SPT dengan γ untuk Tanah Non kohesif

Description	Very Loose (kN/m ³)	Loose (kN/m ³)	Medium (kN/m ³)	Dense (kN/m ³)	Ver Dense (kN/m ³)
Fine	1-23	3-6	7-15	16-30	
Medium	2-3	4-7	8-20	21-40	>40
Coarse	3-6	5-9	10-25	26-45	>45
γ_{sat}	11-16	14-18	17-20	17-22	20-23

(Sumber: Whilliam T, Whitman, Robert V, 1962)

Tabel 3.3 Korelasi Antara γ_{sat} dan γ_{dry}

γ_{dry} g/cm ³	lb.cb.ft	e	n	W_{sat}	γ_{sat}
				%	g/cm ²
0,50	31,25	4,4	0,8	163	1,31
0,60	37,50	3,5	0,78	129,6	1,38
0,70	43,75	2,86	0,74	105,8	1,44
0,8	50,00	2,38	0,7	88	1,5
0,90	56,25	2	0,67	74,1	1,57
1,00	62,50	1,7	0,63	63	1,63

1,10	68,75	1,45	0,59	53,9	1,69
1,20	75,00	1,25	0,56	46,3	1,76
1,30	81,25	1,08	0,52	39,9	1,82
1,40	87,50	0,93	0,48	34,4	1,88

b. Permeabilitas

Permeabilitas dapat diartikan sebagai karakteristik material berpori yang memungkinkan pergerakan fluida dari suatu tempat ke tempat lain melalui saluran pori-pori. Dengan demikian, aliran air akan terjadi dari wilayah dengan tingkat energi lebih tinggi ke wilayah dengan pori-pori yang memiliki tingkat energi lebih rendah.

Tabel 3.4 Korelasi Jenis Tanah dengan Nilai Permeabilitas

Jenis tanah	K	
	cm/dtk	ft/mnt
Kerikil bersih	1,0 – 100	2,0 – 200
Pasir kasar	1,0 – 0,01	2,0 – 0,02
Pasir halus	0,01 – 0,001	0,02 – 0,002
Lanau	0,001 – 0,0001	0,002 – 0,00002
Lempung	<0,000001	<0,000002

(Sumber: Braja M Das, 1995)

c. Kohesi

Kohesi merupakan gaya tarik antar partikel tanah. Bersama dengan sudut geser dalam, kohesi merupakan parameter kuat geser tanah yang menentukan ketahanan tanah terhadap deformasi akibat tegangan yang bekerja pada tanah dalam hal dalam hal ini berupa gerakan lateral tanah (Sorensen et al., 2013).

Tabel 3.5 Korelasi Kohesi dengan Konsistensi Tanah untuk Tanah Lempung

Konsistensi	Taksiran harga kekuatan geser undrained, Cu (kPa)	Taksiran harga N-SPT
Sangat lunak (<i>very soft</i>)	0 – 12,5	0 – 2,5
Lunak (<i>soft</i>)	12,5 - 25	2,5 - 5
Menengah (<i>medium</i>)	25 – 50	5 – 10
Kaku (<i>stiff</i>)	50 – 100	10 – 20
Sangat kaku (<i>very stiff</i>)	100 – 200	20 – 40
Keras (<i>hard</i>)	> 200	> 40

(Sumber: Mochtar, 2012)

9
d. Modulus Elastisitas Tanah

Nilai *modulus young* menunjukkan besarnya nilai elastisitas tanah yang merupakan perbandingan antara tegangan yang terjadi terhadap regangan. Nilai ini bisa didapatkan dari *triaxial test*. *Triaxial test unconsolidated undrained* menghasilkan nilai modulus *undrained* (E_u) yang didapat dari grafik *stress-strain*. E_u digunakan untuk pemodelan *Mohr Coulomb Undrained C*. Selain itu, menurut Bowless (1988) menyajikan estimasi mengenai korelasi antara nilai modulus elastisitas tanah (E_u) pada tanah lempung dan kuat geser tanah *undrained* (C_u) yang ditunjukkan dengan persamaan berikut:

$$E_u = 400 \times C_u \quad (3.1)$$

Keterangan:

E_u = Modulus elastisitas tanah *undrained* (MPa)

C_u = Kuat geser tanah *undrained* (kPa)

Sedangkan pada pemodelan *Mohr Coulomb Undrained B*, parameter modulus (E') diperoleh berdasarkan persamaan empiris sebagai berikut:

$$E' = \frac{2 \times (1+v') \times E_u}{2 \times (1+V_u)} \quad (3.2)$$

Keterangan:

E' = Modulus elastisitas tanah efektif (kPa)

v' = Poisson ratio efektif

E_u = Modulus elastisitas tanah *undrained* (kPa)

V_u = Poisson ratio *undrained* (0,495)

21
Berbeda halnya dengan pemodelan *Mohr Coulomb*, model *Hardening Soil* menggunakan 3 (tiga) *input* parameter modulus yang berbeda yaitu *loading* modulus (E_{50}^{ref}), *unloading reloading* modulus (E_{ur}^{ref}), dan *oedometer* modulus (E_{oed}^{ref}). Pada beberapa jenis tanah diasumsikan nilai $E_{ur}^{ref} \approx 3 E_{50}^{ref}$ dan $E_{oed}^{ref} \approx E_{50}^{ref}$.

e. *Power* (m)

Selain dari ketiga modulus yang diperlukan pada pemodelan *Hardening Soil*, parameter kekakuan lainnya yaitu *power* (m). *Power* adalah hubungan

tegangan terhadap kekakuan. Nilai m pada tanah lempung biasanya bernali 1, lanau 0,7 – 0,8, dan untuk pasir yaitu 0,5.

³⁵
f. *Poisson Ratio (v)*

Nilai *poisson ratio* ditentukan sebagai rasio kompresi poros terhadap regangan pemuaian lateral. *Poisson ratio* sebagai parameter elastisitas diperoleh dengan membandingkan deformasi aksial dan regangan transversal pada suatu bahan yang sedang diberikan gaya.

Tabel 3.6 Korelasi *Poisson Ratio* dengan N-SPT

Konsistensi	N-SPT	Poisson Ratio
<i>Very soft</i>	2	0,5
Soft	2 - 4	0,5
Medium	4 – 8	0,5
Stiff	8 – 15	0,45
<i>Very stiff</i>	15 -30	0,4
Hard	30	0,35
	40	0,35
	60	0,3
	80	0,3
	100	0,25
	120	0,25

(Sumber: Wesley, L.D., 1997)

⁴⁴
g. Sudut Geser Dalam

Sudut geser dalam adalah sudut yang terbentuk dari interaksi antara tegangan normal dengan tegangan geser di dalam material tanah atau batuan.

⁸
Tabel 3.7 Korelasi Sudut Geser dengan Jenis Tanah

Jenis Tanah	Sudut Geser Dalam (°)
Kerikil kepasiran	35 – 40
Kerikil kerakal	35 – 40
Pasir padat	35 – 40
Pasir lepas	30
Lempung kelanauan	25 – 30
Lempung	20 – 25

(Sumber: Braja M Das., 1996)

h. Sudut Dilatansi

Sudut dilatansi diukur melalui perbandingan perubahan ketebalan sampel tanah terhadap pergeseran tegangan lateral maksimum. Penentuan sudut dilatansi ini

bergantung pada karakteristik kekuatan geser dan perilaku tegangan-regangan tanah. Pada tanah lempung, sudut dilatansi cenderung menuju nol atau menunjukkan sedikit dilatansi. Sementara pada tanah pasir, sudut dilatansi bergantung pada sudut gesernya. Meskipun demikian, dalam sebagian besar situasi, sudut dilatansi cenderung menuju nol.

3.6 Dewatering

Dewatering merupakan suatu proses yang bertujuan untuk penurunan sementara tekanan pori atau muka air tanah yang tinggi. Proses *dewatering* ini dilaksanakan dengan maksud mencegah rembesan memasuki area galian, karena dampak dari rembesan tersebut dapat menghambat kemajuan pekerjaan. Selain itu, *dewatering* juga bertujuan untuk meningkatkan kestabilan lereng, guna mencegah potensi terjadinya kelongsoran. Keberhasilan proses ini juga terlihat dalam upaya menjaga bagian dasar galian agar terhindar dari *heaving* yang disebabkan oleh *uplift*.⁶ Selanjutnya, *dewatering* turut berperan dalam meningkatkan kepadatan tanah pada bagian dasar galian *basement*, serta mengeringkan wilayah galian secara keseluruhan. Tujuan akhir proses *dewatering* ini adalah membuat area galian menjadi lebih kondusif, sehingga proses pengangkatan material dan pelaksanaan pekerjaan di dalam lubang galian dapat dilakukan dengan lebih efisien (Lisman et al., 2020).

Berdasarkan masa pelaksanaannya, dewatering dibagi menjadi dua, yakni :

a. *Dewatering* Sementara

Proses pemindahan air di area penggalian hanya dilaksanakan selama proses konstruksi struktur. Setelah itu, struktur tersebut dibiarkan berada dalam keadaan terendam oleh air. Struktur yang telah dibentuk akan dilapisi dengan lapisan tahan air dan penghenti air yang bertujuan untuk menghindari penetrasi kelembapan ke dalam komponen struktural.

b. *Dewatering* Tetap

Proses pengurangan air yang terus menerus dilakukan meskipun struktur telah selesai dibangun. Jenis ini umumnya digunakan dengan tujuan meningkatkan stabilitas tanah disekitarnya dan menjauhkan air yang memiliki sifat korosif dari struktur tersebut.

3.7 Inclinometer

Inclinometer merupakan sebuah alat yang dimanfaatkan untuk mendekripsi deformasi atau pergerakan horizontal pada struktur dinding penahan tanah.¹

Pemanfaatan *inclinometer* menjadi penting dalam menilai faktor keamanan dalam pelaksanaan pekerjaan galian. Sensor yang terdapat pada perangkat ini dirancang³³ untuk mengukur kemiringan lereng selama berbagai kegiatan seperti *tunneling*, ekskavasi, dan *dewatering*. Aktivitas-aktivitas semacam ini mempengaruhi tanah yang mendukung struktur. Pada dasarnya, proses pemasangan *inclinometer* menyesuaikan dengan konteks aplikasi yang bersangkutan. Perangkat dapat dipasang secara vertikal untuk memonitor kemiringan yang terjadi atau gerakan apapun pada dinding dan tanggul penopang. Adapun untuk memantau penyelesaian tanah di sekitar titik *tunneling*, *inclinometer* akan di *install* secara horizontal.³¹

Sistem manual pada alat terdiri dari komponen-komponen berikut:

- a. Probe *inclinometer*
- b. Gulungan kabel (ditandai setiap 0,5 m / 1 m)
- c. Unit pembacaan seluler
- d. Aksesoris: baterai kabel *reel*, pengisi daya baterai, baterai seluler, pengisi daya seluler.

3.8 Program Plaxis

Program analisis geoteknik yang digunakan adalah Plaxis 8.2, dipilih karena kemampuannya untuk menganalisis stabilitas tanah melalui metode elemen hingga yang memungkinkan analisis mendekati perilaku sebenarnya. Plaxis 8.2 menyajikan beragam analisis tentang *displacement*, tegangan pada tanah, faktor keamanan lereng, dan aspek lainnya. *Finite Element Method* (FEM) atau biasanya disebut *Finite Element Analysis* (FEA), merupakan prosedur numerik yang diterapkan untuk menyelesaikan masalah-masalah rekayasa. Kompleksitas perhitungan dalam geoteknik mendorong pembuatan program seperti Plaxis 8.2 yang berfungsi sebagai alat bantu untuk perhitungan terkait konstruksi tanah, bertujuan mencegah kegagalan konstruksi dan meningkatkan faktor keselamatan kerja.

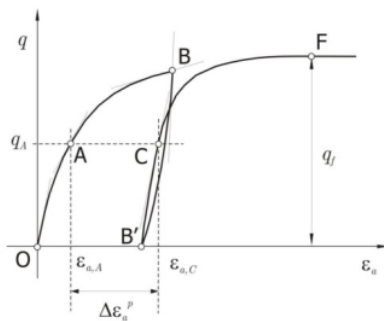
3

Metode elemen hingga adalah suatu prosedur perhitungan yang digunakan dalam penyelesaian permasalahan matematis yang sering dijumpai dalam rekayasa teknik. Prinsip dasar dari metode ini melibatkan pembagian bentuk atau struktur yang kompleks menjadi elemen-elemen yang lebih kecil. Elemen-elemen tersebut kemudian dihubungkan melalui node atau titik. Tiap titik memiliki satu atau lebih derajat kebebasan untuk menentukan jumlah fungsi yang diterapkan. Dengan memecahkan nilai-nilai pada tiap titik, tegangan dan regangan pada setiap elemen dapat diperhitungkan. Plaxis 2D memiliki beberapa jenis pemodelan tanah yang dapat digunakan untuk memodelkan tanah, diantaranya:

a. *Mohr Coulomb*

Model *Mohr Coulomb* (MC model) mempertimbangkan bahwa plastisitas terkait dengan regangan yang bersifat *irreversible* atau tidak dapat dikembalikan ke kondisi awal. Untuk menilai apakah plastisitas telah terjadi dalam perhitungan digunakan suatu fungsi kelelahan yang bergantung pada tegangan dan regangan. Umumnya, fungsi kelelahan dapat diungkapkan sebagai suatu bidang dalam ruang tegangan utama. Sebuah model plastis sempurna merupakan suatu model konstitutif dengan bidang lelah tertentu, yaitu bidang lelah yang sepenuhnya didefinisikan oleh parameter model dan tidak terpengaruh oleh peregangan (plastis) (Kurguzov & Fomenko, 2019).

Prinsip dasar dari teori elastoplastik adalah regangan dapat dikategorikan dalam dua bagian, yaitu regangan elastic ε^e dan regangan plastis ε^p . (Ir. Gouw Tjie Liong M.Eng. ChFC, 2012)



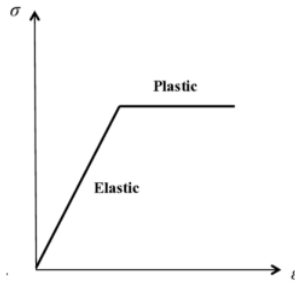
Gambar 3.8 Grafik Teori Elastoplastik

(Sumber: Gouw, Tjie Liong, 2012)

$\varepsilon = \varepsilon^e + \varepsilon^p$, ditulis dalam peningkatan regangan menjadi:

$$\underline{\varepsilon} = \underline{\varepsilon}^e + \underline{\varepsilon}^p \quad (3.3)$$

Dalam model *Mohr Coulomb* hubungan tegangan dan regangan yang tidak linear tersebut dijadikan dua buah garis linear, yaitu bagian linear elastik dan bagian linear plastis sempurna seperti gambar dibawah:



Gambar 3.9 Grafik Modulus *Mohr Coulomb*

(Sumber : Gouw, Tjie Liang, 2012)

Adapun fungsi leleh *Mohr Coulomb* yaitu:

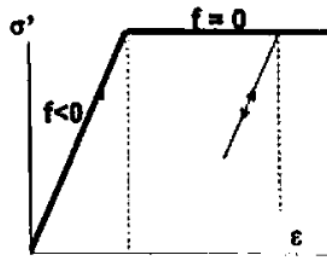
$$f = \frac{1}{2} (\sigma'_1 - \sigma'_3) - \frac{1}{2} (\sigma'_1 - \sigma'_3) \sin \phi' - c (k) \cos \phi' \quad (3.4)$$

Bila: $S = \frac{1}{2} (\sigma'_1 - \sigma'_3)$ dan $R = \frac{1}{2} (\sigma'_1 - \sigma'_3)$, maka:

Persamaan diatas untuk gaya tekan dianggap positif: $s = \frac{1}{2} (\sigma'_1 - \sigma'_3)$,

Bila tarik dianggap positif: $s = -\frac{1}{2} (\sigma'_1 - \sigma'_3)$, maka f dapat dituliskan:

$$f = R + S \sin \phi' - c \cos \phi' \leq 0 \quad (3.5)$$



Gambar 3.10 Grafik Fungsi *Mohr Coulomb*

(Sumber : Gouw, Tjie Liang, 2012)

Saat $f < 0$

→ Tanah berperilaku elastik

Saat $f = 0$ dan $df = 0$ → Tanah berperilaku plastik

Saat $f = 0$ dan $df < 0$ → *Unloading* dari kondisi plastis = berperilaku elastis

$f > 0$ → Tidak mungkin terjadi

b. *Hardening Soil*

3.

Hardening Soil model (HS model) merupakan model yang canggih yang dapat diterapkan untuk menggambarkan berbagai perilaku tanah dan batuan. Perbedaan utama antara *Hardening Soil* model dan *Mohr Coulomb* model (MC-model) adalah bahwa MC-model membatasi nilai tegangan berdasarkan sudut geser, sementara HS-model menjelaskan jenis elastoplastis dari model hiperbolik. Jenis hubungan hiperbolik antara tegangan dan regangan ini dikembangkan untuk digunakan dalam analisis kenaikan deformasi tanah yang bersifat non-linear (Lim et al., 2010).

Dalam Plaxis, perumusan model Duncan dan Chang disebut sebagai *Hardening Soil* model. Model formula Duncan dan Chang didasarkan atas persamaan hiperbolik yang dituliskan sebagai berikut:

$$\begin{aligned}\sigma_1 - \sigma_3 &= \frac{\varepsilon}{a+b\varepsilon} \\ q &= \frac{\varepsilon}{1/E_i + 1/q_a \varepsilon} \\ \frac{q}{E_i} + \frac{q}{q_a} \varepsilon &= \varepsilon \\ \left(1 - \frac{q}{q_a}\right) \varepsilon &= q/E_i \\ \varepsilon &= \frac{1}{E_i} \frac{q}{1 - \frac{q}{q_a}}\end{aligned}\tag{3.6}$$

Keterangan:

σ_1 = Major principal stress (kN/m^2)

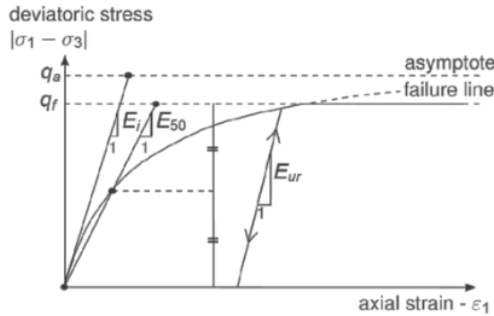
σ_3 = Minor principal stress (kN/m^2)

ε = Regangan axial

a dan b = Konstanta material

q_a = Kuat geser batas (kN/m^2)

E_i = Kekakuan awal (kN/m^2)



Gambar 3.11 Grafik Modulus Hardening Soil

(Sumber : Gouw, Tjie Liang, 2012)

c. Soft Soil

Soft Soil model (SS model) dapat digunakan ketika memodelkan perilaku tanah lunak seperti lempung dan tanah gambut yang terkonsolidasi secara normal. Pada SS model, asumsi meliputi hubungan logaritmik antara regangan volumetrik ϵ_V dengan tegangan efektif p' yang membutuhkan nilai λ^* dimana λ^* adalah indeks pemampatan yang dimodifikasi dan dapat ditentukan berdasarkan pemampatan tanah yang terjadi pada saat pembebahan primer. Hal lain ditemukan juga notasi k^* dimana k^* adalah indeks pemuaian yang dimodifikasi, menjelaskan kemampuan pemampatan dari tanah pada pengurangan beban yang diikuti pembebahan kembali sebagai asumsi respon tanah selama pengurangan beban dan pembebahan kembali bersifat elastis (Apriyani et al., 2016).

3.9 Tahapan Analisis

Dalam menganalisis deformasi dinding penahan tanah, langkah-langkah analisis melibatkan:

a. Tahap 1

Perhitungan daya dukung lateral kelompok tiang.

$$H_g = \sum_{j=1}^n H_u \quad (3.7)$$

Keterangan:

H_g = Beban lateral kelompok tiang (kN)

H_u = Beban lateral tiang tunggal (kN)

n = Jumlah tiang

b. Tahap 2

Perhitungan daya dukung lateral tiang tunggal. Untuk tiang panjang dihitung dengan persamaan:

$$Hu = \frac{2 My}{\frac{3d}{2} + f} \quad (3.8)$$

$$My = (9/4) c_u d g^2 - 9c_u d f (3d/2 + f/2) \quad (3.9)$$

$$g = L - 3d/2 - f \quad (3.10)$$

$$f = Hu/9 (c_u d) \quad (3.11)$$

Untuk tiang pendek dihitung dengan persamaan:

$$Hu = 9c_u d (L - 3d/2) \quad (3.12)$$

Keterangan:

Hu = daya dukung lateral (kN)

My = Tahanan momen tiang (kN.m)

L = Kedalaman pondasi (m)

d = Diameter pondasi (m)

f = Letak momen maksimum (m)

C_u = *Undrained cohesion* (t/m²)

c. Tahap 3

Perhitungan modulus elastisitas dan momen inersia tiang.

$$Ep = 4700 x \sqrt{fc} x b x h \quad (3.13)$$

$$Ip = \frac{E \times h^3 \times b}{12} \quad (3.14)$$

Keterangan:

Ep = Modulus elastisitas tiang (kN/m²)

fc = Mutu beton (MPa)

b = Lebar tiang (m)

h = Tebal tiang (m)

Ip = Momen inersia tiang (m⁴)

d. Tahap 4

Perhitungan deformasi kelompok tiang.

$$yo = \frac{H(e+zf)^3}{12 Ep Ip} \quad (3.15)$$

Keterangan:

yo = Deformasi (m)²⁸

e = Jarak titik beban ke muka tanah / 1,5D (m)

zf = Jarak titik jepit dari muka tanah (m)

H = Beban lateral (kN)

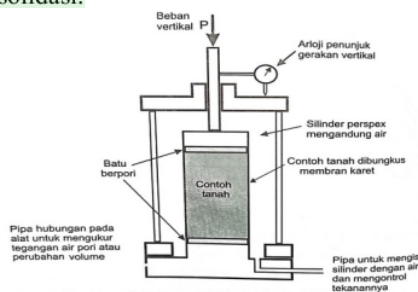
3.10 Faktor Keamanan

Faktor keamanan (SF) dinyatakan sebagai perbandingan antara gaya tahanan dan gaya yang mendorong. Meskipun definisi ini sesuai untuk pondasi, namun tidak sepenuhnya relevan untuk turap, dinding penahan tanah, atau timbunan. Pada struktur-struktur semacam itu lebih tepat menggunakan definisi faktor keamanan dalam konteks mekanika tanah, yakni perbandingan antara kuat geser yang tersedia dengan kuat geser yang diperlukan untuk mencapai keseimbangan. Dalam proses perencanaan, perlu mempertimbangkan faktor keamanan pada kegiatan galian (Alfana et al., 2024).

$$SF = \frac{\sum \text{Momen Pasif}}{\sum \text{Momen Aktif}} \quad (3.16)$$

3.11 Pengujian Triaksial

Pada pengujian ini, dapat digunakan tanah benda uji dengan diameter kira-kira 3,81 cm dan tinggi 7,62 cm. Dengan alat triaksial, semua jenis uji kekuatan geser dapat dilakukan. Selain itu, alat ini bisa digunakan untuk mengukur sifat permeabilitas atau konsolidasi.



Gambar 3.12 Uji Triaksial

(Sumber : Laurence D. Wasley, 2010)

Pada pengujian ini, sampel tanah berbentuk silinder diposisikan dalam sel triaksial yang memiliki batu berpori pada kedua ujungnya, kemudian dilapisi dengan membran karet. Bagian atas sel dipasang dan diisi dengan air untuk menerapkan tekanan air yang dikenal sebagai tekanan sel. Uji triaksial umumnya terdiri dari tiga jenis, yaitu uji tak terdrainasi, uji konsolidasi tak terdrainasi, dan uji terdrainasi. Terdapat dua tahap yaitu konsolidasi (tahap 1) dan tahap pembebangan (tahap 2).

a. Uji Tak Terkonsolidasi Tak Terdrainase (*Unconsolidated-Undrained*)

Tidak diizinkan pada kedua tahap ini adanya drainase. Ketika pada pengujiannya air tidak diizinkan mengalir keluar, beban normal tidak dipindahkan ke butiran tanah. Kondisi tanpa drainasi ini mengakibatkan timbulnya tekanan pori berlebih (*excess pore pressure*) tanpa adanya hambatan geser yang dihasilkan oleh perlawanan butiran tanah. Pengujian ini tidak dapat diterapkan jika laju konstruksi lambat sehingga memungkinkan terjadinya konsolidasi tanah. Pengujian ini mewakili tanah di lokasi konstruksi di mana laju konstruksi sangat cepat dan air pori tidak memiliki cukup waktu untuk menghilang.

b. Uji Konsolidasi Tak Terdrainasi (*Consolidated-Undrained*)

Drainasi diperbolehkan selama periode konsolidasi, hingga contoh tanah mencapai kondisi konsolidasi penuh, yakni ketika semua tekanan air pori tereduksi menjadi nol. Pada tahap pembebangan, drainasi tidak diizinkan dan umumnya dilakukan dilakukan pengukuran tekanan air pori (Zain et al., 2011).

c. Uji Terdrainasi (*Consolidated-Drained*)

Pada kedua tahap, drainasi diizinkan. Sehingga tekanan air pori menjadi nol. Pada kondisi ini seluruh tegangan selama proses pengujian ditahan oleh gesekan antar butirannya.

3.12 Analisa Undrained

a. *Undrained A*

Perhitungan dengan memanfaatkan metode *undrained A* dilaksanakan melalui analisis tegangan efektif. Dalam pendekatan ini, aspek-aspek seperti parameter

kuat geser efektif dan kekakuan efektif menjadi pertimbangan utama. Hasil analisis ini memberikan pemahaman tentang tegangan pori yang terjadi, walaupun akurasi perhitungannya ⁸ tergantung pada jenis model dan parameter tanah yang digunakan. Penting untuk dicatat bahwa nilai kuat geser *undrained* (S_u) tidak dimasukkan secara langsung, melainkan diturunkan dari model konstitutif yang dipilih. Keandalan nilai S_u ini dapat ditingkatkan melalui pemeriksaan dan validasi dengan data empiris yang relevan,

⁸ Berikut adalah detail parameter yang digunakan dalam *undrained A* :

- 1) Jenis analisa : *Effective Stresses Analysis*
- 2) Tipe material : *Undrained A*
- 3) Kuat geser tanah efektif : c', φ', ψ'
- 4) Kekakuan tanah efektif : E_{50}', v'

b. *Undrained B*

Analisis *undrained B* digunakan dalam perhitungan ¹⁰ tegangan efektif, melibatkan parameter kekakuan efektif dan kuat geser *undrained*. Dalam konteks analisis ini, memungkinkan untuk mendapatkan nilai tegangan air yang muncul. Namun, hasil yang diberikan memiliki cenderung ketidakakuratan sehingga umumnya dianggap tidak tepat ⁸ untuk diterapkan. Sementara itu, nilai kuat geser *undrained* ($C_u = S_u$) dianggap sebagai parameter masukan dalam analisis. Oleh karena itu, analisis ini cenderung menunjukkan ketidakakuratan dalam perhitungan stabilitas *undrained*. Berikut adalah detail parameter yang digunakan dalam *undrained B*:

- 1) Jenis analisa : *Effective Stresses Analysis*
- 2) Tipe material : *Undrained B*
- 3) Kuat geser tanah efektif : $c = c_u, \varphi = 0, \psi = 0$
- 4) Kekakuan tanah efektif : E_{50}', v'

c. *Undrained C*

Analisis *undrained C* digunakan dalam perhitungan tegangan total, di mana melibatkan parameter kekakuan *undrained* dan kuat geser *undrained*. Dalam konteks analisis ini, tidak memungkinkan untuk memperoleh nilai tegangan air pori, sehingga hasil analisis tegangan efektif harus diinterpretasikan sebagai

tegangan total. Namun, nilai kuat geser *undrained* ($C_u = s_u$) tetap dianggap sebagai parameter dalam analisis ini. Sehingga, diharapkan bahwa analisis ini tidak akan menghasilkan kesalahan perhitungan dalam mengevaluasi stabilitas *undrained*. Parameter yang digunakan dalam *undrained C*:

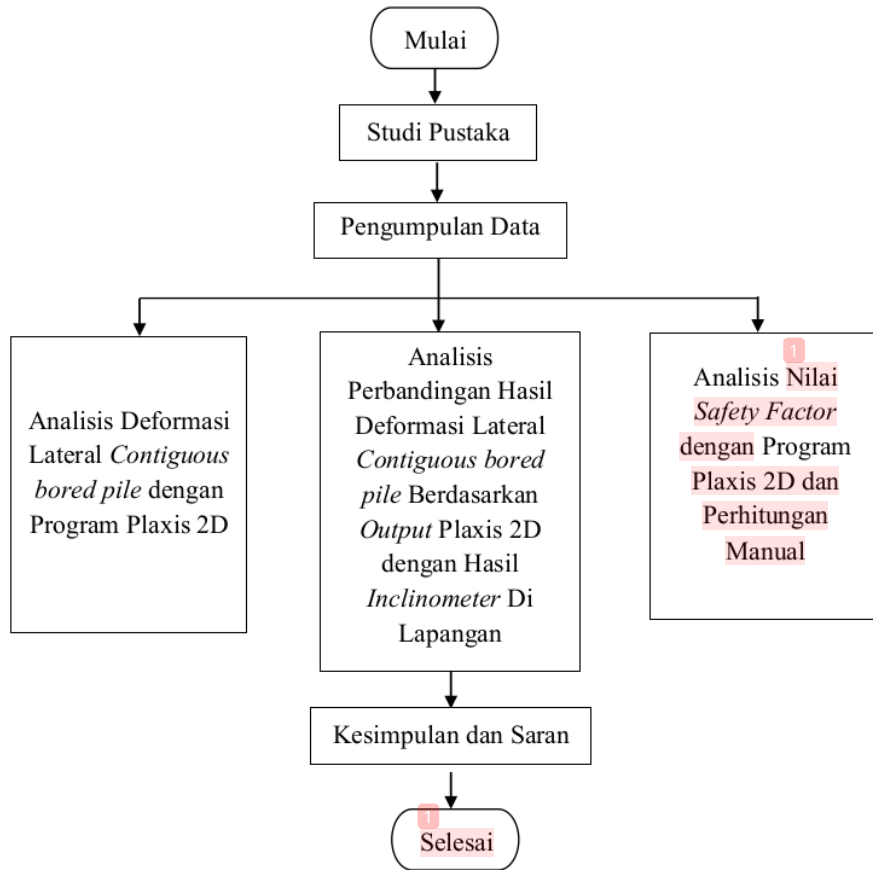
- 1) Jenis analisa : *Total Stresses Analysis*
- 2) Tipe material : *Drained / non-porous (Undrained C)*
- 3) Kuat geser tanah efektif : $c = c_u, \varphi = 0, \psi = 0$
- 4) Kekakuan tanah efektif : $E_u, v = 0,495$

BAB 4

METODE PENELITIAN

4.1 Prosedur Penelitian

Secara garis besar berikut ini langkah-langkah penelitian (*flowchart* penelitian).



Gambar 4.1 Diagram Alur Penelitian

(Sumber: Analisa Penulis, 2024)

4.2 Lokasi Penelitian

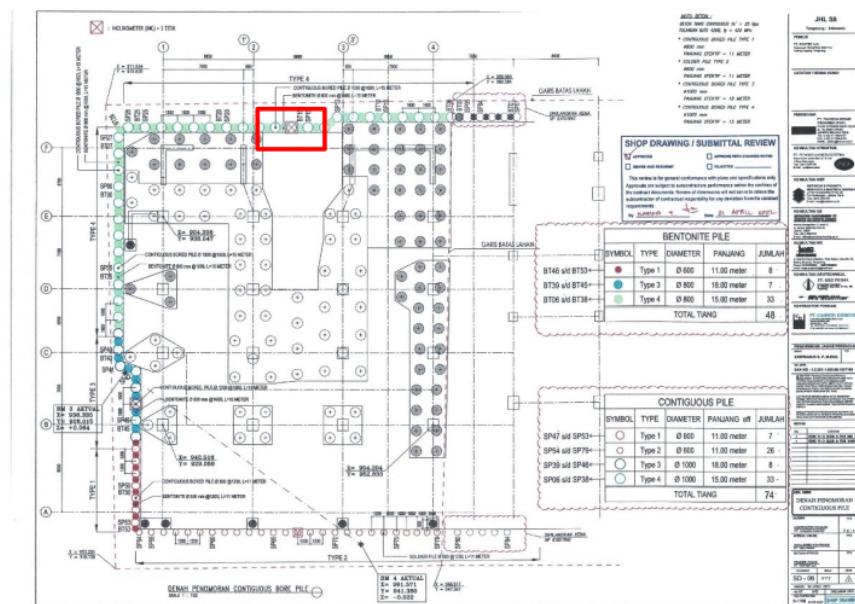
Lokasi studi penelitian terletak di Jalan Gading Serpong Boulevard Kavling S8 Kecamatan Kelapa Dua, Kabupaten Tangerang, Provinsi Banten. *Contiguous*

bored pile yang dianalisa berdiameter 1 m dan panjangnya 15 meter. Mutu beton yang dipakai yaitu 25 MPa, sedangkan jenis tulangan yang dipakai adalah BJTS dengan mutu 420 MPa.



Gambar 4.2 Lokasi Proyek JHL S8 Office

(Sumber: Google Maps, 2024)



Gambar 4.3 Titik Contiguous Bored Pile

(Sumber: Google Maps, 2024)

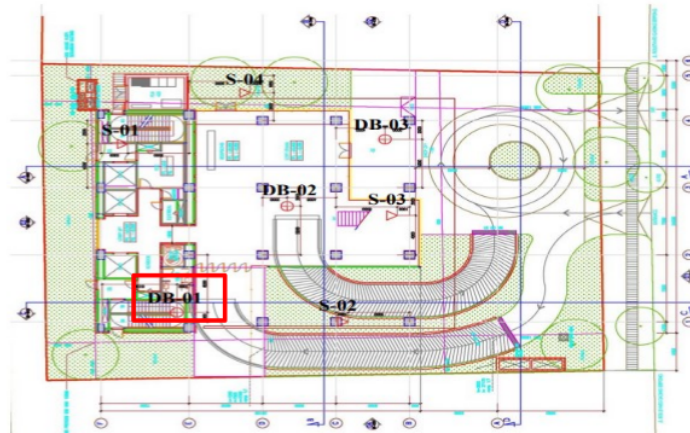
4.3 Bahan atau Materi

Data hasil pengujian tanah diperlukan untuk menentukan parameter-parameter kekuatan tanah yang akan digunakan dalam perhitungan. Pengujian tanah yang dilakukan yaitu pengujian lapangan dan pengujian laboratorium. Parameter-parameter tanah yang diperlukan dapat dihitung menggunakan korelasi terhadap hasil SPT, namun dalam penentuan parameter tanah lebih diutamakan menggunakan hasil uji laboratorium. Parameter tanah yang diperlukan yaitu, berat volume, sudut geser dalam, kohesi tanah, *poisson ratio*, modulus elastisitas tanah, dan parameter permeabilitas.



Gambar 4.4 Titik *Contiguous Bored Pile*

(Sumber: Google Maps, 2024)



Gambar 4.5 Titik *Depth Bore* Penelitian

(Sumber: Google Maps, 2024)

4.4 Perangkat Lunak (*Software*)

Pada saat dilaksanakannya penelitian, diperlukan beberapa alat yang menunjang jalannya penelitian. Alat pada penelitian ini adalah laptop dengan *software* yang digunakan untuk menganalisis data yaitu Plaxis 2D.

4.5 Analisis Data

1 Pada tahap ini dilakukan analisa terhadap hal-hal yang ditinjau pada tugas akhir ini, yaitu:

- a. Analisis deformasi lateral *contiguous bored pile* menggunakan program Plaxis 2D.
- b. Perbandingan hasil deformasi lateral *contiguous bored pile* menggunakan Plaxis 2D dengan hasil pembacaan *inclinometer*.
- c. Analisis nilai *safety factor* pekerjaan galian pada konstruksi *basement* proyek JHL S8 *Office* dengan menggunakan program Plaxis 2D.

Tabel 4.1 Estimasi Waktu Penelitian

No.	Kegiatan	Juli			Agustus			September			Okttober			November			Desember			Januari			Februari			Maret			April			Mei			Juni		
		1	2	3	4	1	2	3	4	1	2	3	4	1	2	3	4	1	2	3	4	1	2	3	4	1	2	3	4	1	2	3	4	1	2	3	4
1	Penentuan Judul																																				
2	Pengumpulan Data																																				
3	Seminar Proposal																																				
4	Analisis Data/ Perhitungan																																				
5	Seminar Hasil																																				
6	Sidang Akhir																																				

(Sumber: Analisa Penulis, 2024)

Keterangan:

 Rencana Realisasi

BAB 5

HASIL PENELITIAN DAN PEMBAHASAN

5.1 Pendahuluan

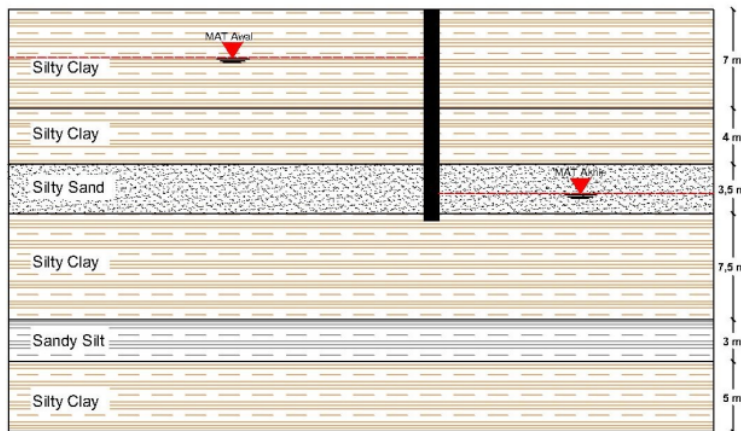
Proyek JHL S8 Office mempunyai 2 *basement*, dengan masing-masing elevasi yaitu 4,15 m dan 3,45 m. Pekerjaan galian dilakukan sebanyak 3 tahap. Tahap pertama yaitu *general excavation* dimana tanah digali sedalam 1 m. Tahap kedua yaitu galian *safety* yang ketinggian galiannya adalah 3,35 m, sehingga kedalaman galian sudah mencapai -4,35 m dari lantai dasar. Dan tahap galian yang ketiga yaitu *reduce level* atau galian dasar. Pada tahap ketiga pekerjaan galian sudah mencapai dasar yang sudah direncanakan yaitu sebesar -8,65 m dari lantai dasar.

Untuk memudahkan pekerjaan galian, proyek ini melakukan *dewatering* untuk menurunkan muka air tanah dari elevasi -3,4 m menjadi -12,93 m. Penelitian ini hendak menganalisis deformasi lateral yang terjadi pada *contiguous bored pile* menggunakan bantuan aplikasi Plaxis 2D V8.2 dengan pemodelan *Mohr Coulomb* dan *Hardening Soil* lalu dibandingkan hasil tersebut dengan hasil pengamatan di lapangan menggunakan *inclinometer*. Dikarenakan tersedianya data triaxial *Unconsolidated Undrained* dan jenis tanah yang mendominan adalah tanah lempung, maka analisis ini menggunakan metode *Undrained B* (tegangan efektif) untuk permodelan *Mohr Coulomb* dan *Hardening Soil* serta metode *Undrained C* (tegangan total) untuk pemodelan *Mohr Coulomb*. Pemodelan *Hardening Soil* ini tidak melibatkan analisis dalam kondisi tegangan total, karena hal tersebut menghasilkan nilai indeks kompresibilitas yang tidak rasional untuk tanah lunak. Selain menganalisis deformasi, penulis juga menganalisis *safety factor* yang didapat dari aplikasi Plaxis dengan perhitungan manual.

5.2 Deformasi Lateral Dinding Penahan Tanah

Dalam studi ini, analisis dilakukan terhadap penggalian dengan dua pendekatan, yaitu analisis jangka pendek dan analisis jangka panjang. Fokus penelitian ini adalah hasil deformasi lateral maksimum pada dinding penahan tanah akibat pekerjaan galian. Pada pemodelan ini, tidak ditambahkan beban karena keterbatasan data beban struktur yang tidak diketahui dan juga data pondasi yang

spesifik sehingga pola keruntuhannya yang mempengaruhi *retaining wall* tidak bisa diperhitungkan. Hasil analisis menunjukkan bahwa deformasi terbesar terjadi pada penggalian ketiga.



Gambar 5.1 Pemodelan Tanah

(Sumber: Analisa Penulis, 2024)

5.2.1 Parameter Tanah

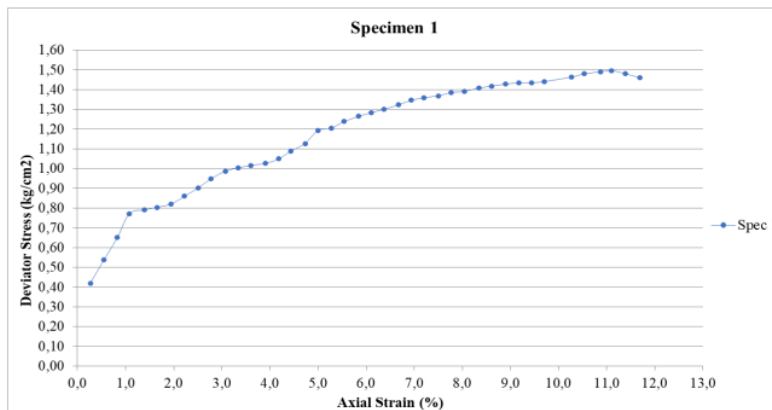
Parameter tanah diperoleh melalui hasil pengujian laboratorium pada lapisan tanah dengan pengambilan *Undisturbed Sample* (USD). Untuk lapisan tanah yang tidak termasuk *undisturbed sample*, parameter tanah ditentukan berdasarkan hasil korelasi terhadap nilai tes penetrasi standar (N-SPT) atau dikaitkan dengan data yang tersedia. Nilai N-SPT yang tersedia mencapai kedalaman 30 meter. Selain N-SPT, data pengujian *triaxial* bisa dijadikan acuan parameter dalam penelitian ini. Dikarenakan adanya data *triaxial unconsolidated undrained*, maka analisa yang dilakukan merupakan *undrained analysis*. Pengujian ini dilakukan dengan membuat pemodelan *Mohr Coulomb Undrained B*, *Mohr Coulomb Undrained C*, dan *Hardening Soil Undrained B*. Berikut adalah parameter-parameter tanah yang digunakan dalam analisa:

- Mohr Coulomb Undrained B*: γ_{unsat} , γ_{sat} , k_x , k_y , E' , v' , C_u , $\phi = 0$, $\psi = 0$
- Mohr Coulomb Undrained C*: γ_{unsat} , γ_{sat} , k_x , k_y , E_u , $v_u = 0,495$, C_u , $\phi = 0$, $\psi = 0$
- Hardening Soil Undrained B*: γ_{unsat} , γ_{sat} , k_x , k_y , E_{50}^{ref} , E_{oed}^{ref} , E_{ur}^{ref} , m , C_u , $\phi = 0$, $\psi = 0$

= 0

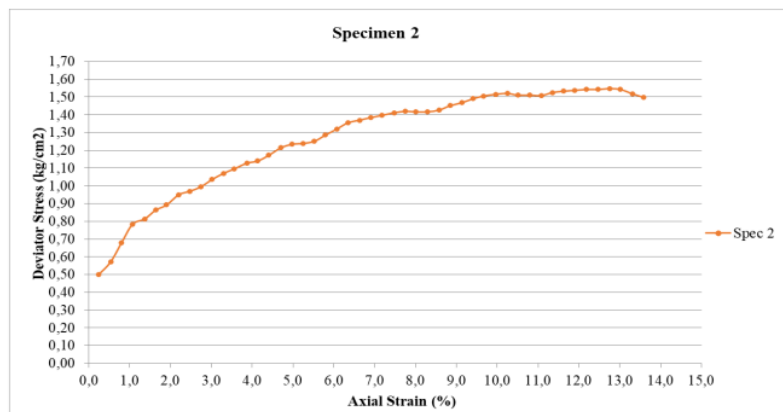
Untuk lapisan tanah pertama dan keenam, nilai modulus (E' , E_u , dan E_{50}^{ref}) didapatkan dari data triaxial *test* dan sisanya menggunakan asumsi yang digunakan pada umumnya. Adapun tahapan mencari nilai ketiga modulus pada salah satu lapisan (*layer* pertama) yaitu:

- Pada data triaxial *test* lapisan pertama dilakukan menggunakan tiga sampel tanah. Dari hasil uji triaxial didapatkan grafik *stress-strain* dari ketiga *specimen* tersebut. Masing-masing ketiga *specimen* itu dicari nilai modulusnya. Langkah awal, memisahkan garis grafik *stress-strain* dari ketiga *specimen* yang mana awalnya dijadikan satu grafik.



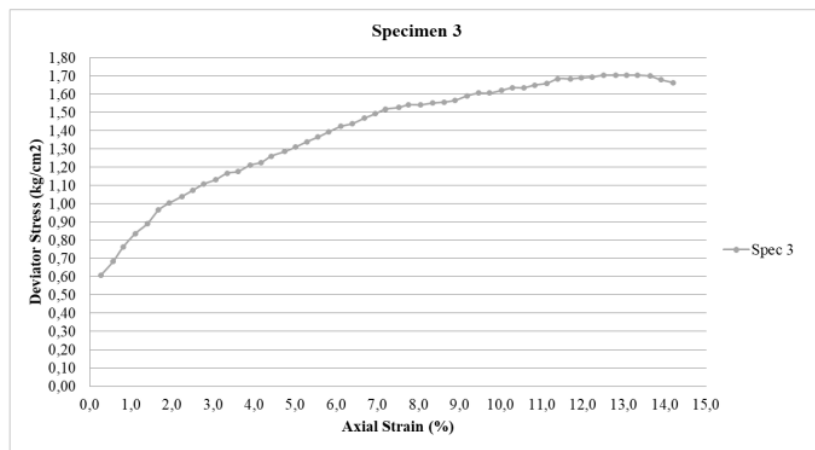
Gambar 5.2 Grafik Stress-Strain Specimen 1

(Sumber: Analisa Penulis, 2024)



Gambar 5.3 Grafik Stress-Strain Specimen 2

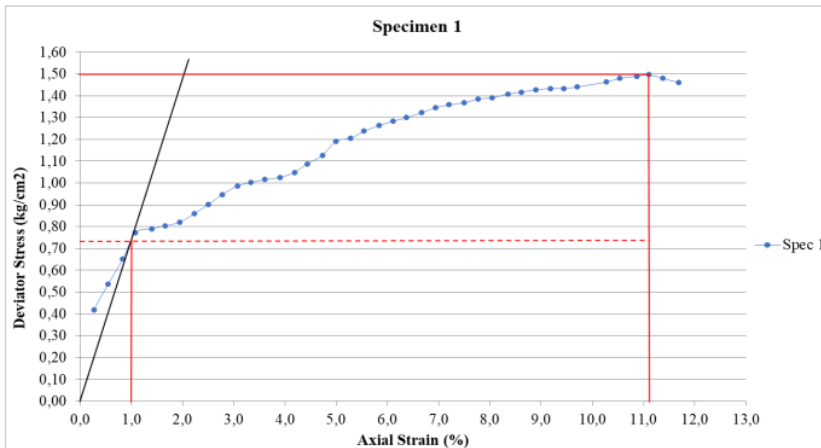
(Sumber: Analisa Penulis, 2024)



Gambar 5.4 Grafik Stress-Strain Specimen 3

(Sumber: Analisa Penulis, 2024)

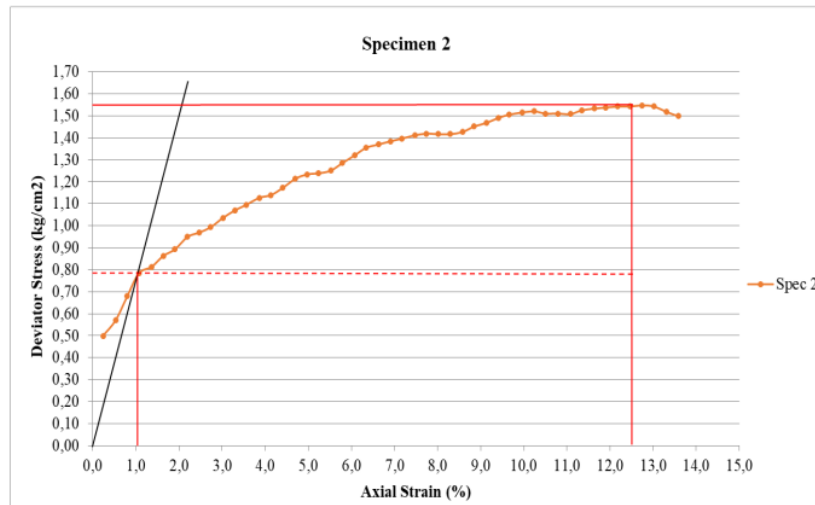
- b. Langkah selanjutnya yaitu mencari nilai maksimum *stress* pada masing-masing *specimen* kemudian nilai tersebut dibagi dua. Nilai *stress* tersebut ditarik sampai menyinggung grafik *stress-strain*, didapatkan nilai *strain* dari titik singgung tersebut. Nilai modulus yaitu membagi nilai 50% maksimum *stress* tadi dengan *strain* yang didapat dari garis singgung.



Gambar 5.5 Grafik Modulus Specimen 1

(Sumber: Analisa Penulis, 2024)

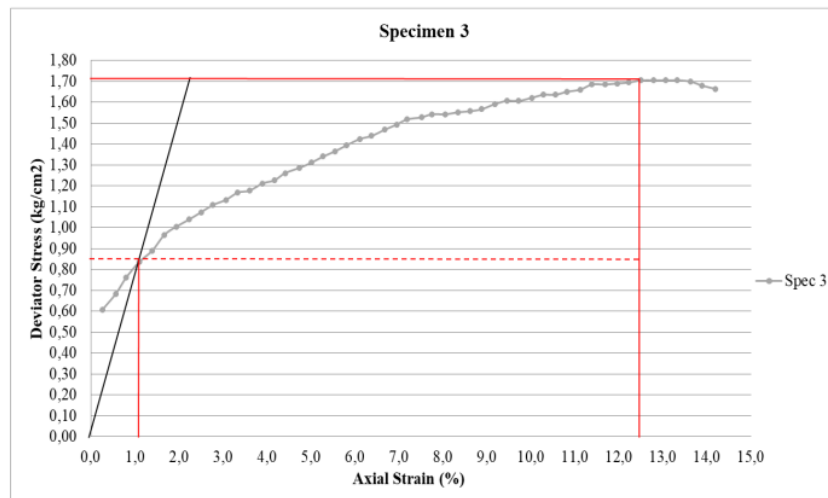
$$\text{Modulus specimen 1} = \frac{0,7424}{1,05\%} = 70,70476 \text{ kg/cm}^2 = 7070,476 \text{ kN/m}^2$$



Gambar 5.6 Grafik Modulus *Specimen 2*

(Sumber: Analisa Penulis, 2024)

$$\text{Modulus specimen 2} = \frac{0,7716}{1,1\%} = 70,15 \text{ kg/cm}^2 = 7014,55 \text{ kN/m}^2$$



Gambar 5.7 Grafik Modulus *Specimen 3*

(Sumber: Analisa Penulis, 2024)

$$\text{Modulus specimen 3} = \frac{0,8566}{1,23\%} = 69,642 \text{ kg/cm}^2 = 6964,2 \text{ kN/m}^2$$

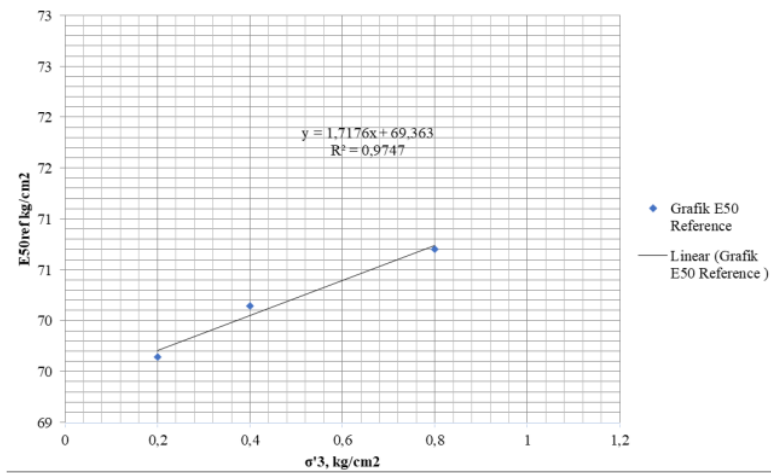
Nilai E_u pada pemodelan *Mohr Coulomb Undrained C*, diambil dari nilai modulus paling besar dari ketiga *specimen* yaitu $7070,476 \text{ kN/m}^3$. Sedangkan nilai E' pada pemodelan *Mohr Coulomb Undrained B* menggunakan rumus empiris sebagai berikut:

$$E' = \frac{2 \times (1+v) \times E_u}{2 \times (1+V_u)}$$

$$= \frac{2 \times (1+0,45) \times 7070,476}{2 \times (1+0,495)}$$

$$= 6834,794 \text{ kN/m}^2$$

- c. Untuk menentukan modulus E_{50}^{ref} dibuat grafik nilai modulus dengan nilai lateral pressure atau tegangan utama minor efektif (σ'_3) masing-masing *specimen* yang didapat dari lingkaran *Mohr*. Kemudian dibuatlah garis linear dari grafik tersebut sehingga menghasilkan sebuah persamaan. E_{50}^{ref} diambil ketika $P_{\text{ref}} = 100 \text{ kPa}$ atau 1 kg/cm^2 .



Gambar 5.8 Grafik E_{50}^{ref}

(Sumber: Analisa Penulis, 2024)

$$E_{50}^{\text{ref}} = 1,7176 (1) + 69,363$$

$$= 71,081 \text{ kg/cm}^2 = 7108,06 \text{ kN/m}^2$$

Adapun rekapitulasi semua parameter per-lapisan tanah yaitu:

1
Tabel 5.1 Parameter Tanah

<i>Layer</i>	1	2	3	4	5	6
Kedalaman (m)	0 - 7 22	7 - 11	11 - 14,5	14,5 - 22	22 - 25	25 - 30
Jenis Tanah	Silty Clay	Silty Clay	Silty Sand	Silty Clay	Sandy Sily	Silty Clay
N-SPT	11 2	30	60	40	29	22
Konsistensi	Stiff	Very Stiff	Very Dense	Hard	Very Stiff	Very Stiff
γ_{unsat} (kN/m ³)	14,15	20,67	22	20,67	20,67	14
γ_{sat} (kN/m ³)	16,7	22	23	22	22	16,8
K (m/day)	0,000864	0,000864	0,864	0,000864	0,000864	0,000864
Cu (kN/m ²)	58,84	151,667	0	201	142,5	122,583
v'	0,45	0,4	0,3	0,35	0,4	0,4
E' (kN/m ²)	6834,794	56811,594	104347,826	72602,007	53377,926	52046,667
Eu (kN/m ²)	7070,476	60666,667	120000	80400	57000	55764,286
E ₅₀ ^{ref} (kN/m ²)	7108,06	56811,594	104347,826	72602,007	53377,926	42325
E _{oed} ^{ref} (kN/m ²)	7108,06	56811,594	104347,826	72602,007	53377,926	42325
E _{ur} ^{ref} (kN/m ²)	21324,18	170434,783	313043,478	217806,02	160133,779	126975
Power / m	1	1	0,5	1	0,7	1

(Sumber: Analisa Penulis, 2024)

5.2.2 Parameter Dinding Penahan Tanah

Jenis dinding penahan tanah yang digunakan yaitu *contiguous bored pile* dengan kedalaman 15 m. Berikut adalah parameter dinding penahan tanah yang digunakan:

- a. Diameter (b) : 1 m
- b. Mutu beton (fc) : 25 MPa
- c. Mutu baja (fy) : 420 MPa
- d. Modulus elastisitas (E) : $4700 \times \sqrt{fc}$

$$= 4700 \times \sqrt{25} = 23500 \text{ MPa}$$

$$= 2,35 \times 10^7 \text{ kN/m}^3$$
- e. Kekakuan aksial (EA) : $E \times b \times h$

$$= 2,35 \times 10^7 \times 1 \times 1 = 2,35 \times 10^7 \text{ kN/m}$$

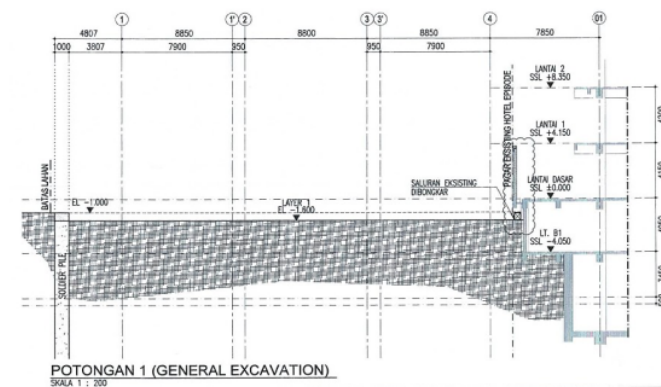
- f. Kekakuan lentur (EI) : $\frac{E \times h^3 \times b}{12}$
 $= \frac{2,35 \times 10^7 \times 1^3 \times 1}{12}$
 $= 1,9583 \times 10^6 \text{ kN/m}^2/\text{m}$
- g. W : Luas DPT x Berat jenis beton
 $= \frac{1}{4} \times \pi \times 1^2 \times 24$
 $= 18,84 \text{ kN/m/m}$
- h. v : 0,15

5.2.3 Analisis Deformasi Lateral *Contiguous Bored Pile* menggunakan Plaxis

Pekerjaan galian untuk *basement* mengakibatkan deformasi lateral pada dinding penahan tanah. Pekerjaan galian ini melalui tiga tahap yaitu:

a. Galian 1 atau *General Excavation*

Pada tahapan ini, pekerjaan galian dilakukan hingga elevasi -1 m.

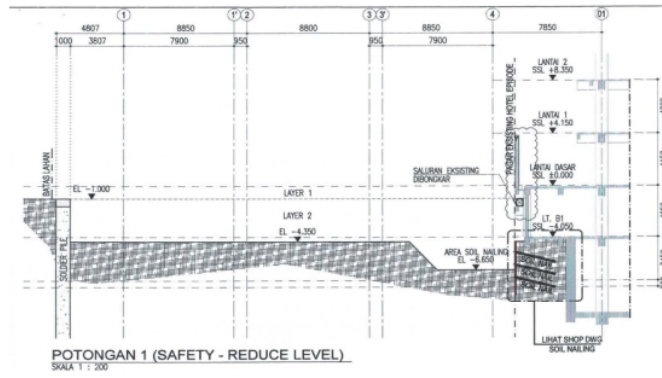


Gambar 5.9 Potongan *General Excavation*

(Sumber: Analisa Penulis, 2024)

b. Galian 2 atau Galian *Safety*

Sebelum dilakukan pekerjaan galian tahap ini, muka air tanah diturunkan menjadi -12,93 m kemudian baru dilakukan pekerjaan galian yang dilakukan hingga elevasi -4,35 m.

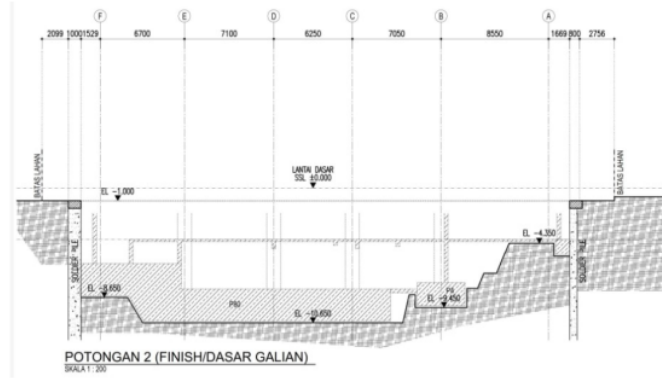


Gambar 5.10 Potongan Galian Safety

(Sumber: Analisa Penulis, 2024)

c. Galian 3 atau *Reduce Level*

Pada tahap ini merupakan tahapan pekerjaan galian dasar dimana kedalaman galian dasar yaitu -8,65 m.



Gambar 5.11 Potongan Dasar Galian

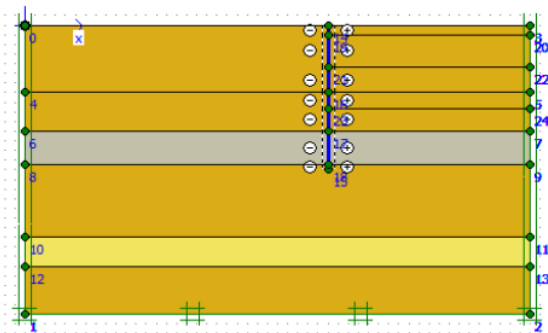
(Sumber: Analisa Penulis, 2024)

Analisis galian dengan perkuatan dinding penahan tanah menggunakan Plaxis dilakukan dalam kondisi tahap galian terakhir atau galian dasar. Penjelasan mengenai tahapan konstruksi yang dimodelkan pada Plaxis 2D diuraikan sebagai berikut:

a. Tahapan Input

- 1) Merancang geometri sesuai kondisi lapangan. Pemodelan penampang melintang galian yang dilengkapi dengan dinding penahan tanah dalam

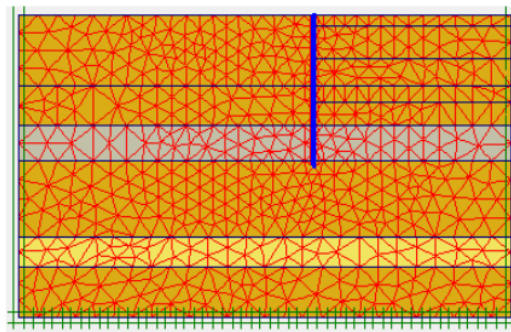
program Plaxis dilakukan dalam dua dimensi, dengan mempertimbangkan semua parameter data geoteknik. Langkah berikutnya adalah penerapan kondisi batas pada pemodelan agar perilaku pemodelan serealistik mungkin.



Gambar 5.12 Pemodelan pada Plaxis

(Sumber: Analisa Penulis, 2024)

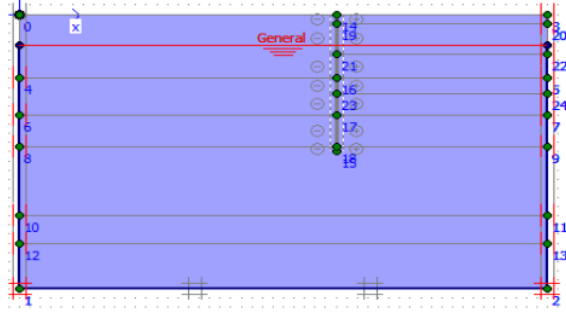
- 13
2) Langkah selanjutnya adalah membagi geometri model menjadi elemen-elemen imajiner yang biasanya disebut *meshing*.



Gambar 5.13 Meshing

(Sumber: Analisa Penulis, 2024)

- 13
3) Tahap berikutnya yaitu melakukan penetapan *initial condition*. Dalam tahap ini, tegangan air pori (*initial pore pressure*) dan tegangan awal (*initial stress*) didefinisikan. Perhitungan tegangan air pori dimulai dengan pemodelan muka air tanah awal dengan menggunakan garis *phreatic*.

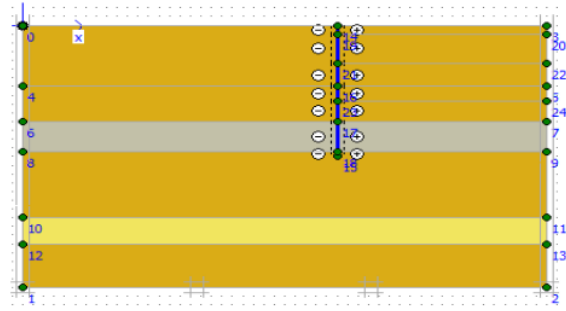


Gambar 5.14 Initial Condition

(Sumber: Analisa Penulis, 2024)

b. Tahapan *Calculation*

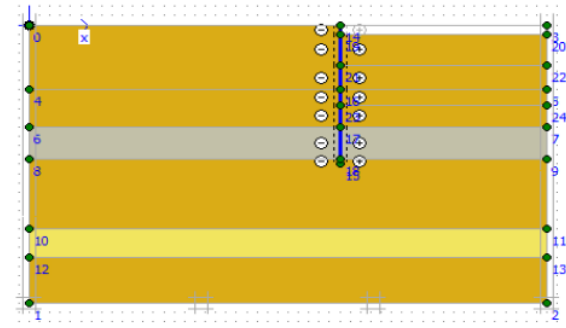
- 1) Mengaktifkan dinding penahan tanah yang dilakukan sebelum pekerjaan galian. Dinding penahan tanah dipasang sampai kedalaman 15 m.



Gambar 5.15 Pemasangan Contiguous Bored Pile

(Sumber: Analisa Penulis, 2024)

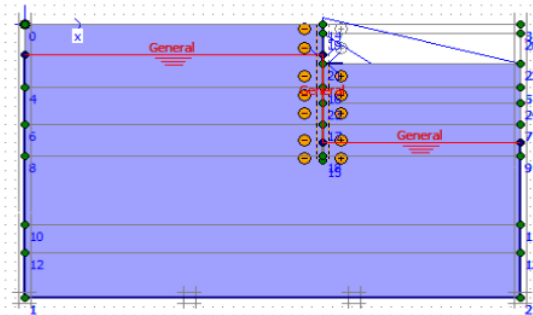
- 2) Pekerjaan galian tanah pertama hingga elevasi -1 m.



Gambar 5.16 Pekerjaan Galian Tahap 1

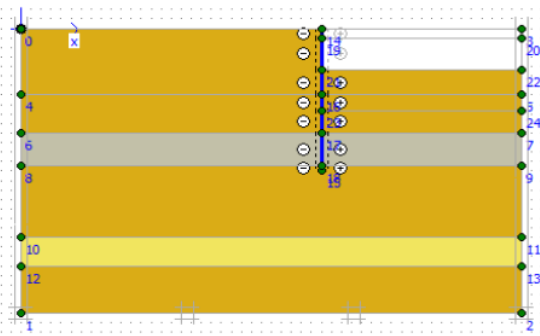
(Sumber: Analisa Penulis, 2024)

- 3) Pekerjaan galian tanah kedua hingga elevasi -4,35. Sebelum pekerjaan galian, diturunkan terlebih dahulu muka air tanah sedalam -12,93 m.



Gambar 5.17 Penurunan Muka Air Tanah

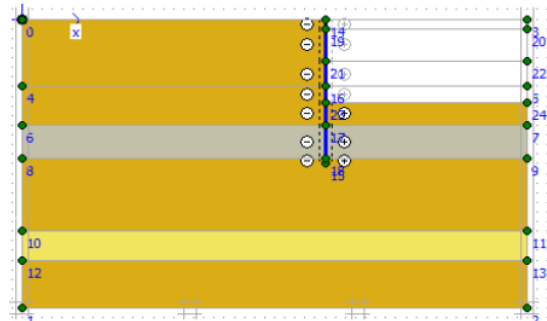
(Sumber: Analisa Penulis, 2024)



Gambar 5.18 Pekerjaan Galian Tahap 2

(Sumber: Analisa Penulis, 2024)

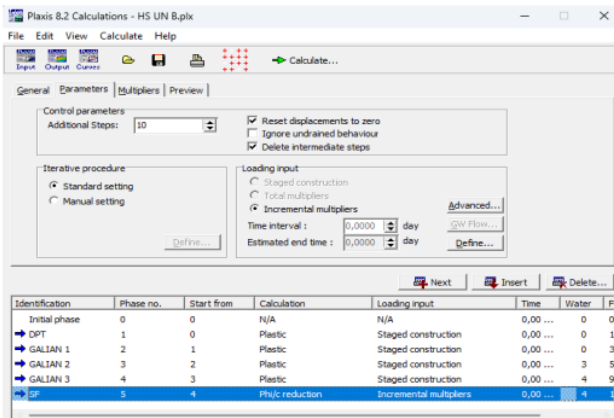
- 4) Pekerjaan galian tanah ketiga atau galian dasar hingga elevasi -8,65 m.



Gambar 5.19 Pekerjaan Galian Tahap 3

(Sumber: Analisa Penulis, 2024)

- 5) Perhitungan *safety factor* pada dinding penahan tanah. Tipe perhitungan fase ini didasarkan pada perhitungan *safety* dengan *output* berupa angka keamanan (*safety factor*) pada kondisi galian terakhir.
- 6) Melakukan proses kalkulasi. Setelah membuat pemodelan dan analisis, tahap selanjutnya adalah menghasilkan keluaran dari hasil pemodelan tersebut dalam bentuk perhitungan. Hasil perhitungan mencakup nilai total penurunan tanah (*displacement*), tekanan air pori berlebih (*excess pore pressure*), dan faktor keamanan (*safety factor*).
35



Gambar 5.20 Jendela *Calculation* Plaxis

(Sumber: Analisa Penulis, 2024)

c. Hasil Analisis Deformasi Lateral menggunakan Plaxis 2D
58

Analisis yang dikaji berupa kondisi jangka pendek (*total stress analysis*) dan jangka panjang (*effective stress analysis*). Untuk kedua analisis tersebut memiliki tahapan konstruksi yang sama, yang membedakan kedua analisis tersebut adalah parameternya. Berikut hasil yang didapatkan dari analisa deformasi lateral pada setiap pemodelan.

1) Deformasi lateral pemodelan *Mohr Coulomb Undrained B*

Pada pemodelan ini dilakukan analisis *long term* atau jangka panjang. Deformasi dinding penahan tanah yang didapatkan sebesar $36,25 \times 10^{-3}$ m.



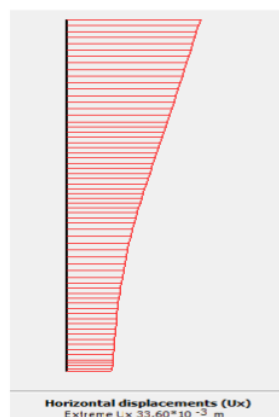
Gambar 5.21 Deformasi Lateral Pemodelan *Mohr Coulomb Undrained B*

(Sumber: Analisa Penulis, 2024)

2) Deformasi lateral pemodelan *Mohr Coulomb Undrained C*

Pada pemodelan ini dilakukan analisis *short term* atau jangka pendek.

Deformasi dinding penahan tanah yang didapatkan sebesar $33,6 \times 10^{-3}$ m.



Gambar 5.22 Deformasi Lateral Pemodelan *Mohr Coulomb Undrained C*

(Sumber: Analisa Penulis, 2024)

3) Deformasi lateral pemodelan *Hardening Soil Undrained B*

Pada pemodelan ini dilakukan analisis *short term* atau jangka panjang.

Deformasi dinding penahan tanah yang didapatkan sebesar $22,6 \times 10^{-3}$ m.



Gambar 5.23 Deformasi Lateral Pemodelan *Hardening Soil*

(Sumber: Analisa Penulis, 2024)

4) Deformasi izin

Nilai syarat deformasi lateral izin dinding penahan tanah mengikuti peraturan SNI 8460-2017 Pasal 11.5 tentang Persyaratan Perancangan Geoteknik.

Tabel 5.2 Batasan Deformasi Lateral Dinding Penahan Tanah

Batas Maksimum Deformasi Lateral Dinding	Lokasi Gedung dan Infrastruktur Terdekat			
	Zona 1 ($x/H < 1$)	Zona 2 ($1 < x/H < 2$)	Zona 3 ($x/H > 2$)	
Batas izin maksimum deformasi lateral ($\delta w/H$)	0,50 %	0,70 %	0,70 %	1,00 %

(Sumber: SNI 8460-2017)

Keterangan:

x : Jarak dari batas galian (m)

H : Kedalaman galian (m)

δw : Defleksi dinding (m)

Tipe tanah A : Tanah lempung dan lanau *overconsolidated* (*over-consolidated stiff clays* dan *silt*), tanah residual (*residual soils*), dan tanah pasir dengan kepadatan sedang sampai dengan padat (*medium to dense sands*).

Tipe tanah B : Tanah lempung dan lanau lunak (*soft clays*, *silt*), tanah organic (*organic soils*) dan tanah timbunan tidak terdapatkan (*loose fill*).

²
Lokasi gedung JHL S8 *Office* ini menurut Pasal 11.5 termasuk zona 1, yaitu rasio jarak dari batas galian ke gedung terdekat proyek dengan kedalaman galian kurang dari 1.

$$\begin{aligned} 0,5 \% H &= 0,5 \% \times 8,65 \text{ m} \\ &= 0,04325 \text{ m} \\ &= 43,25 \text{ mm} \end{aligned}$$

Sehingga deformasi izin dinding penahan tanah *contiguous bored pile* adalah 43,25 mm.

Tabel 5.3 Rekapitulasi Hasil Analisa Deformasi Lateral

²⁷	Pemodelan	Deformasi Lateral (mm)	Keterangan
<i>Mohr Coulomb Undrained B</i>	36,25	Memenuhi	
<i>Mohr Coulomb Undrained C</i>	33,6	Memenuhi	
<i>Hardening Soil Undrained B</i>	22,6	Memenuhi	

(Sumber: Analisa Penulis, 2024)

Berdasarkan Tabel 5.3, hasil deformasi lateral maksimum pada ketiga pemodelan terjadi pada galian ketiga. *Mohr Coulomb* pada kondisi tegangan efektif (analisis jangka panjang) memiliki deformasi lateral dinding penahan tanah yaitu 36,25 mm, *Mohr Coulomb* pada kondisi tegangan total (analisis jangka pendek) memiliki deformasi lateral sebesar 33,6 mm, sedangkan pada pemodelan *Hardening Soil* pada kondisi tegangan efektif (analisis jangka panjang) memiliki deformasi sebesar 22,6 mm.

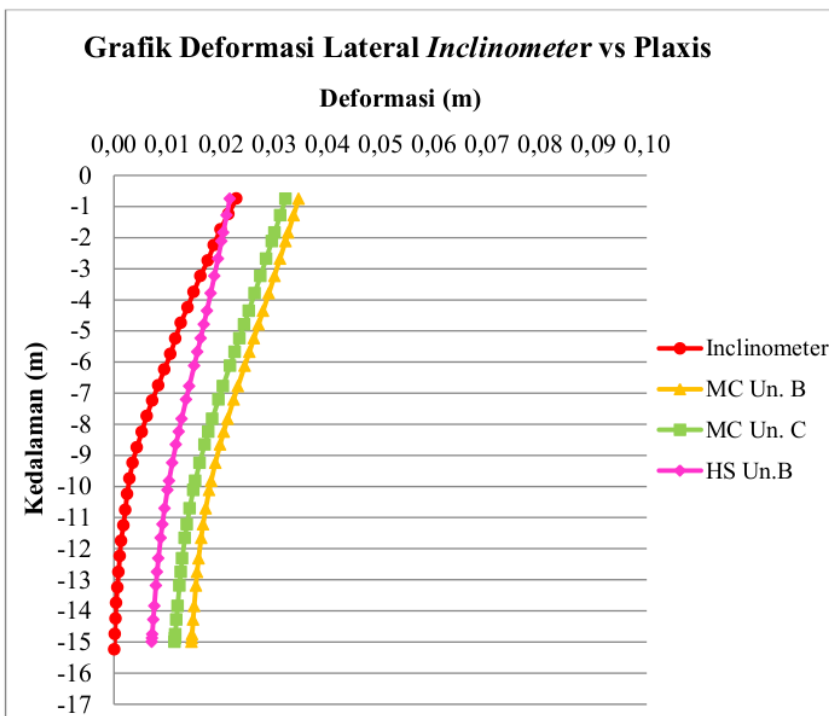
Dari ketiga pemodelan *output* deformasi lateral tidak melampaui batas izin yaitu 43,25 mm, maka pekerjaan galian yang dilakukan dinyatakan aman. Hasil dari deformasi lateral maksimum *contiguous bored pile* yang berada di galian ketiga lalu dibandingkan hasil monitoring *inclinometer*.

Tabel 5.4 Hasil Deformasi Lateral *Inclinometer* dan Plaxis

Kedalaman (m)	Deformasi (m)	Kedalaman (m)	Deformasi MC B (m)	Deformasi MC C (m)	Deformasi HS (m)
-0,75	0,02297	-0,75	0,03467	0,03220	0,02175
-1,24	0,02148	-1,28	0,03371	0,03120	0,02114

-1,73	0,01999	-1,84	0,03269	0,03015	0,02050
-2,24	0,01873	-2,12	0,03218	0,02962	0,02018
-2,74	0,01759	-2,68	0,03115	0,02856	0,01952
-3,23	0,01621	-3,23	0,03011	0,02749	0,01884
-3,74	0,01495	-3,79	0,02906	0,02640	0,01815
-4,24	0,01381	-4,35	0,02799	0,02530	0,01743
-4,74	0,01255	-4,79	0,02713	0,02442	0,01685
-5,25	0,01152	-5,23	0,02627	0,02354	0,01626
-5,74	0,01060	-5,68	0,02541	0,02265	0,01566
-6,24	0,00945	-6,12	0,02455	0,02177	0,01505
-6,75	0,00831	-6,78	0,02326	0,02045	0,01413
-7,24	0,00716	-7,21	0,02245	0,01962	0,01353
-7,74	0,00613	-7,83	0,02132	0,01846	0,01269
-8,25	0,00522	-8,24	0,02061	0,01772	0,01215
-8,74	0,00430	-8,65	0,01992	0,01701	0,01163
-9,24	0,00350	-9,24	0,01903	0,01608	0,01094
-9,75	0,00293	-9,83	0,01823	0,01526	0,01031
-10,24	0,00247	-10,12	0,01787	0,01488	0,01002
-10,75	0,00212	-10,71	0,01722	0,01420	0,00949
-11,25	0,00178	-11,22	0,01672	0,01368	0,00908
-11,74	0,00132	-11,66	0,01635	0,01330	0,00876
-12,24	0,00109	-12,31	0,01588	0,01281	0,00834
-12,75	0,00086	-12,75	0,01561	0,01253	0,00809
-13,25	0,00063	-13,19	0,01537	0,01228	0,00787
-13,74	0,00041	-13,84	0,01505	0,01194	0,00757
-14,25	0,00029	-14,28	0,01486	0,01173	0,00738
-14,75	0,00018	-14,75	0,01466	0,01150	0,00718
-15,24	0,00006	-14,88	0,01461	0,01144	0,00713
-15,75	0,00006	-15,00	0,01456	0,01138	0,00708

(Sumber: Analisa Penulis, 2024)



Gambar 5.24 Grafik Deformasi Lateral *Inclinometer* dengan Plaxis

(Sumber: Analisa Penulis, 2024)

Tabel 5.5 Perbandingan Hasil Deformasi Lateral *Inclinometer* dan Plaxis

Deformasi (Kedalaman -0,75 m)	<i>Inclinometer</i> (mm)	MC Un.B (mm)	MC Un.C (mm)	HS (mm)
-0,75 m	22,969	34,668	32,198	21,749
Percentase Error		33,74%	28,66%	5,61%

(Sumber: Analisa Penulis, 2024)

Pada penelitian ini dilakukan dua kondisi yaitu jangka panjang (*long term*) dan (*short term*). Jangka panjang dimodelkan dengan pemodelan *Mohr Coulomb Undrained B* dan *Hardening Soil Undrained B*, sedangkan kondisi jangka pendek dimodelkan dengan *Mohr Coulomb Undrained C*. Ditinjau dari pemodelan *Mohr Coulomb*, berdasarkan hasil *output* deformasi lateral dinding penahan tanah, *Mohr Coulomb Undrained C* lebih mendekati hasil pembacaan di lapangan menggunakan *inclinometer* daripada *Mohr Coulomb Undrained B*.

Hal ini dikarenakan parameter kekakuan dari *Mohr Coulomb Undrained C* lebih besar. Sehingga bisa disimpulkan, perilaku jangka pendek lebih kritis dibandingkan jangka panjang.

Sedangkan berdasarkan jenis pemodelan *Mohr Coulomb* dengan *Hardening Soil* dimana kedua pemodelan tersebut dianalisis dengan kondisi jangka panjang, deformasi lateral yang mendekati dengan *inclinometer* yaitu²¹ *Hardening Soil*. Penggunaan model konstitutif tingkat lanjut, seperti model *Hardening Soil*, membutuhkan kajian parameter tanah yang lebih lengkap dan komprehensif. Khususnya, variasi nilai E_{50}^{ref} dan E_{ur}^{ref} pada khusus galian harus diperhatikan. E_{ur}^{ref} memperhitungkan kekakuan tanah yang berkurang akibat pengurangan beban tanah atau galian, dengan E_{ur}^{ref} diinput lebih tinggi dibandingkan dengan nilai E yang diterapkan dalam model *Mohr Coulomb*. Oleh karena itu, pemodelan *output Hardening Soil* kerap mendekati hasil uji di lapangan.

5.3 Analisis Faktor Keamanan

⁶⁵ Pada penelitian ini, analisis faktor keamanan dilakukan menggunakan metode elemen hingga yaitu dengan Plaxis dan perhitungan manual. Dari dua metode tersebut dianalisa sehingga mengetahui dinding penahan tersebut dikatakan aman dan stabil untuk pembangunan *basement* atau tidak. Angka keamanan yang di analisa yaitu pada saat galian terakhir atau ketiga.

5.3.3 Analisis Faktor Keamanan menggunakan Plaxis

Angka keamanan di Plaxis dapat dilihat dengan menambahkan *phase* kemudian mengubah *calculation type* menjadi *phi/c reduction*. Umumnya batas izin faktor keamanan stabilitas dinding penahan tanah pada Plaxis lebih dari 1,5. Berikut adalah hasil *safety factor* dari ketiga pemodelan yang telah dianalisa:

a. *Mohr Coulomb Undrained B*

Pada pemodelan jangka panjang ini dihasilkan *safety factor* pada galian terakhir sebesar 2,3875.

Total multipliers	
$\Sigma -Mdisp:$	1,0000
$\Sigma -MloadA:$	1,0000
$\Sigma -MloadB:$	1,0000
$\Sigma -Mweight:$	1,0000
$\Sigma -Macel:$	0,0000
$\Sigma -Msf:$	2,3875

Gambar 5.25 Safety Factor Pemodelan Mohr Coulomb Undrained B

(Sumber: Analisa Penulis, 2024)

b. Mohr Coulomb Undrained C

Pada pemodelan jangka pendek ini dihasilkan *safety factor* pada galian terakhir sebesar 1,6889.

Total multipliers	
$\Sigma -Mdisp:$	1,0000
$\Sigma -MloadA:$	1,0000
$\Sigma -MloadB:$	1,0000
$\Sigma -Mweight:$	1,0000
$\Sigma -Macel:$	0,0000
$\Sigma -Msf:$	1,6889

Gambar 5.26 Safety Factor Pemodelan Mohr Coulomb Undrained C

(Sumber: Analisa Penulis, 2024)

c. Hardening Soil Undrained B

Pada pemodelan jangka panjang ini dihasilkan *safety factor* pada galian terakhir sebesar 1,687.

Total multipliers	
$\Sigma -Mdisp:$	1,0000
$\Sigma -MloadA:$	1,0000
$\Sigma -MloadB:$	1,0000
$\Sigma -Mweight:$	1,0000
$\Sigma -Macel:$	0,0000
$\Sigma -Msf:$	1,6870

Gambar 5.27 Safety Factor Pemodelan Hardening Soil

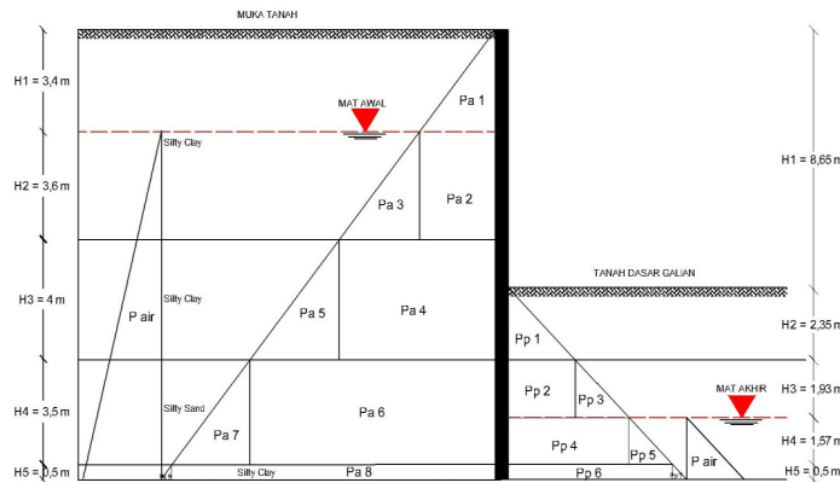
(Sumber: Analisa Penulis, 2024)

Dari ketiga pemodelan, angka kemanan tidak melewati batas syarat pada umumnya yaitu 1,5. Maka dari itu, kondisi tanah pada saat pekerjaan galian untuk pembangunan *basement* masih aman.

5.3.2 Analisis Faktor Keamanan menggunakan Perhitungan Manual

Dalam SNI 8460:2017, persyaratan desain yang diterapkan pada struktur dinding penahan tanah menekankan keamanan yang utama dalam tiga aspek yakni, ⁶¹ stabilitas terhadap pergeseran, stabilitas terhadap penggulingan, dan stabilitas terhadap keruntuhan kapasitas daya dukung tanah. Batas nilai angka faktor aman untuk geser yaitu $\geq 1,5$ dan guling ≥ 2 (Badan SNI 8460:2017, 2017). Metode yang dipilih untuk perhitungan faktor keamanan dinding penahan tanah adalah metode Rankine. Langkah-langkah analisis yang dilakukan mencakup:

- a. Pembuatan diagram tekanan tanah lateral
- b. Perhitungan tegangan tanah aktif dan tegangan tanah pasif
- c. Kalkulasi tekanan tanah aktif (P_a) dan tekanan tanah pasif (P_p) menggunakan metode Rankine
- d. Penentuan titik berat pada setiap diagram tegangan tanah aktif dan pasif
- e. Perhitungan momen tanah aktif dan pasif
- f. Menghitung faktor keamanan.



Gambar 5.28 Diagram Tekanan Tanah Aktif dan Pasif

(Sumber: Analisa Penulis, 2024)

Dalam perhitungan tekanan tanah lateral ini dibutuhkan data seperti γ_{unsat} , γ_{sat} , γ' , φ , K_a , dan K_p .

$$\gamma' = \gamma_{\text{sat}} - \gamma_w$$

$$K_a = \tan^2(45 - \frac{\varphi}{2})$$

$$K_p = \tan^2(45 + \frac{\varphi}{2})$$

Tabel 5.6 Parameter Tanah untuk Perhitungan Tekanan Tanah Lateral

Layer	Kedalaman (m)	γ_{unsat} (kN/m ³)	γ_{sat} (kN/m ³)	γ' (kN/m ²)	φ (°)	C' (kN/m ²)	K_a	K_p
1	0 – 7	14,15	16,7	6,89	21	39,227	0,687	2,117
2	7 – 14,5	20,67	22	12,19	24	101,111	0,662	2,283
3	14,5 – 22	22	23	13,19	40	0	0,466	4,599
4	22 – 25	20,67	22	12,19	25	134	0,647	2,464

(Sumber: Analisa Penulis, 2024)

a. Perhitungan untuk Tekanan Tanah Aktif

Tabel 5.7 Perhitungan Tekanan Tanah Aktif

Bidang	Rumus	Hasil (kN/m)
1	$(1/2 \times \gamma_{\text{unsat1}} \times H_2^2 \times K_a_2) + (2 \times c' \times \sqrt{K_p_2 \times H_2})$	-144,693
2	$\gamma_{\text{unsat1}} \times H_1^2 \times K_a_2$	77,265
3	$(1/2 \times \gamma_{\text{sat1}} \times H_2^2 \times K_a_1) - (2 \times c' \times \sqrt{K_a_1 \times H_2})$	-142,993
4	$((H_1 \times \gamma_{\text{unsat1}} + H_2 \times \gamma_1) \times K_a_2) \times H_3^2$	511,165
5	$(1/2 \times \gamma_2 \times H_3^2 \times K_a_2) - (2 \times c' \times \sqrt{K_a_2 \times H_3})$	-492,659
6	$((H_1 \times \gamma_{\text{unsat1}} + H_2 \times \gamma_1 + H_3 \times \gamma_2) \times K_a_3) \times H_4^2$	324,161
7	$(1/2 \times \gamma_3 \times H_4^2 \times K_a_3)$	17,571
8	$((H_1 \times \gamma_{\text{unsat1}} + H_2 \times \gamma_1 + H_3 \times \gamma_2 + H_4 \times \gamma_3) \times K_a_4) \times H_5^2$	17,033
9	$(1/2 \times \gamma_4 \times H_5^2 \times K_a_4) - (2 \times c' \times \sqrt{K_a_4 \times H_5})$	-84,749
Air	$1/2 \times H_{\text{air}}^2 \times \gamma_w$	659,815
	$\sum \text{Pa}$	741,915

(Sumber: Analisa Penulis, 2024)

Tabel 5.8 Perhitungan Jarak Lengan Tekanan Tanah Aktif

Bidang	Rumus		Hasil (m)
1	$1/3 \times H_1 + H_2 + H_3 + H_4 + H_5$	$1/3 \times 3,4 + 3,6 + 4 + 3,5 + 0,5$	12,73
2	$1/2 \times H_2 + H_3 + H_4 + H_5$	$1/2 \times 3,6 + 4 + 3,5 + 0,5$	9,8
3	$1/3 \times H_2 + H_3 + H_4 + H_5$	$1/3 \times 3,6 + 4 + 3,5 + 0,5$	9,2
4	$1/2 \times H_3 + H_4 + H_5$	$1/2 \times 4 + 3,5 + 0,5$	6
5	$1/3 \times H_3 + H_4 + H_5$	$1/3 \times 4 + 3,5 + 0,5$	5,33
6	$1/2 \times H_4 + H_5$	$1/2 \times 3,5 + 0,5$	2,25
7	$1/3 \times H_4 + H_5$	$1/3 \times 3,5 + 0,5$	1,67
8	$1/2 \times H_5$	$1/2 \times 0,5$	0,25
9	$1/3 \times H_5$	$1/3 \times 0,5$	0,17
Air	$1/3 \times H_{air}$	$1/3 \times 11,6$	3,87

(Sumber: Analisa Penulis, 2024)

9

Tabel 5.9 Perhitungan Momen Tekanan Tanah Aktif

Bidang	Pa (kN/m)	Jarak (m)	Momen (kN)
1	-144,693	12,73	-1842,43
2	77,265	9,8	757,197
3	-142,993	9,2	-1315,54
4	511,165	6	3067,512
5	-492,659	5,33	-2614,961
6	324,161	2,25	729,362
7	17,571	1,67	29,285
8	17,033	0,25	4,258
9	-84,749	0,17	-14,125
Air	659,815	3,87	2551,285
ΣMa			1338,77

(Sumber: Analisa Penulis, 2024)

b. Perhitungan untuk Tekanan Tanah Pasif

38
Tabel 5.10 Perhitungan Tekanan Tanah Aktif

Bidang	Rumus	Hasil (kN/m)
1	$(1/2 \times \gamma_{unsat2} \times H_2^2 \times Kp_2) + (2 \times c' \times \sqrt{Kp_2} \times H_2)$	848,242
2	$\gamma_{unsat2} \times H_2^2 \times Kp_3$	524,881
3	$(1/2 \times \gamma_{unsat3} \times H_3^2 \times Kp_3)$	188,435
4	$((H_2 \times \gamma_{unsat2} + H_3 \times \gamma_{unsat3}) \times Kp_3) \times H_4^2$	1031,865
5	$(1/2 \times \gamma_3 \times H_4^2 \times Kp_3)$	69,109
6	$((H_2 \times \gamma_{unsat2} + H_3 \times \gamma_{unsat3} + H_4 \times \gamma_3) \times Kp_4) \times H_5^2$	67,862
7	$(1/2 \times \gamma_4 \times H_5^2 \times Kp_4) + (2 \times c' \times \sqrt{Kp_4} \times H_5)$	214,093

Air	$\frac{1}{2} \times H_{\text{air}}^2 \times \gamma_w$	$\frac{1}{2} \times 2,07^2 \times 9,807$	21,011
	$\sum P_p$		2965,499

(Sumber: Analisa Penulis, 2024)

Tabel 5.11 Perhitungan Jarak Lengan Tekanan Tanah Pasif

Bidang	Rumus		Hasil (m)
1	$\frac{1}{3} \times H_2 + H_3 + H_4 + H_5$	$\frac{1}{3} \times 2,35 + 1,93 + 1,57 + 0,5$	4,78
2	$\frac{1}{2} \times H_3 + H_4 + H_5$	$\frac{1}{2} \times 1,93 + 1,57 + 0,5$	3,04
3	$\frac{1}{3} \times H_3 + H_4 + H_5$	$\frac{1}{3} \times 1,93 + 1,57 + 0,5$	2,71
4	$\frac{1}{2} \times H_4 + H_5$	$\frac{1}{2} \times 1,57 + 0,5$	1,29
5	$\frac{1}{3} \times H_4 + H_5$	$\frac{1}{3} \times 1,57 + 0,5$	1,02
6	$\frac{1}{2} \times H_5$	$\frac{1}{2} \times 0,5$	0,25
7	$\frac{1}{3} \times H_5$	$\frac{1}{3} \times 0,5$	0,17
Air	$\frac{1}{3} \times H_{\text{air}}$	$\frac{1}{3} \times 2,07$	0,69

(Sumber: Analisa Penulis, 2024)

Tabel 5.12 Perhitungan Momen Tekanan Tanah Pasif

Bidang	Pa (kN/m)	Jarak (m)	Momen (kN)
1	848,242	4,78	4057,425
2	524,881	3,04	1593,015
3	188,435	2,71	511,288
4	1031,865	1,29	1325,946
5	69,109	1,02	70,722
6	67,862	0,25	16,966
7	214,093	0,17	35,682
Air	21,011	0,69	14,498
	$\sum M_p$		7625,541

(Sumber: Analisa Penulis, 2024)

Dalam perencanaan ini, diperoleh hasil berupa tekanan tanah dan momen yang terjadi sebagai berikut:

$$\sum P_a = 741,915 \text{ kN/m}$$

$$\sum M_a = 1338,77 \text{ kN}$$

$$\sum P_p = 2965,499 \text{ kN/m}$$

$$\sum M_p = 7625,541 \text{ kN}$$

c. Stabilitas terhadap Geser

Adapun faktor aman stabilitas terhadap penggeseran untuk dinding penahan tanah yaitu:

$$F_{gs} = \frac{\sum P_p}{\sum P_a} \geq 1,5$$

$$= \frac{2965,499}{741,915} \\ = 3,997$$

³⁴ $F_{gs} > 1,5$ maka struktur aman dan stabil terhadap gaya geser.

d. Stabilitas terhadap Guling

Faktor aman terhadap penggulingan (F_{gl}) didefinisikan sebagai berikut:

$$F_{gl} = \frac{\sum M_p}{\sum M_a} \geq 2 \\ = \frac{7625,541}{1358,77} \\ = 5,696$$

$F_{gl} > 2$ maka struktur aman dan stabil terhadap gaya guling.

Tabel 5.13 Rekapitulasi SF Perhitungan Manual dan Plaxis

Metode	Plaxis			Perhitungan Manual	
	MC Un.B	MC Un.C	HS Un.B	Geser	Guling
<i>Safety Factor</i>	2,3875	1,6889	1,687	3,997	5,696

(Sumber: Analisa Penulis, 2024)

Terlihat bahwa perhitungan yang dilakukan oleh perangkat lunak (Plaxis) menunjukkan perbedaan nilai faktor keamanan (SF) yang cukup jauh dengan perhitungan manual. Perbedaan ini terjadi karena perhitungan oleh Plaxis lebih mendetail dibandingkan dengan perhitungan manual. Plaxis memiliki lebih banyak parameter *input* tanah sehingga menghasilkan nilai faktor keamanan yang lebih akurat dan lebih rendah.

KESIMPULAN DAN SARAN**6.1 Kesimpulan**

Berdasarkan hasil penelitian yang telah dilakukan, didapatkan kesimpulan bahwa deformasi lateral *contiguous bored pile* akibat pekerjaan galian dalam pada Proyek JHL S8 Office Gading Serpong, Kabupaten Tangerang, Banten sebagai berikut:

- a. Hasil analisis yang terjadi pada *contiguous bored pile* menghasilkan gaya-gaya dalam salah satunya deformasi lateral atau deformasi horizontal. Besarnya hasil deformasi lateral maksimum *contiguous bored pile* berdiameter 1 m dan tinggi 15 m yang diperoleh menggunakan *software* Plaxis pemodelan *Mohr Coulomb Undrained B* (jangka panjang) adalah 36,25 mm, pemodelan *Mohr Coulomb Undrained C* (jangka pendek) sebesar 33,6 mm, dan pemodelan *Hardening Soil Undrained B* (jangka pendek) yaitu 22,6 mm.
- b. Dari pengujian lapangan *inclinometer* di titik tinjauan yang sama, didapat deformasi lateral maksimum yang terjadi sebesar 22,969 mm. Sehingga perbandingan hasil tersebut dengan menggunakan Plaxis 2D pada *Mohr Coulomb Undrained B* sebesar 33,74%, *Mohr Coulomb Undrained C* sebesar 28,66%, dan *Hardening Soil Undrained B* sebesar 5,61%. Dilihat dari kondisi analisa untuk pemodelan *Mohr Coulomb*, jangka pendek lebih mendekati hasil *inclinometer* karena parameter kekakuan yang dibutuhkan lebih besar. Sedangkan berdasarkan pemodelan, secara umum deformasi horizontal yang dihasilkan oleh model *Hardening Soil* menunjukkan tingkat kekritisan yang lebih tinggi dibandingkan dengan deformasi yang dihasilkan oleh model *Mohr Coulomb*.
- c. Nilai faktor keamanan dinding penahan tanah pada tahap galian terakhir dianalisa menggunakan program Plaxis dan perhitungan manual dengan metode Rankine. Pada perhitungan menggunakan Plaxis didapatkan nilai angka aman untuk pemodelan *Mohr Coulomb Undrained B* sebesar 2,3875, *Mohr Coulomb Undrained C* sebesar 1,6889, dan *Hardening Soil* sebesar 1,687,

dimana ketiga hasil tersebut dikatakan aman karena lebih besar dari yang disyaratkan yaitu 1,5. Perhitungan manual didapatkan nilai *safety factor* terhadap pergeseran dan penggulingan. Nilai angka aman terhadap pergeseran yaitu 3,997 lebih besar dari yang disyaratkan menurut SNI 8460-2017 yaitu 1,5. Nilai angka aman terhadap penggulingan yaitu 5,696 lebih besar dari yang disyaratkan menurut SNI 8460-2017 yaitu 2.

⁸ **6.2 Saran**

Dari hasil analisa dan kesimpulan diatas, penulis memberi saran diantaranya sebagai berikut:

- a. Dalam penyelidikan tanah, disarankan agar pengujian dilakukan secara menyeluruh dan lapis demi lapis. Dengan demikian, parameter-parameter tanah dapat diperoleh secara akurat di laboratorium tanpa bergantung pada pendekatan empiris melalui studi parameter.
- b. Sebaiknya memastikan terlebih dahulu untuk mempunyai data tanah yang lengkap dan akurat.
- c. Dalam menganalisis deformasi lateral dan *safety factor* keamanan dinding penahan tanah, sebaiknya dilakukan perhitungan menggunakan metode alternatif atau *software* yang lain untuk melakukan perbandingan dan *cross check* dalam memastikan akurasi dalam perhitungan.

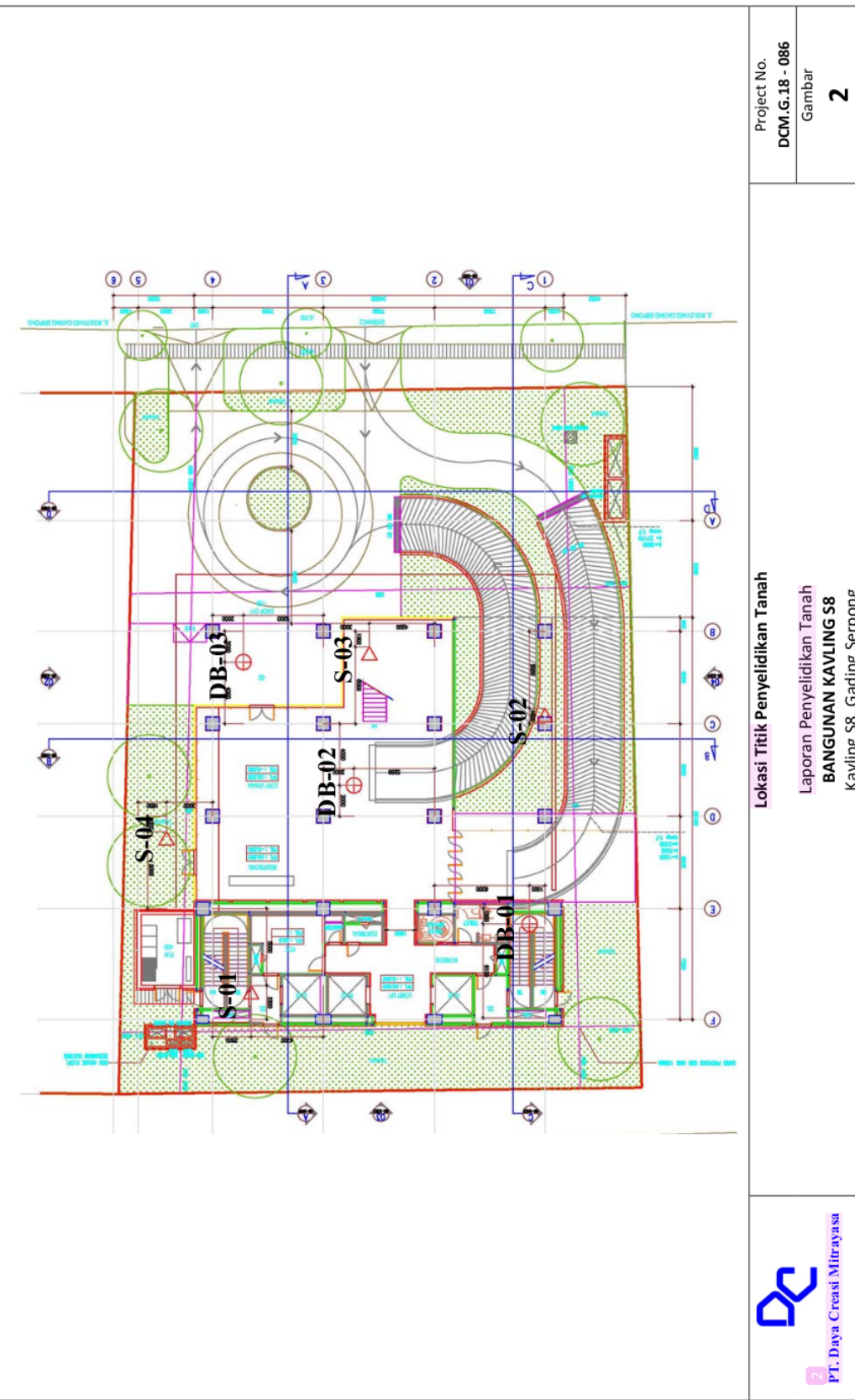
DAFTAR PUSTAKA

- Alfana, S., Ra, Assafira, R. A., Situmorang, A., & Masvika, H. (2024). *Analisis Stabilitas Lereng dengan Dinding Penahan Tanah menggunakan Perhitungan Manual dan ASDIP Retain v.4.7.6 Info Artikel*. 19(1), 26–37. <http://journals.usm.ac.id/index.php/teknika>
- Apriyani, N. K. D., Ikhya, & Hamdhan, I. N. (2016). Analisis Konsolidasi Dengan Prefabricated Vertical Drain Untuk Beberapa Soil Model Menggunakan Metode Elemen Hingga. *Rekaracana: Jurnal Online Institut Teknologi Nasional*, 2(3), 17–28.
- Badan SNI 8460:2017. (2017). Persyaratan Perancangan Geoteknik. *Standar Nasional Indonesia, 8460*, 1–323.
- Fitri, P., & Cahyono, B. N. (2015). Analisa Perbandingan Metode Bottom-Up dan Metode Top-Down Pekerjaan Basement pada Gedung Parkir Apartemen Skyland Education. *Jurnal Teknik ITS*, 4(1), D1–D5.
- Ir. Gouw Tjie Liang M.Eng. ChFC. (2012). *Dasar Teori Metode Elemen Hingga Dalam Geoteknik*.
- Kurguzov, K. V., & Fomenko, I. K. (2019). Piles and lateral loads: comparison of calculation methods. *Vestnik MGСU*, 10, 1280–1291. <https://doi.org/10.22227/1997-0935.2019.10.1280-1291>
- Kusuma, R. I., Mina, E., & Amala, W. R. (2019). ANALISIS DEFORMASI LATERAL DIAPHRAGM WALL DAN DEWATERING PADA KONSTRUKSI BASEMENT (Studi kasus: Proyek The Ayoma Apartment, Serpong, Tangerang Selatan). *Fondasi: Jurnal Teknik Sipil*, 8(1). <https://doi.org/10.36055/jft.v8i1.5398>
- Lim, A., Ou, C. Y., & Hsieh, P. G. (2010). Evaluation of clay constitutive models for analysis of deep excavation under undrained conditions. *Journal of GeoEngineering*, 5(1), 9–20. [https://doi.org/10.6310/jog.2010.5\(1\).2](https://doi.org/10.6310/jog.2010.5(1).2)

- Lisman, D., Yanti, G., & Megasari, S. W. (2020). Analisis Struktur Dinding Penahan Tanah pada Area Parkir Pascasarjana Universitas Lancang Kuning Pekanbaru. *Siklus : Jurnal Teknik Sipil*, 6(1), 67–74. <https://doi.org/10.31849/siklus.v6i1.3215>
- Perko, H. A., & Boulden, J. J. (2008). Lateral Earth Pressure on Lagging in Soldier Pile Wall Systems. *DFI Journal - The Journal of the Deep Foundations Institute*, 2(1), 52–60. <https://doi.org/10.1179/dfi.2008.006>
- Rifaldi, M. A., Priadi, E., Sipil, J. T., Teknik, F., Pontianak, U. T., Prodi, D., Sipil, T., Pontianak, U. T., & Lateral, D. (n.d.). *Studi Perilaku Deformasi Lateral Turap Di Angkur*. 1–9.
- Sorensen, K. K., Sorensen, K. K., & Okkels, N. (2013). *Correlation between drained shear strength and plasticity index of undisturbed overconsolidated clays Correlation between drained shear strength and plasticity index of undisturbed overconsolidated clays Corrélation entre la résistance au cisaillement et l'indice de plasticité des argiles surconsolidées non remaniées*. December, 423–428. <https://www.researchgate.net/publication/285583666>
- Suastino, I. M. S., Kuncoro, R. K., & Alifen, R. S. (2023). *Peranan Kontraktor dalam Pekerjaan Galian Tanah Basement terhadap Aspek Lingkungan*. 1–6.
- Wadino, F., Sentosa, G. S., & Iskandar, A. (2018). Analisis Deformasi Dinding Basement Pada Salah Satu Proyek Di Sudirman Menggunakan Metode Back Analysis Dari Hasil Monitoring. *JMTS: Jurnal Mitra Teknik Sipil*, 1(1), 251. <https://doi.org/10.24912/jmts.v1i1.2264>
- Zain, M. N. H., Ahmad, J., Ashaari, Y., Shaffie, E., & Mustaffa, N. K. (2011). Modelling of lateral movement in soft soil using hardening soil model. *Proceedings - 2011 UKSim 13th International Conference on Modelling and Simulation*, UKSim 2011, May 2019, 195–200. <https://doi.org/10.1109/UKSIM.2011.45>

LAMPIRAN 2

**DATA STANDARD PENETRATION TEST
(N-SPT)**



BORING LOG

Boring No. : DB-01

PROJECT : **BANGUNAN KAVLING S8**

CLIENT : *PT. Karya Sembilan Sahabat*

LOCATION : *Kavling 8, Gading Serpong*

DRILLER : *A. Supriadi*

DRILL RIG : AX - OP1

GROUND WATER TABLE : Initial  : -3,00 m

PROJECT NO. : *DCM.G.18 - 086*

TESTED DATE : *25 - 27 Desember 2018*

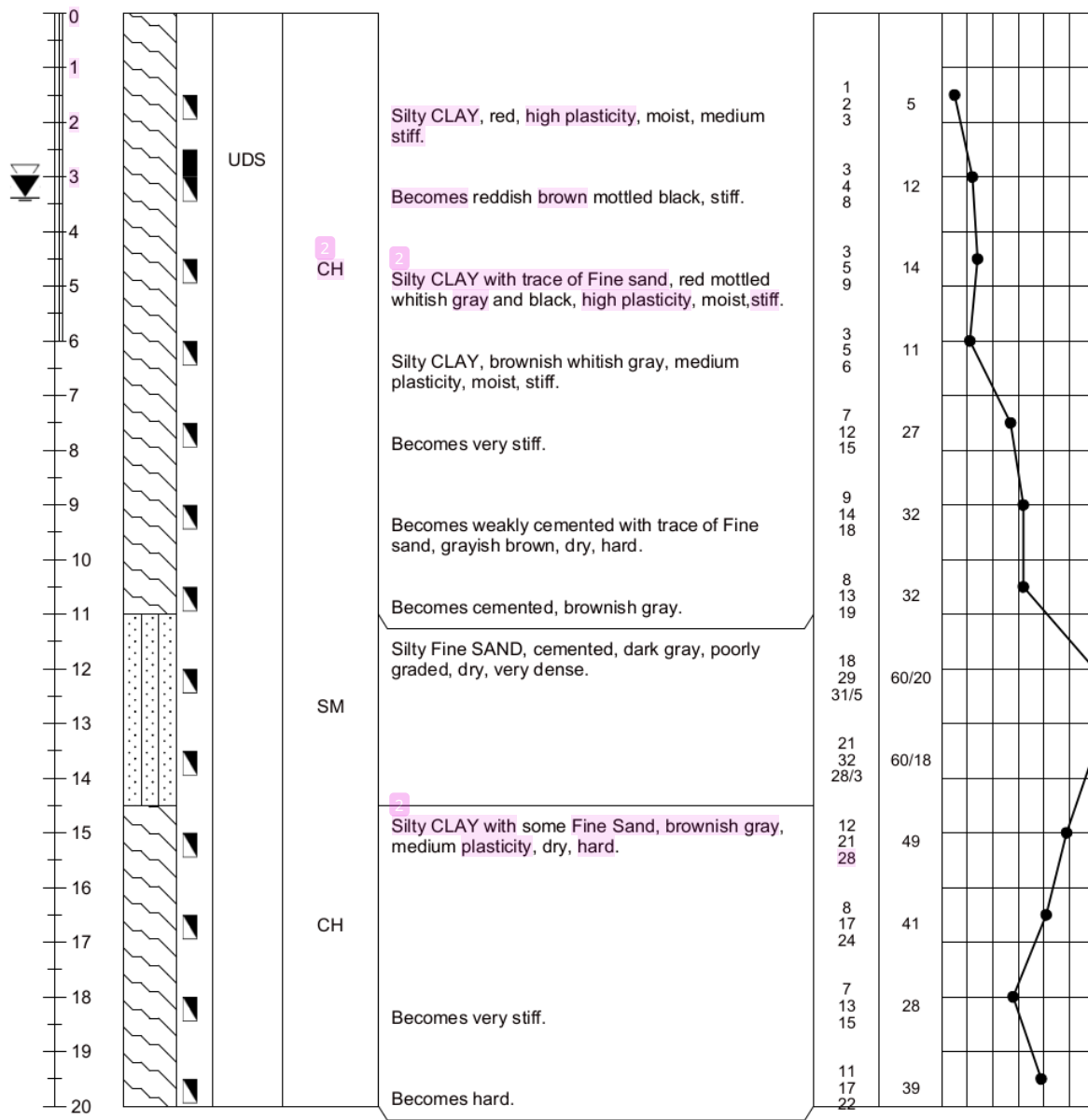
ELEVATION :

LOGGED BY : *IF*

BORING METHOD :*Rotary Core Drilling*

At Completion  : -3,20 m

ELEVATION/ DEPTH (m)	SOIL SYMBOLS, SAMPLERS AND TEST DATA	USCS	DESCRIPTION	N1	STANDARD PENETRATION TEST			
				N2	N3	N-SPT	10	30
0								
1								
2								
3								
4								
5								
6								
7								
8								
9								
10								
11								
12								
13								
14								
15								
16								
17								
18								
19								
20								



BORING LOG

Boring No. : DB-01

PROJECT : **BANGUNAN KAVLING S8**

CLIENT : **PT. Karya Sembilan Sahabat**

LOCATION : *Kavling 8, Gading Serpong*

DRILLER : *A. Supriadi*

DRILL RIG : AX - OP1

GROUND WATER TABLE : Initial  : -3,00 m

PROJECT NO. : **DCM.G.18 - 086**

TESTED DATE : **25 - 27 Desember 2018**

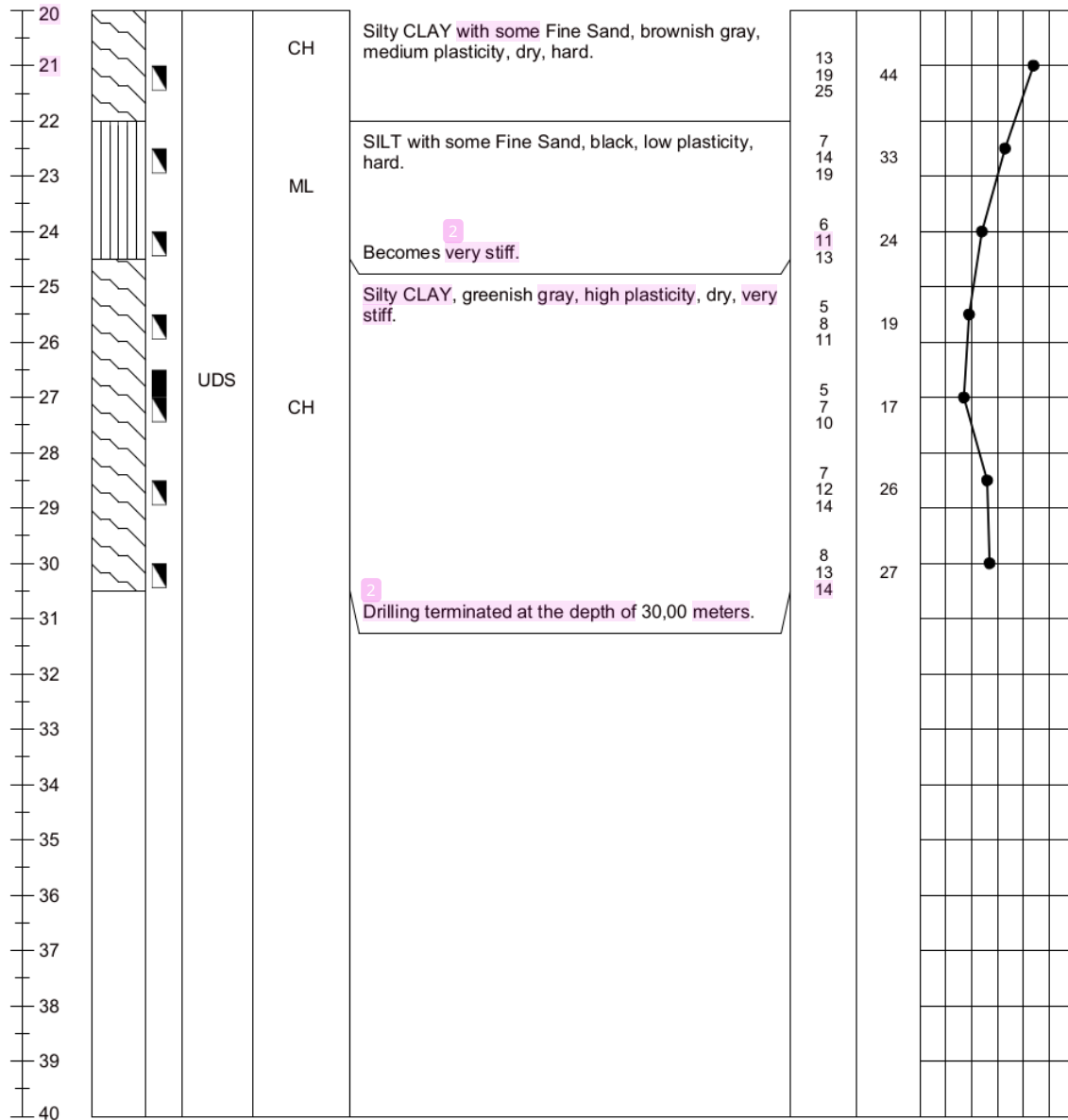
ELEVATION :

LOGGED BY : *IF*

BORING METHOD :*Rotary Core Drilling*

At Completion  : -3,20 m

ELEVATION/ DEPTH (m)	SOIL SYMBOLS, SAMPLERS AND TEST DATA	USCS	DESCRIPTION	N1	STANDARD PENETRATION TEST				
				N2	N3	N-SPT	10	30	50
20									
21									
22									
23									
24									
25									
26									
27									
28									
29									
30									
31									
32									
33									
34									
35									
36									
37									
38									
39									
40									



LAMPIRAN 3

DATA *TRIAXIAL TEST*

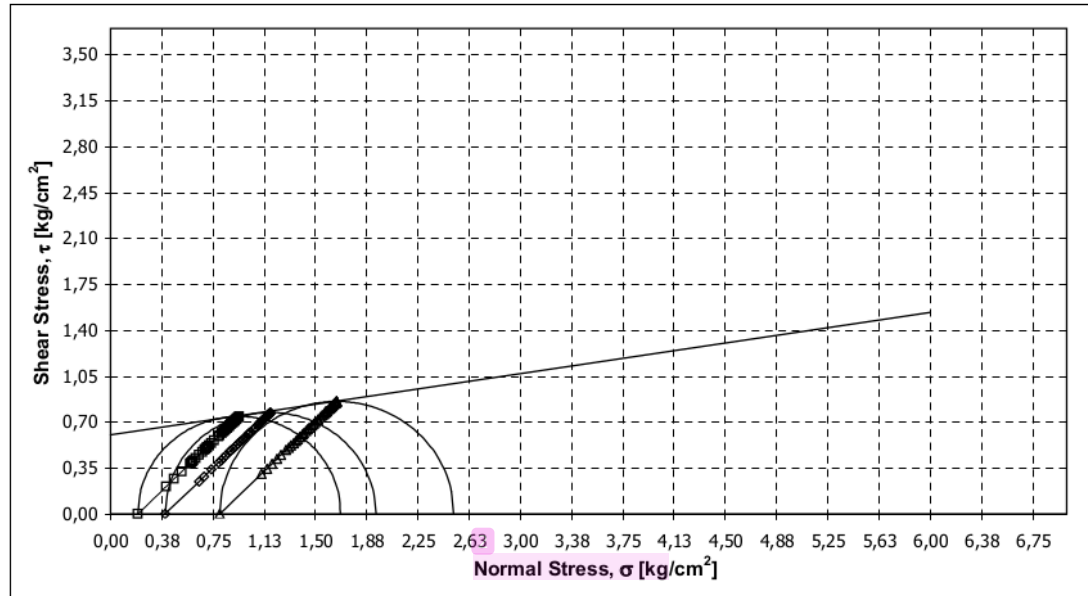
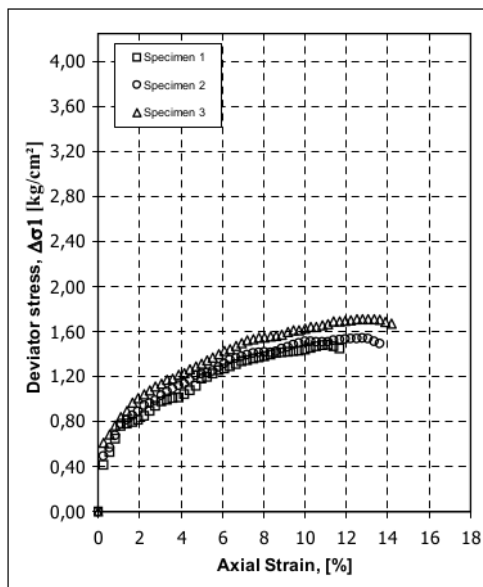


UU TRIAXIAL COMPRESSION TEST (ASTM D 2850)

Project No. :	DCM.G.18 - 086	Borehole :	DB - 01
Client :	PT. Karya Sembilan Sahabat	Depth (m) :	2,50 - 3,00
Project :	BANGUNAN KAVLING S8	Tested date :	10 Januari 2019
Location :	Kavling 8, Gading Serpong	Tested by :	Zaenuri
		Checked by :	Juweni

Soil Specimen No.	1	2	3
Bulk Density (KN/m ³)	16,62	16,64	16,65
Moisture content (%)	43,36	43,41	43,37
Dry Density (KN/m ³)	11,60	11,60	11,61
Specific Gravity	2,65	2,65	2,65
Void Ratio	1,24	1,24	1,24
Degree of Saturation (%)	92,65	92,83	92,92
Lateral Pressure (KN/m ²)	20	40	80
Deviator Stress (KN/m ²)	148,48	154,32	171,32
Strain (%)	11,11	12,78	13,33

Cohesion, c (kg/cm ²)	0,60
Internal angle of friction, ϕ (°)	8,87



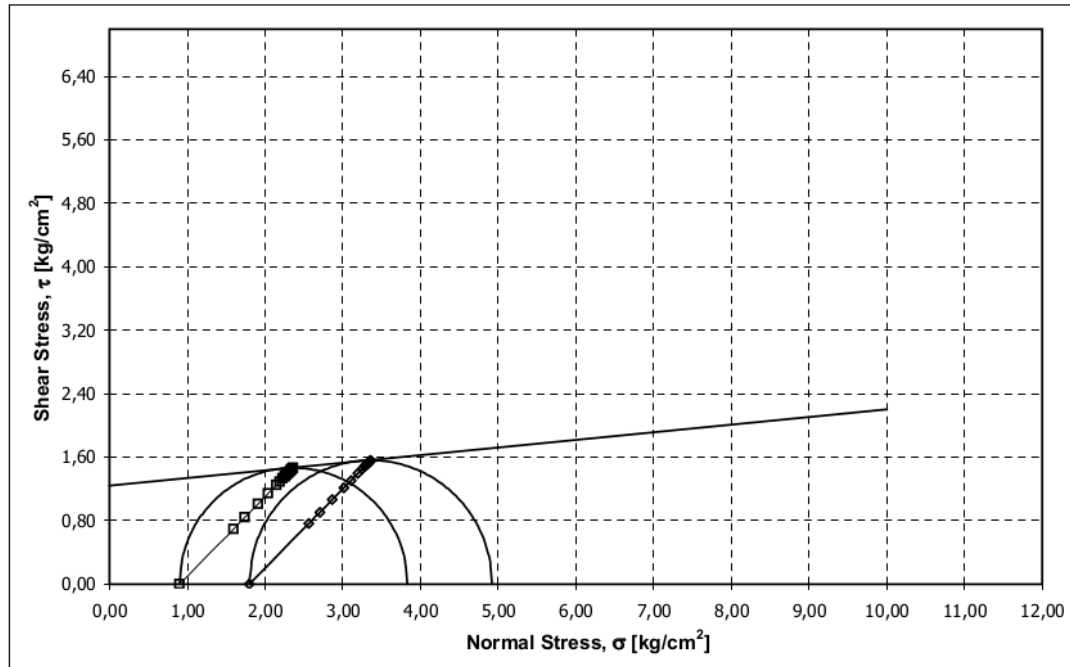
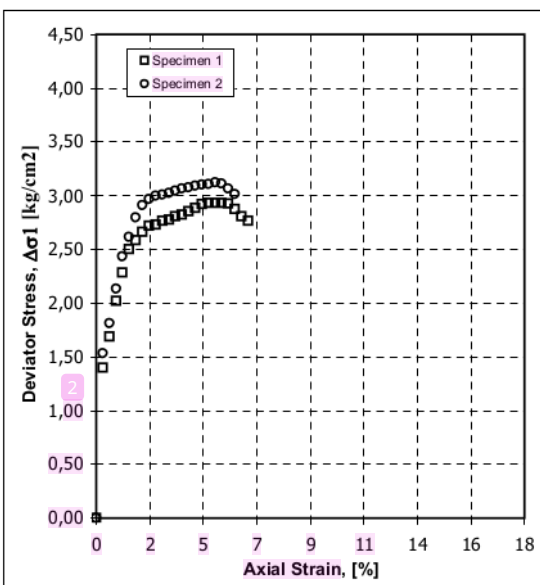


UU TRIAXIAL COMPRESSION TEST (ASTM D 2850)

Project No.	: DCM.G.18 - 086	Borehole	: DB - 01
Client	: PT. Karya Sembilan Sahabat	Depth (m)	: 26,50 - 27,00
Project	: BANGUNAN KAVLING S8	Tested date	: 10 Januari 2019
Location	: Kavling 8, Gading Serpong	Tested by	: Zaenuri
		Checked by	: Juweni

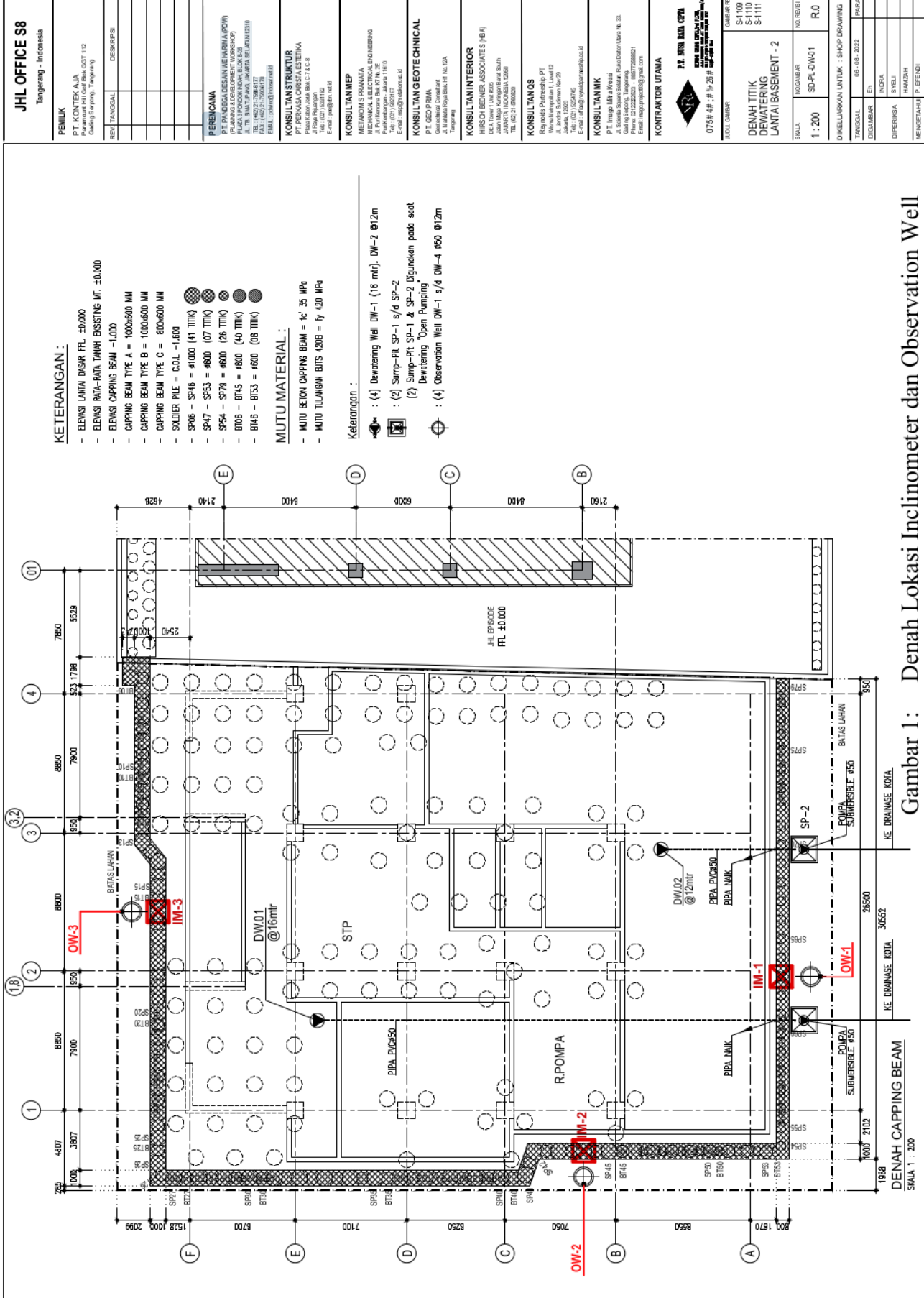
Soil Specimen No.	1	2
Bulk Density (KN/m ³)	16,86	16,87
Moisture content (%)	40,75	40,47
Dry Density (KN/m ³)	11,98	12,01
Specific Gravity	2,69	2,69
Void Ratio	1,20	1,19
Degree of Saturation (%)	91,37	91,21
Lateral Pressure (KN/m ²)	90	180
Deviator Stress (KN/m ²)	293,27	312,28
Strain (%)	5,28	5,00

Cohesion, c (kg/cm ²)	1,25
Internal angle of friction, ϕ (°)	5,48



LAMPIRAN 4

DATA PEMBACAAN *INCLINOMETER*



Gambar 1 : Denah Lokasi Inclinometer dan Observasi Wadah

Inclinometer IM-3 (@Soldier Pile; L=15.0 m)

Hasil monitoring & kondisi galian dari IM-3 dapat dilihat pada **Gambar 3A – 3C** dan dirangkum pada tabel berikut ini:

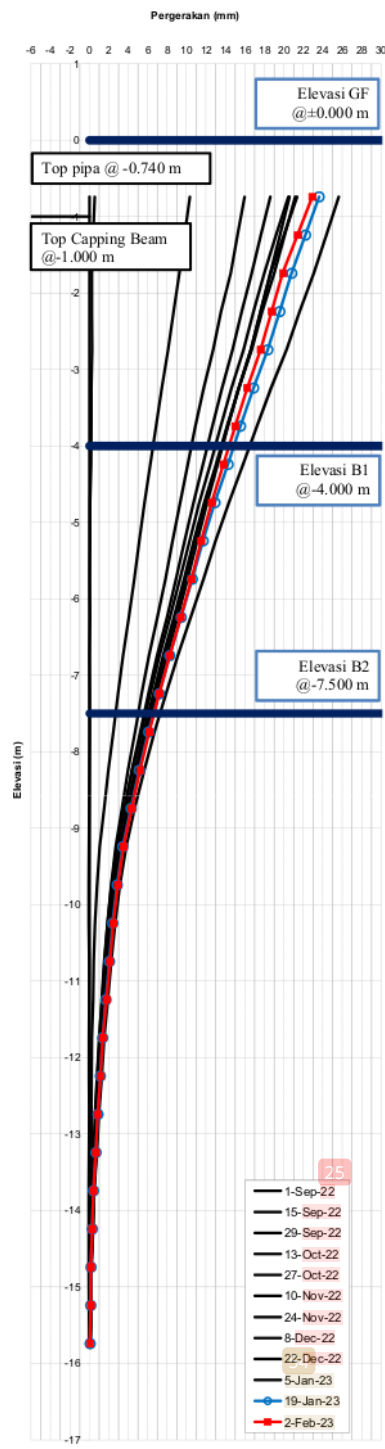
Kunjungan ke-	Tanggal Test	Elev Galian (m)	Pergerakan dari pembacaan sebelumnya (mm)	Kumulatif pergerakan dari base reading (mm)
1	1 September 22	-1.600	BASE READING	
2	15 September 22		0.54	0.54
3	29 September 22	-8.500	9.79	10.33
4	13 Oktober 22	Berm @-8.650 m Dasar Galian @-10.650 m	5.63	15.96
5	27 Oktober 22		2.65	18.61
6	10 November 22		1.85	20.46
7	24 November 22	B2 (@-7.500)	0.90	21.36
8	8 Desember 22		-0.77	20.59
9	22 Desember 22	B2 (Ruang Mesin) (@-6.000)	0.59	21.18
10	5 Januari 23	B1 (@-4.000)	4.47	25.65
11	19 Januari 23	B1 (@-4.000)	-2.04	23.61
12	2 Februari 23	GF (@±0.000)	-0.68	22.93

Catatan: El. Top Pipa = -0.740 m

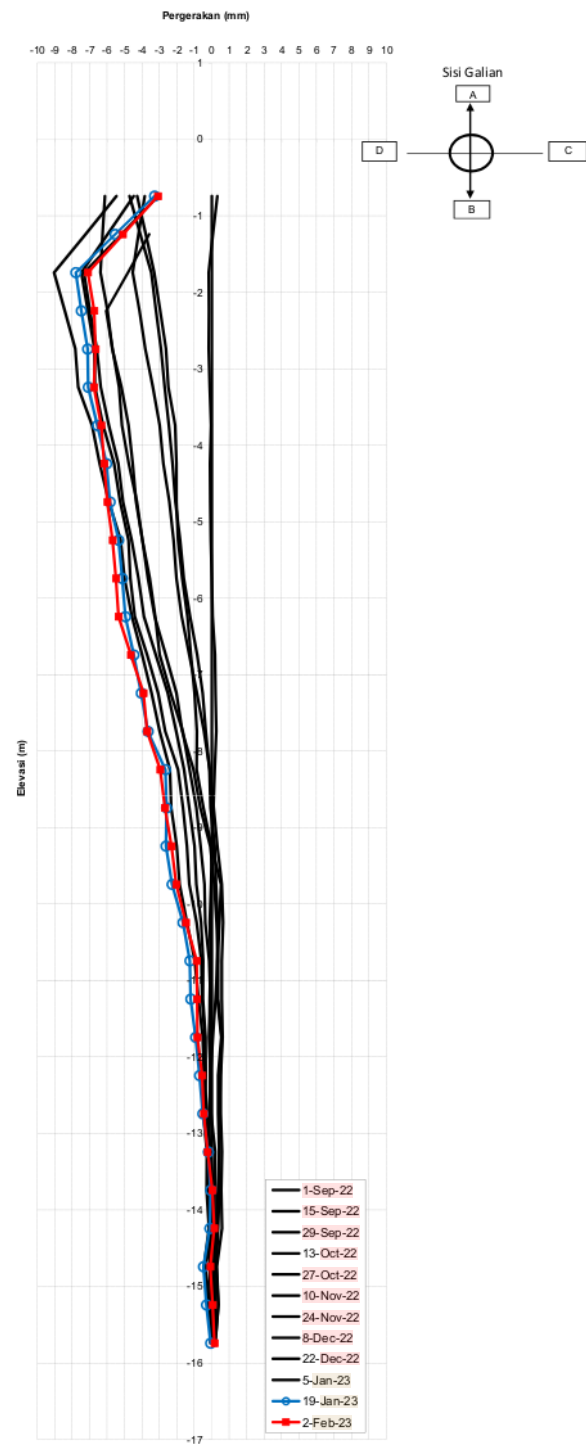
El. Top Capping Beam = -1.000 m

Observation Well

Pembacaan fluktuasi muka air tanah pada kunjungan 2 Februari 2023 diukur dengan water level meter pada (2) observation well (OW-2 & OW-3). Hasil pembacaan selengkapnya dapat dilihat pada tabel berikut serta **Gambar 4**.



GAMBAR 3A: PERGERAKAN KUMULATIF PADA IM-3
(FACE A-B)



GAMBAR 3B: PERGERAKAN KUMULATIF PADA IM-3
(FACE C-D)



Gambar 3C: Kondisi Lapangan dari IM-3

LAMPIRAN 5

POTONGAN GALIAN

JHL OFFICE S8

Tangerang, Indonesia

PEMILIK
PT. KONTEK AJA
Paterson Hill Global Consulting
Gedung Sepiring, lantai 112

REV. TANGGAL

DESCRIPSI

PERENCANA

PT. PANDEGA DESAIN YEHARINA (PDY)
(PLANNING & DESIGN WORKSHOP)
PLAZA FONDO INDIA, BLOCK B4B
JL. TANAH KARANG RAYA, KOTA BEKASI 17120
Telp: +62 21 29961777
FAX: +62 21 29961778
Email: pdy.india@gmail.com

KONSULTAN STRUKTUR

PT. PERUSA CADAS ASTERA
P.T. PERUSA CADAS ASTERA
Jl. Raya Pengalengan
Perumahan Bintaro Jaya Cilandak
Jl. Raya Pengalengan
Kota Bintaro Jaya Cilandak
Telp: (021) 5331192
Email: psc@ptpsc.id

KONSULTAN MEKP

MEI KOKO'S PLANTIA
PT. MEI KOKO'S PLANTIA
Jl. Raya Pengalengan
Kota Bintaro Jaya Cilandak
Telp: 021-5331192

KONSULTAN GEOTECHNICAL

PT. GEO PRIMA
Geotechnical Consultant
A. Makassar Regency Block H No. 12A
Tangerang

KONSULTAN INTERIOR

HIRSCH REINER ASSOCIATES (HRA)
DEA Tower 1 Unit 406
Jalan Mayapuri Raya Blok D 20
Kawasan Mayapuri, Jakarta Selatan 12950
Telp: 021-5331192

KONSULTAN QS

Rivayda Partnership PT
Wulan Margonan / Lantai 2C
A. Jendral Sudirman No. 29
Telp: 021-5331192

KONTRAKTOR UTAMA

PT. NUSA RAYA CITTA

NUSA RAYA CITTA
Jl. Raya Manggarai No. 12
Gedung Binaan Nusa Raya
Phone: 021-22222252 - 0817-2268821
Email: nusacittra-project@gmail.com

DIREKLARAKAN UNTUK : SHOP DRAWING

TANGGAL

04-08-2022

PARKA

DIGABAR

AUFI

INDRA

SYELI

HANIZAM

MERGE DANU

DI BERPENGARUH

NO. JENIS

R.O

998

26500 30599 2101 1988

2756 800 1699 8550 8550 7050 6250 7100 6700 4807 3807 1000 2099

1000 1699 8550 8550 7050 6250 7100 6700 4807 3807 1000 2099

1000 1699 8550 8550 7050 6250 7100 6700 4807 3807 1000 2099

1000 1699 8550 8550 7050 6250 7100 6700 4807 3807 1000 2099

1000 1699 8550 8550 7050 6250 7100 6700 4807 3807 1000 2099

1000 1699 8550 8550 7050 6250 7100 6700 4807 3807 1000 2099

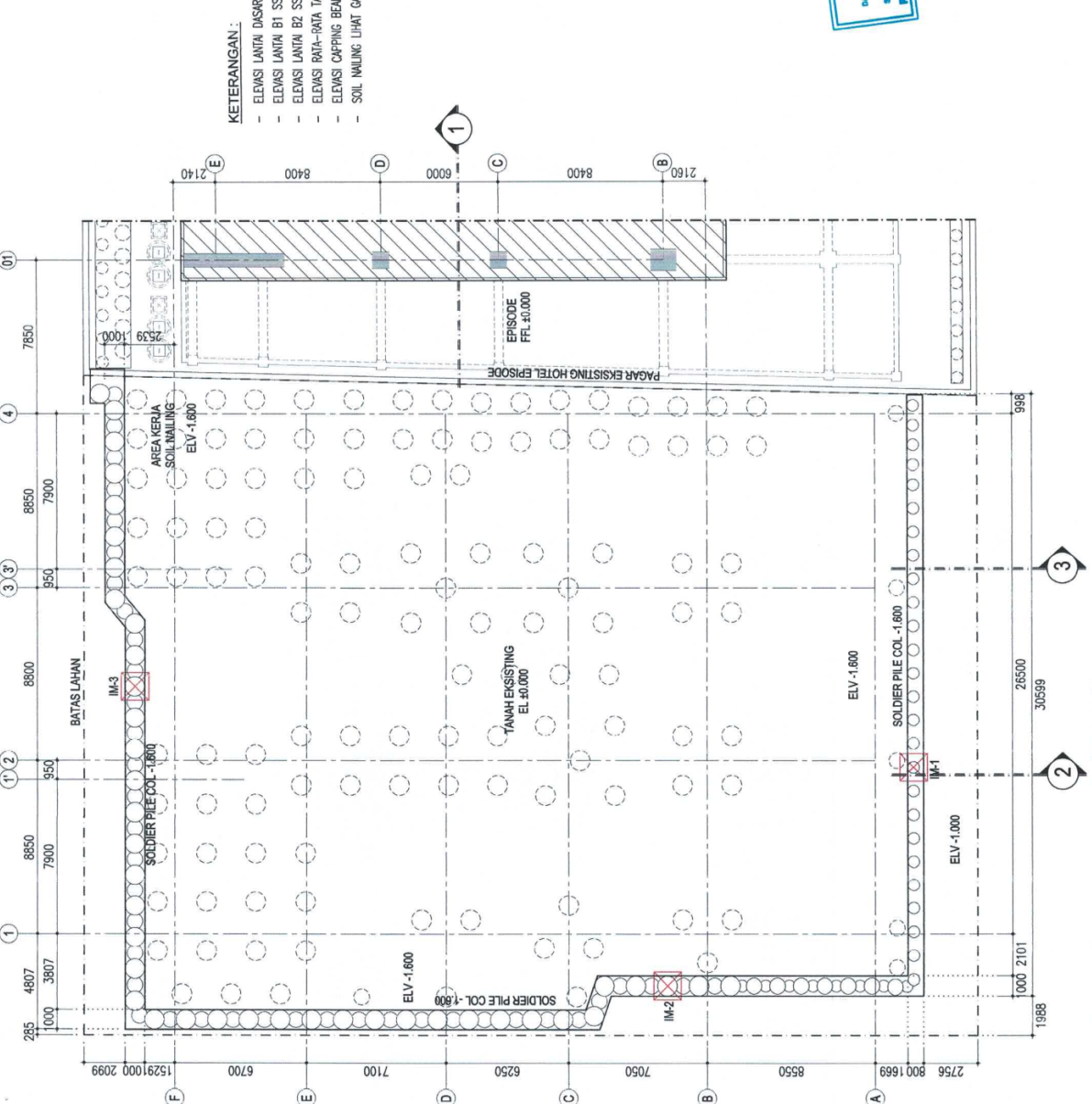
1000 1699 8550 8550 7050 6250 7100 6700 4807 3807 1000 2099

1000 1699 8550 8550 7050 6250 7100 6700 4807 3807 1000 2099

1000 1699 8550 8550 7050 6250 7100 6700 4807 3807 1000 2099

1000 1699 8550 8550 7050 6250 7100 6700 4807 3807 1000 2099

1000 1699 8550 8550 7050 6250 7100 6700 4807 3807 1000 2099



DENAH GALIAN (TANAH EKSISTING)
SKALA 1:200

JHL OFFICE S8

Tangerang - Indonesia

PENULIS	
PT. KONTEK ALI P. T. KONTEK ALI P. T. KONTEK ALI Gading Serpong, Tangerang	GADING SERPONG, TANGERANG

REV

TANGGAL

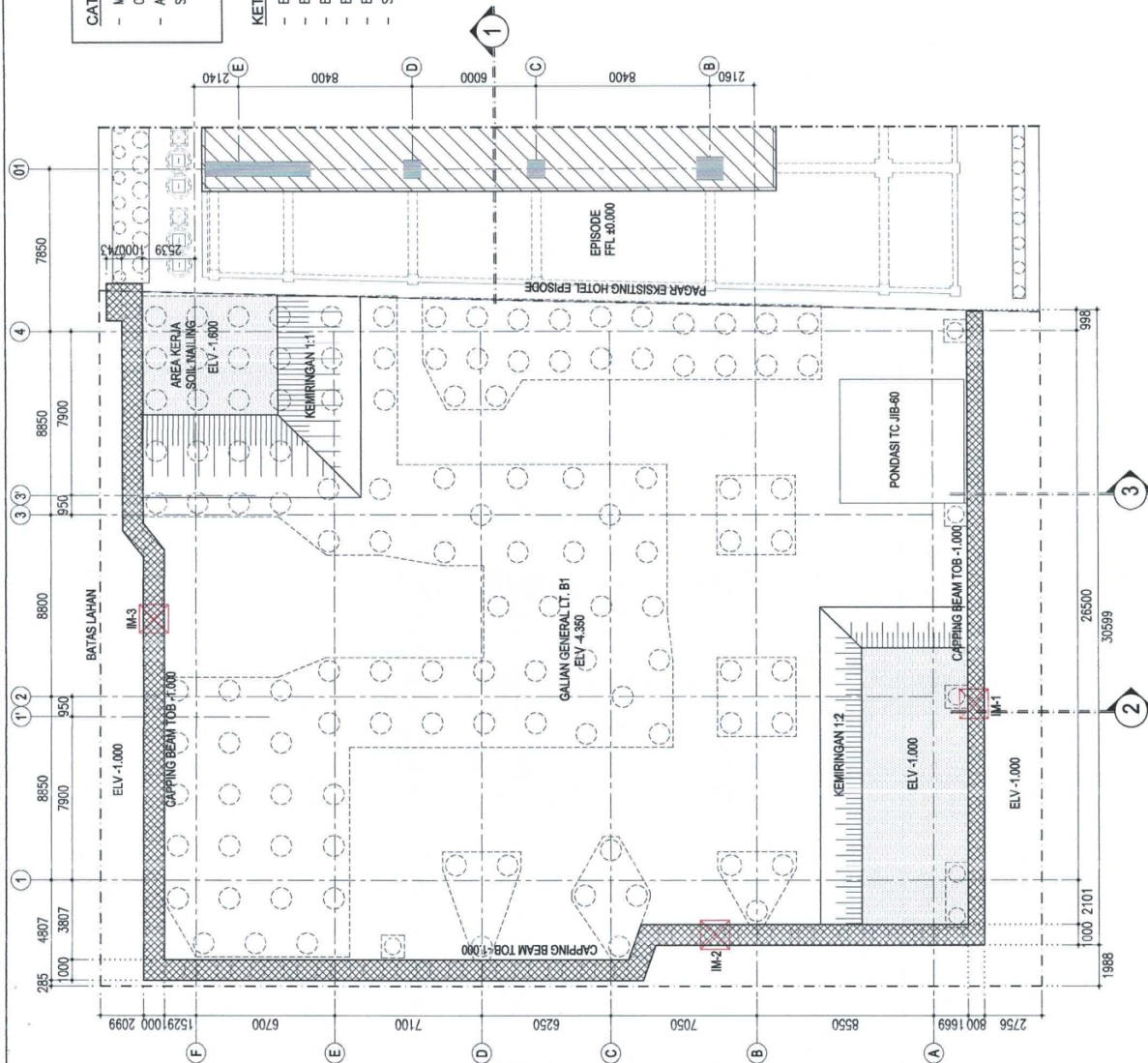
DESKRISI

PERENCANA	PT. PANDEGA DESAIN WIDHARMA (PWD) PLANNING & DEVELOPMENT WORKSHOP
A. TB. SANTIPANCA, JLN. MARITA, BEJATAN 1230	TE : +62 21-39840777
FAX : +62 21-39840777	E-mail : pws@pwsidn.com
KONSULTAN STRUKTUR	PT. PERKASA CARITA STTIMA
	Ptza. Adon Jel. Bsd C7 A-C8
	A Rayas Pratama A Rayas Pratama No. 10, RT. 001, RW. 001 E-mail : rmp@perkascarita.co.id
KONSULTAN GEOTECHNICAL	PT GEO PRIMA
	Perbaungan Raya Blok H No. 12A Tangerang
KONSULTAN MEKP	HIRSCH BEINER ASSOCIATES (HBA)
	DEA Tower Lt. 606 Jl. P. Ramli No. 12 Jakarta, Indonesia 12650
	TEL: +62 21-590000
KONSULTAN QS	Rajayasa Partnership PT
	Jl. Raya Palmerah Barat No. 12 A. Palmerah Selatan Jakarta 12000 Telepon : (021) 52446428 E-mail : rajayasa@rajayasa-indo.com
KONTRAKTOR UTAMA	P.T. NUSA RAYA CITTA
	PT. Imago Mitra Kreasi
	Denah Galan (Safety Excavation - Alt.1)
	Skala 1 : 200

CATATAN :
- METODE INI DIWAKILKAN JIKA PELAKUANAN SCHEDULE PEKERJAAN
- CAPPING BEAM SUDAH SELESA TERLEBIH DAULU
- AREA KERIA SOIL NAILING, AKAN DIGALI PER LAYER MENGIKUTI STEP PEKERJAAN
SOIL NAILING DAN SHOTCRETE

KETERANGAN :

- ELEVASI LANTAI DASAR SSL -0.050
- ELEVASI LANTAI B1 SSL -4.050
- ELEVASI LANTAI B2 SSL -8.050
- ELEVASI RATA-RATA TANAH EXISTING MT ±0.000
- ELEVASI CAPPING BEAM TOB -1.000
- SOIL NAILING LIHAT GAMBAR DETAIL



SDS / NO. DESAIN	SDS / NO. DESAIN	SDS / NO. DESAIN
1:200	SDS / 02B	R.0
		DIRELAKUKAN UNTUK : SHOP DRAWING
TANGGAL		04 - 08 - 2022
DISAMBAR	AUF	PARAS
		AN
		INDRA
		SYEELI
		HAMZAH
		MENGETAHUI : BENDI

JHL OFFICE S8

Tangerang - Indonesia

PEMWIK

PT. KONTEK ALI
Jl. Puri Indah Raya No. 112
Garden Serpong, Tangerang
REV. TANGGAL

DESKRIPSI

PERENCANA

PT. PANDEA DESAIN YEHARINA (PDY)
(PLANNING & DEVELOPMENT WORKSHOP)
JL. SRIWIJIJA NO. 10A
KOTA BANDUNG 40132
TEL: +62 21-35040777
FAX: +62 21-35040777
E-MAIL: pdy@pdyarch.com.id

KONSULTAN STRUKTUR

PT. PERKASA CARIS & STETIKA
Plaza Adira Jl. Raya Pengalengan
Jl. Raya Pengalengan
No. 102, 103, 104
E-mail: pric@pricarch.com

KONSULTAN MEP

METRONIC S PRIMATA
MECHANICAL, ELECTRICAL, ENGINEERING
Jl. Perkantoran Blok X7, 2E
No. 102, 103, 104
Telp: +62 21-5100000
E-mail: mep@metronic.com.id

KONSULTAN GEOTECHNICAL

PT. GEO PRIMA
Geotechnical Consultant
Tangerang
Jl. Raya Pengalengan No. 12A

KONSULTAN INTERIOR

HIRSCH BECKER ASSOCIATES (HBA)
DEA Tower 1 Unit 605
Jl. Raya Pengalengan No. 12A
Telp: +62 21-5100000
Fax: +62 21-5100000
E-mail: office@hbarch.com.id

KONSULTAN QS

Riyadha Partnership PT
Wilson Marpatih 1, Unit 12
Jl. Raya Pengalengan No. 12A
Telp: +62 21-5104145
Fax: +62 21-5104145
E-mail: office@riyadha-partnership.co.id

KONTRAKTOR UTAMA

PT. NUSA RAYA CITA
A. Sariya Surya Satya, Balai Dalem, Umar No. 33,
Quarry Service, Tangerang
Phone: 02122225200 - 02122225201
Email: nrc@nusaraya-cita.com

GAMBAR REFERENSI

POTONGAN 1
(TANAH EKSISTING)

NUSA RAYA CITA
JUDUL GAMBAR

POTONGAN 1
(TANAH EKSISTING)

S-101
S-1101
S-1112
S-1120

SDS - 02.1

R.0

NO. REVISI

1:200

DIREKLARASI UNTUK SHOP DRAWING

TANGGAL

04/08/2022

PABAR

AJIE

INDRA

SYELI

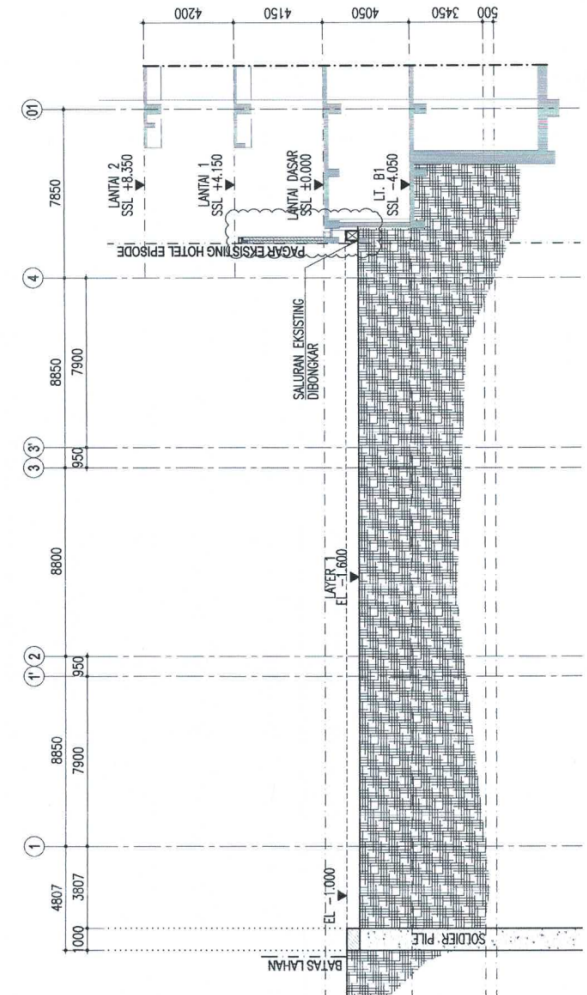
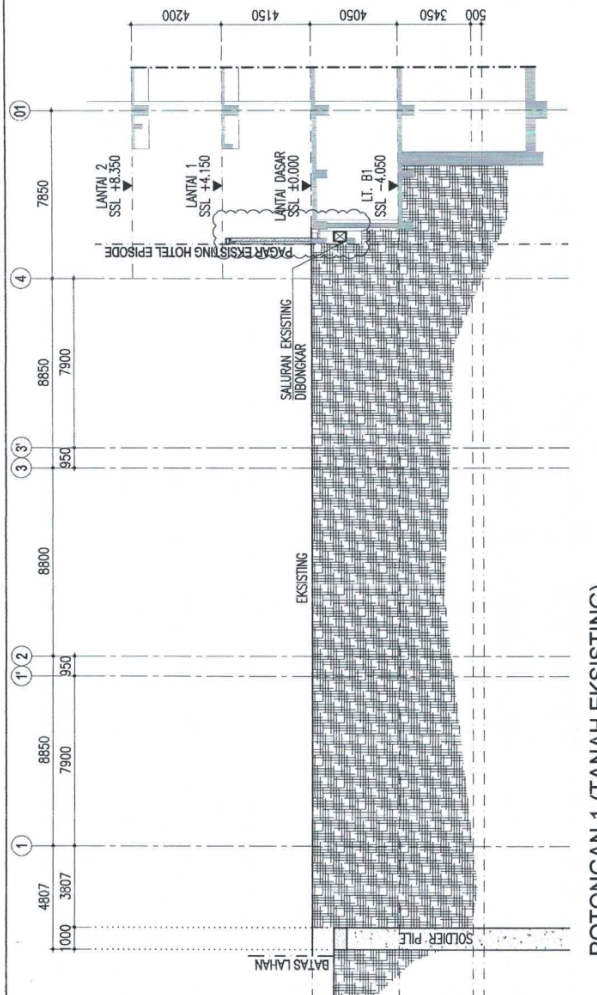
HANZAH

FATIH

MENGETAHUI

P. FENDI

✓



JHL OFFICE S8

Tangerang Indonesia

PENILIK
PT. KONTEK AJA
Patungan Hil Gejayan
Gedung Sepatu, lantai 112

REV: TANGGAL: DESKRIPSI:

PERENCANAAN
PT. PANDEGA DESAIN YEHARINA (PDW)
(PLANNING & DEVELOPMENT WORKSHOP)
PLAZA FUNDOK RUMAH BLOK B46
JL. TB. SIMO NO. 125
TLP. (021) 21298477
FAX. (021) 21298478
EMAIL: pdwdesign@pdw.co.id

KONSULTAN STRUKTUR
PT. PROGRESSA CASSIKA STETIKA
Pura Sambu Jaya Blok G-54
Jl. Raya Pengarungan - Jakarta 11010
Telepon (021) 5331156
Email: sambukassika@gmail.com

KONSULTAN MEP
MEKANIKS PRANATA
Mechanical Electrical Engineering
Jl. Pakuan Baru RT No. 2E
Puri Karawaci - Jakarta 11010
Telepon (021) 5331156
Email: mekanikspranata@gmail.com

KONSULTAN GEOTECHNICAL
PT. GEO PRIMA
Geotechnical Consultant
4 Nusantara Rayap Bld. H No. 12A
Tangerang

KONSULTAN INTERIOR
HIRSCH BECKER ASSOCIATES (HBA)

RAYDHO PARTHENY
PT. RAYDHO PARTHENY
Wilma Mampenan 1 Lt 2
Jl. Wilma Mampenan
Kota Tangerang Selatan
Telp. (021) 5200200
Tele. (021) 52024745
Email: office@raydho-parteny.co.id

KONTRAKTOR UTAMA

PT. NUSA RAYA CITA
Jl. Raya Cilegon Km 12
Kecamatan Cilegon Selatan
Banten
Phone: 021-22225252 - 0857-250001
Email: nrcitra@indogmail.com

JUDUL GAMBAR

POTONGAN 2 (SAFETY EXCAVATION - ALT.2)
S-101
S-1112
S-1120

SKALA

NO. REVISI

TANGGAL

PABAR

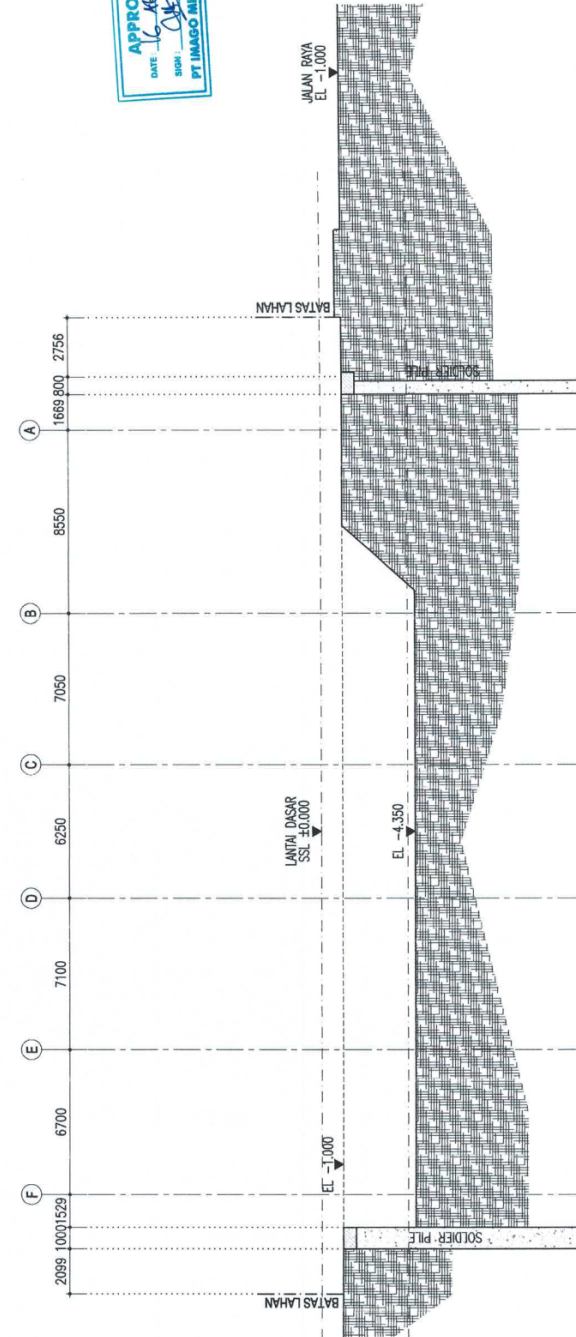
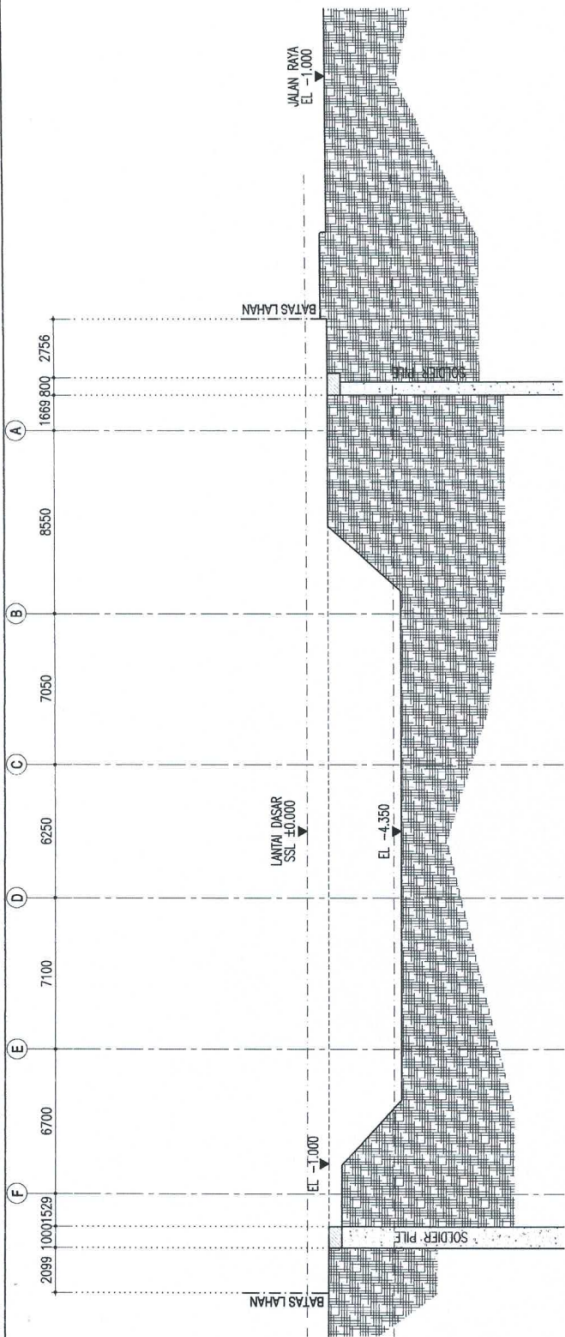
DIAMBAR

INDRA

SYELI

HAMZAH

MINGGUANAH P. BENDI



JHL OFFICE S8

Tangerang - Indonesia

PEMILIK

PT. KONTEK AJA,
Paramanti Hill Ged Blok CG112
Gading Serpong, Tangerang

REV | TANGGAL | DESKRIPSI

PERENCANA

PT. RANCAGE DESA INIHEMARINA (PWI)
PLANNING & DESIGN WORKSHOP
PLAZA FONDOK RAYA, BLOCK A/B
JL. SMANIS PRAWI, JAKARTA SELATAN 12110
TEL: +62 21 2984 878
FAX: +62 21 2984 879
EMAIL: pwi@planninganddesign.com.id

KONSULTAN STRUKTUR

PT. PERNAKA CARIA STASTIKA
Jl. Raya Cikarang Selatan Km 12 No. 10
Kec. Cikarang Selatan, Kab. Bekasi 17101
Tel: (021) 5331182
Email: pncs@indosat.net.id

KONSULTAN GEOTECHNICAL

PT. GEO PRIMA
Geotechnical Consultant
Jl. Matreza Raya Blok H No. 12A
Tangerang

KONSULTAN INTERIOR

HIRSCH BEINER & ASSOCIATES (HBA)
Republik Persekutuan
DCA A 11466
Jalan Mayang Kuningan Barat 29B
Jakarta, Indonesia 12990
TE: +62 21 45024245

KONSULTAN QS

Represa Partnership PT
Wulan Mandarin 1 Lt. 12
A. Jl. Jendral Sudirman Km 28
Kota Administrasi Jakarta Selatan
Telp: 021 5312 8245
Email: office@represa-partnership.com.id

KONTRAKTOR UTAMA

PT. INDO ALTA KRISTI
Sektor Bisnis Infrastruktur
Selamat Setia Pratama
Cipta Karya
Phone: 021 22222523 - 0813 7888821
Email: Indoalta@indoalta.com

POTONGAN 2 (FINISH/DASAR GALLIAN)

SKALA 1 : 200

APPROVED
DATE: 16-12-13.
SIGN:

PT. INDO ALTA KRISTI

POTONGAN 2

FINISH

DASAR GALLIAN

16-12-13.

PT. INDO ALTA KRISTI

APPROVED

DATE:

16-12-13.

SIGN:

PT. INDO ALTA KRISTI

POTONGAN 2

FINISH

DASAR GALLIAN

16-12-13.

PT. INDO ALTA KRISTI

APPROVED

DATE:

16-12-13.

SIGN:

PT. INDO ALTA KRISTI

POTONGAN 2

FINISH

DASAR GALLIAN

16-12-13.

PT. INDO ALTA KRISTI

APPROVED

DATE:

16-12-13.

SIGN:

PT. INDO ALTA KRISTI

POTONGAN 2

FINISH

DASAR GALLIAN

16-12-13.

PT. INDO ALTA KRISTI

APPROVED

DATE:

16-12-13.

SIGN:

PT. INDO ALTA KRISTI

POTONGAN 2

FINISH

DASAR GALLIAN

16-12-13.

PT. INDO ALTA KRISTI

APPROVED

DATE:

16-12-13.

SIGN:

PT. INDO ALTA KRISTI

POTONGAN 2

FINISH

DASAR GALLIAN

16-12-13.

PT. INDO ALTA KRISTI

APPROVED

DATE:

16-12-13.

SIGN:

PT. INDO ALTA KRISTI

POTONGAN 2

FINISH

DASAR GALLIAN

16-12-13.

PT. INDO ALTA KRISTI

APPROVED

DATE:

16-12-13.

SIGN:

PT. INDO ALTA KRISTI

POTONGAN 2

FINISH

DASAR GALLIAN

16-12-13.

PT. INDO ALTA KRISTI

APPROVED

DATE:

16-12-13.

SIGN:

PT. INDO ALTA KRISTI

POTONGAN 2

FINISH

DASAR GALLIAN

16-12-13.

PT. INDO ALTA KRISTI

APPROVED

DATE:

16-12-13.

SIGN:

PT. INDO ALTA KRISTI

POTONGAN 2

FINISH

DASAR GALLIAN

16-12-13.

PT. INDO ALTA KRISTI

APPROVED

DATE:

16-12-13.

SIGN:

PT. INDO ALTA KRISTI

POTONGAN 2

FINISH

DASAR GALLIAN

16-12-13.

PT. INDO ALTA KRISTI

APPROVED

DATE:

16-12-13.

SIGN:

PT. INDO ALTA KRISTI

POTONGAN 2

FINISH

DASAR GALLIAN

16-12-13.

PT. INDO ALTA KRISTI

APPROVED

DATE:

16-12-13.

SIGN:

PT. INDO ALTA KRISTI

POTONGAN 2

FINISH

DASAR GALLIAN

16-12-13.

PT. INDO ALTA KRISTI

APPROVED

DATE:

16-12-13.

SIGN:

PT. INDO ALTA KRISTI

POTONGAN 2

FINISH

DASAR GALLIAN

16-12-13.

PT. INDO ALTA KRISTI

APPROVED

DATE:

16-12-13.

SIGN:

PT. INDO ALTA KRISTI

POTONGAN 2

FINISH

DASAR GALLIAN

16-12-13.

PT. INDO ALTA KRISTI

APPROVED

DATE:

16-12-13.

SIGN:

PT. INDO ALTA KRISTI

POTONGAN 2

FINISH

DASAR GALLIAN

16-12-13.

PT. INDO ALTA KRISTI

APPROVED

DATE:

16-12-13.

SIGN:

PT. INDO ALTA KRISTI

POTONGAN 2

FINISH

DASAR GALLIAN

16-12-13.

PT. INDO ALTA KRISTI

APPROVED

DATE:

16-12-13.

SIGN:

PT. INDO ALTA KRISTI

POTONGAN 2

FINISH

DASAR GALLIAN

16-12-13.

PT. INDO ALTA KRISTI

APPROVED

DATE:

16-12-13.

SIGN:

PT. INDO ALTA KRISTI

POTONGAN 2

FINISH

DASAR GALLIAN

16-12-13.

PT. INDO ALTA KRISTI

APPROVED

DATE:

16-12-13.

SIGN:

PT. INDO ALTA KRISTI

POTONGAN 2

FINISH

DASAR GALLIAN

16-12-13.

PT. INDO ALTA KRISTI

APPROVED

DATE:

16-12-13.

SIGN:

PT. INDO ALTA KRISTI

POTONGAN 2

FINISH

DASAR GALLIAN

16-12-13.

PT. INDO ALTA KRISTI

APPROVED

DATE:

16-12-13.

SIGN:

PT. INDO ALTA KRISTI

POTONGAN 2

FINISH

DASAR GALLIAN

16-12-13.

PT. INDO ALTA KRISTI

APPROVED

DATE:

16-12-13.

SIGN:

PT. INDO ALTA KRISTI

POTONGAN 2

FINISH

DASAR GALLIAN

16-12-13.

PT. INDO ALTA KRISTI

APPROVED

DATE:

16-12-13.

SIGN:

PT. INDO ALTA KRISTI

POTONGAN 2

FINISH

DASAR GALLIAN

16-12-13.

PT. INDO ALTA KRISTI

APPROVED

DATE:

16-12-13.

SIGN:

PT. INDO ALTA KRISTI

POTONGAN 2

FINISH

DASAR GALLIAN

16-12-13.

PT. INDO ALTA KRISTI

APPROVED

DATE:

16-12-13.

SIGN:

PT. INDO ALTA KRISTI

POTONGAN 2

FINISH

DASAR GALLIAN

16-12-13.

PT. INDO ALTA KRISTI

APPROVED

DATE:

16-12-13.

SIGN:

PT. INDO ALTA KRISTI

POTONGAN 2

FINISH

DASAR GALLIAN

16-12-13.

PT. INDO ALTA KRISTI

APPROVED

DATE:

16-12-13.

SIGN:

PT. INDO ALTA KRISTI

POTONGAN 2

FINISH

DASAR GALLIAN

16-12-13.

PT. INDO ALTA KRISTI

APPROVED

DATE:

16-12-13.

SIGN:

PT. INDO ALTA KRISTI

LAMPIRAN 6

**DENAH DAN DETAIL *CONTIGUOUS BORED
PILE***

JHL OFFICE S8

Tangerang - Indonesia

PEMILIK

PT. KONTENX JUA
Pavement Hall Gajah GGT 112
Gading Serpong, Tangerang

REV	TANGGAL	DESKRIPSI

PERENCANA

PT. PANDEGA DESAIN YEHARINA (PDY)
PANDEGA DEVELOPMENT AND CONSULTING
A. TB. SANTUTANG, JAKARTA SELATAN 12100
TEL: (+62-21) 2984077
FAX: (+62-21) 2984078
E-mail: pdy@pdydesign.com.id

KONSULTAN STRUKTUR

PT. PERUSA CARISI ASTERA
Plaza Adira Jl. Blok C 6-8
Ruko Adira Jl. Blok C 6-8
Telp: (+62-21) 5090016
E-mail: pdy@pdydesign.com.id

KONSULTAN GEOTECHNICAL

PT. NEFTON'S PRANITA
MECHANICAL & ELECTRICAL ENGINEERING
Perbaungan Blok K/12
Jl. Perbaungan Raya No. 1610
Telp: (+62-11) 820297
E-mail: nefton@nefton.com.id

KONSULTAN MEP

PT. GEO PRIMA
Graha Surya
Jl. Mahata Rego Blok H No. 12A
Tangerang

KONSULTAN INTERIOR

HIRSCH BEINER ASSOCIATES (HBA)
16A, Tower One
Lantai 16
Jl. Jendral Sudirman Kav. 2605
Telp: (+62-11) 5100000

KONSULTAN QS

Neyrohdo Pimpinan PT
Neyrohdo Pimpinan
Jl. Raya Serpong No. 12
Kota Serpong
Banten
No. (+62-21) 5264126
E-mail: neyrohdo@nayrohdo.co.id

KONTRAKTOR UTAMA

PT. NUSA RAYA CITRA
Jl. Raya Serpong No. 12
Kota Serpong
Banten
No. (+62-21) 5264126
E-mail: nrc@nrcgroup.com

KONSULTAN MK

PT. Imago Mitra Kusai
A. Sentral Square Station, Jl. Dahan Utara No. 31
Cikarang Selatan, Bekasi
Telp: (+62-21) 29862021 - 29862022
Email: imago@imago-indo.com

DOK. GAMBAR

GAMBAR SDS
S1108
S1111
S1111

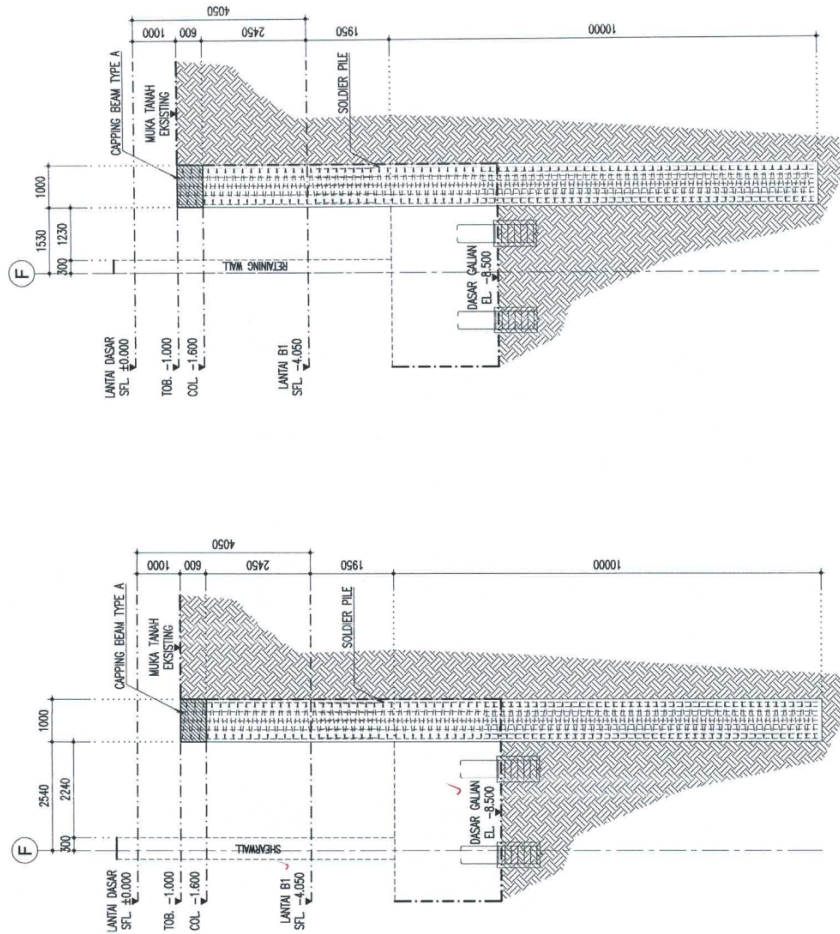
SDA

SDA
1:100
SDS-01B
R.0

DIREKSIARAN UNITK. SHOP DRAWING

TANGGAL	03 - 06 - 2022	PABRIK
DRAMABAR	A1F	
SIGN		
DEP/RSKA		
SEI/ELI		
HARIAZAH		
MENGETAHUI	P. JEFRIADI	-

APPROVED	
DATE	
SIGN	
PT. IMAGO M. KUSAI	



POTONGAN B
SKALA 1 : 100

POTONGAN A
SKALA 1 : 100

JHL OFFICE S8

Tangerang - Indonesia

2

PT. KONTEK AJA
Paramount Hill Golf & Blok OGT 112
Gading Serpong, Tangerang

PERENCANA
PT. PANDIKA DESAIN INGENIERIA (PDIW)
(PLANNING & DEVELOPMENT INGENIERIE) NO. 65
JL. SRI SAMBANG, JAKARTA SELATAN 12100
TELP. (+62 21) 7504-0177
FAX. (+62 21) 7504-0178
EMAIL : pdiw@jazztel.com

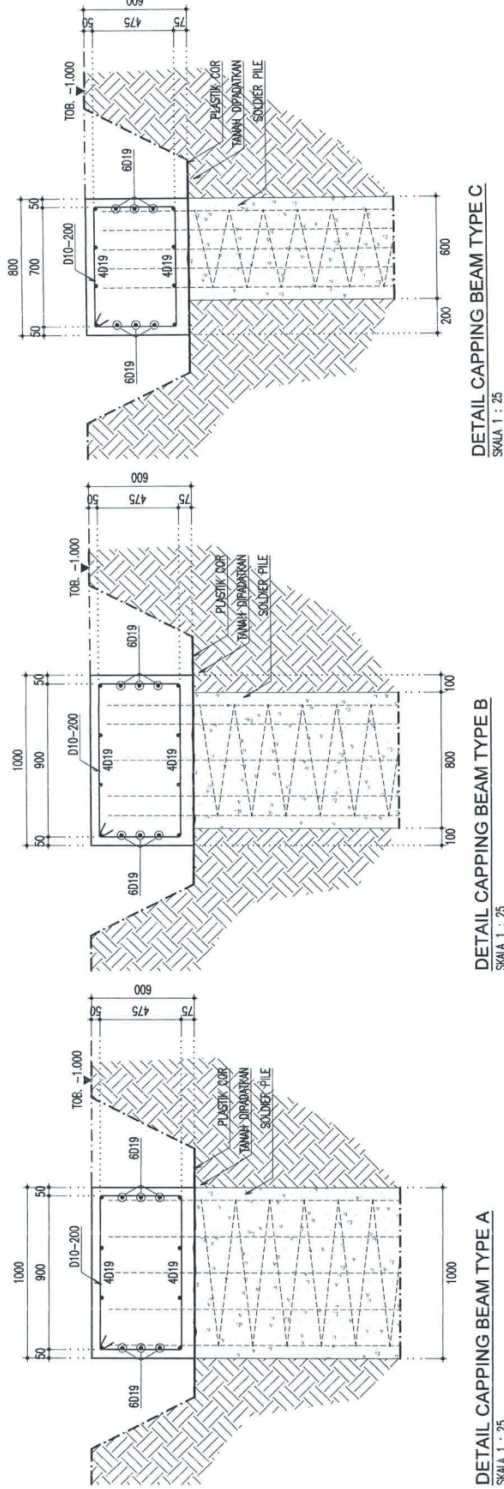
KONSULTASI STRUKTUR
PT. PERKASA CARIS STUDIO
Ruko Negeri Bina C-7 & C-8
Jl. Raya Palemring
Telp. (021) 5311112
E-mail : perkascaris@jazztel.com

KONSULTAN MEP
NETAKSON PRANATA
MECHANICAL, ELECTRICAL, ENGINEERING
14, Tanah Keroncong - Jakarta No. 126
Puncak Kembaran - Jakarta 11810
Telp : (021) 98231867
E-mail : mpg@netakson.com.id

KONSULTANT GEOTECHNICAL
PT. GEOPRIMA
Geotechnical Consultant
Jl. Malletta Raya Ht. No. 12A,
Tangerang

KONSULTAN INTERIOR
HERSCHEIDER ASSOCIATES (HBA)
Rosa - New York
Dora - London
Ulf - Berlin
JANARTY, INDONESIA 1989
TEL. (62) 2-575083
KONSULTAN GS
Ringdijk Pfeiferman PT
Jl. Marsepati I. Lot 12
A. J. Achief Sulman No. 26
Jakarta, 12920
Tel. (62) 2-5745746
E-mail: office@ringdijkpeifermanindo.co.id

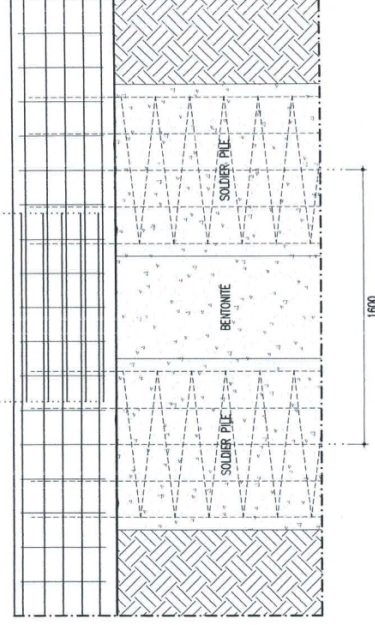
 <p>PT. IMOGA NIAGA CIPTA Sumber Daya Air dan Sumber Daya Alam (SDA) Utama No. 33 Jl. Raya Bantul Km. 10,5, Bantul, Yogyakarta 55272 Phone: +62 812-2262-2323 +62 857-2558-2521 Email: imoga-project@gmail.com</p>	<p>KONTAKTOR UTAMA</p> <p>NUSA RIYA CIPTA Jl. Raya Bantul Km. 10,5, Bantul, Yogyakarta 55272 Phone: +62 812-2262-2323 +62 857-2558-2521 Email: imoga-project@gmail.com</p>		
<p>KONTAKTOR A-C</p>			
<p>DIKELUARKAN UNTUK : SHOP DRAWING</p>			
SKALA	NO.GAMBAR	R.J.O	PARAF
1 : 25	SDS - 01D	R.0	S-1111
<p>ADAKA GAMBAR</p>			
<p>NUKA RIYA CIPTA Jl. Raya Bantul Km. 10,5, Bantul, Yogyakarta 55272 Phone: +62 812-2262-2323 +62 857-2558-2521 Email: imoga-project@gmail.com</p>			



DETAIL CAPPING BEAM TYPE C

DETAIL CAPPING BEAM TYPE B

DETAIL CAPPING BEAM TYPE A



DETAIL PRINSIP SAMBUNGAN LEWATAN CAPPING BEAM
SKALA 1 : 25



10

LAMPIRAN 7

TUTORIAL PLAXIS 2D

ANALISIS DEFORMASI LATERAL

CONTIGUOUS BORED PILE PADA

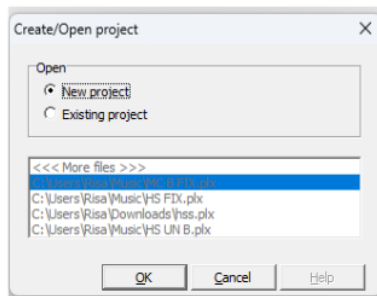
PEKERJAAN GALIAN DALAM

TUTORIAL PROGRAM PLAXIS 2D V.82

Pada analisis ini menggunakan *software* Plaxis 2D v8.2 dengan membuat 3 (tiga) permodelan diantaranya **Mohr Coulomb Undrained B**, **Mohr Coulomb Undrained C**, dan **Hardening Soil**. Dari ketiga permodelan tersebut langkah pembuatan permodelan Plaxis sama, yang membedakan hanyalah parameter yang di *input*. Dalam kasus ini tidak dimodelkan pembebanan karena keterbatasan data beban pada bangunan sekitar. Berikut merupakan tahap proses pembuatan permodelan dinding penahan tanah beserta tahap galiannya:

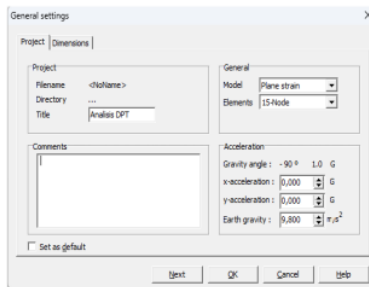
a. Pembuatan Geometri

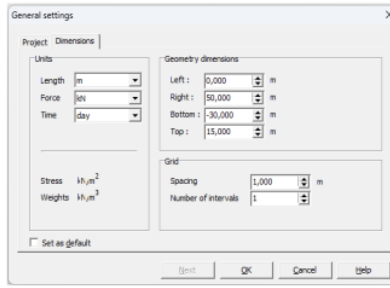
1. Buka Plaxis *Input*, lalu akan muncul kotak dialog *create/open project*. Kemudian klik *new project*.



Lalu akan muncul tampilan kotak dialog *general setting*. Masukkan judul kemudian klik tab *dimension*. Pada *geometry dimensions* mengubah dimensi geometri menjadi:

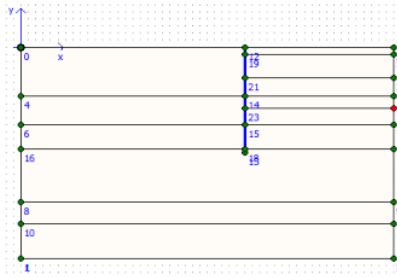
$$\begin{array}{ll} \text{Left} & = 0 \\ \text{Right} & = 50 \\ \text{Bottom} & = -30 \\ \text{Top} & = 15 \end{array}$$





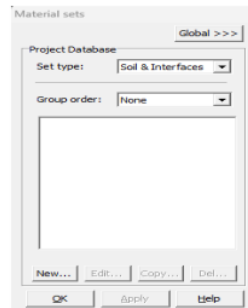
Jika sudah, klik Ok.

2. Permodelan geometri tanah menggunakan ikon *geometry line* dengan garis geometri disesuaikan kedalaman dan lebar dengan data yang ada. Jika ingin memutus garis klik kanan dan melanjutkan pada titik yang ditentukan. Untuk memodelkan dinding penahan tanah menggunakan ikon *plate*

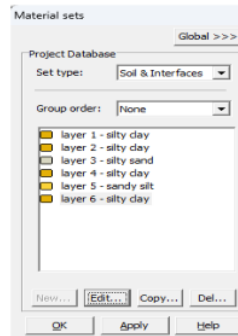


b. Input Parameter Tanah dan Dinding Penahan Tanah

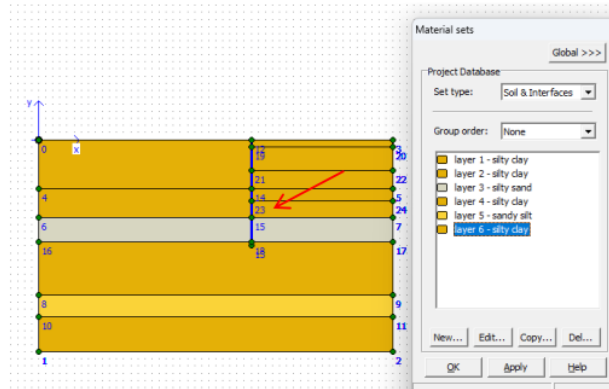
1. Setelah geometri tanah sudah dimodelkan berdasarkan kondisi di lapangan, kemudian memasukkan parameter tanah per lapisan dan parameter dinding penahan tanah pada icon material sets lalu akan tampil jendela seperti berikut:



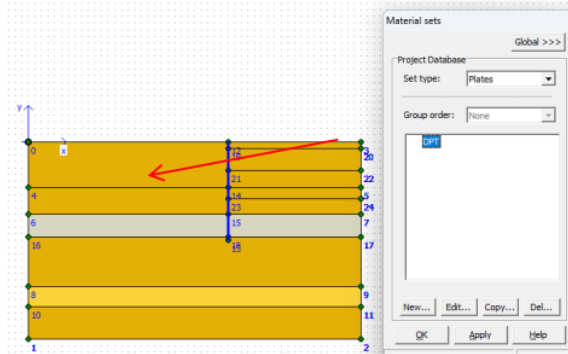
2. Pada jendela tersebut terdapat kotak dialog *set type*. Untuk memasukkan parameter tanah pilih *set type soil & interface*, sedangkan untuk memasukkan parameter dinding penahan tanah pilih *plates*. Setelah memilih *set type soil & interface* kemudian klik *new*. Masukkan parameter tiap lapisan sesuai data tanah yang ada atau korelasi.



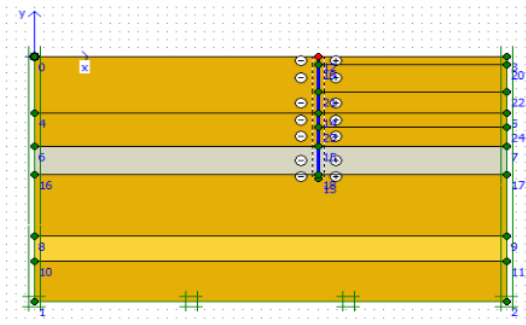
3. *Drag* parameter tanah yang sudah dibuat ke masing-masing lapisan tanah.



4. Setelah memodelkan kondisi tanah, kemudian masukkan parameter dinding penahan tanah dengan mengubah *set type* menjadi *plates* kemudian klik *new*. *Input* parameter dinding penahan tanah kemudian klik *OK*. Seperti dengan lapisan tanah, parameter dinding penahan tanah yang sudah dibuat kemudian di *drag* mengarahkan ke dinding penahan tanah.



- 26
5. Kemudian gunakan tombol *interface* untuk memisahkan kekakuan lebih dari satu elemen, yaitu kekakuan antara tanah dan tiang.
 6. Untuk membentuk kondisi batas, klik tombol jepit *standard fixity* maka akan terbentuk jepit pada bagian dasar dan jepit rol pada sisi vertical, seperti terlihat pada gambar:

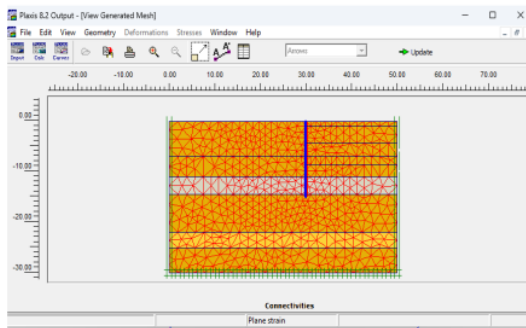


c. Menentukan Mesh Condition

1. Klik menu *mesh*, pilih *global coarseness* lalu akan tampil kotak dialog *mesh generation setup*.
2. Pilih *elements distribution* menjadi *very fine*, kemudian klik **OK**

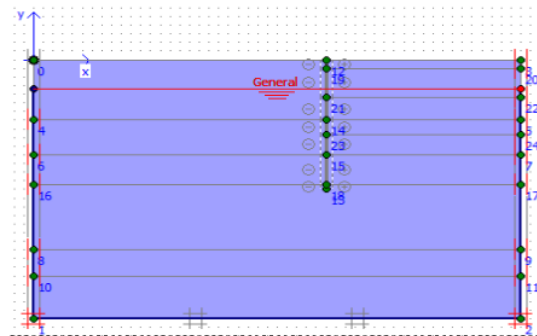


3. Klik *generate mesh* pada icon
4. Akan muncul kotak *view generated mesh*, klik *update*

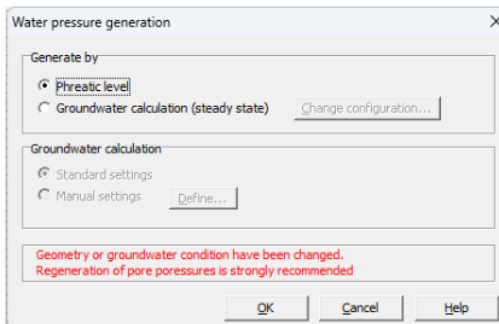


d. Menentukan Kondisi Awal dan Tegangan Awal

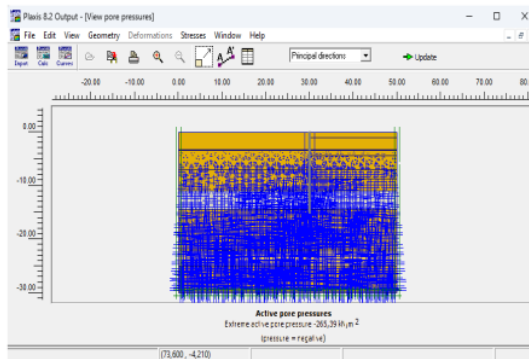
1. Klik *initial condition*
2. Klik *phreatic level* pada toolbar
3. Memodelkan muka air tanah awal dengan menarik garis dari ujung ke ujung lapisan tanah sesuai kedalaman MAT awal yang ada pada di lapangan.



4. Selanjutnya klik *initial pressure* pada toolbar kemudian akan muncul kotak dialog *water pressure generation*, klik *phreatic level*, lalu OK



5. Maka tampilan akan menjadi seperti berikut:



6. Klik *update* kemudian klik *toolbar pore pressure*

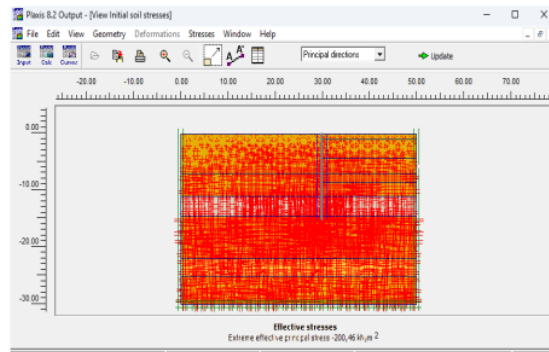


7. Lalu klik *generate initial stress*



K0-procedure				
IM-weight : 1.000				
Cluster	Material	OCR	POP	K0
1	MC	N/A	N/A	1,000
2	MC	N/A	N/A	1,000
3	MC	N/A	N/A	1,000
4	MC	N/A	N/A	0,357
5	MC	N/A	N/A	1,000
6	IMR	N/A	N/A	1,000

8. Kemudian klik OK. Maka tampilan akan berubah menjadi sebagai berikut:



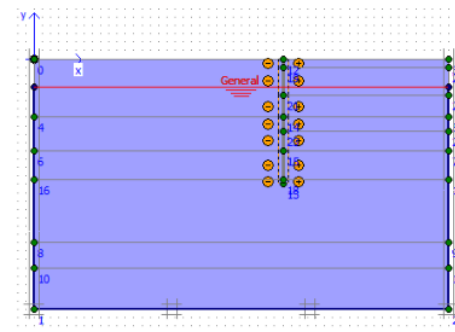
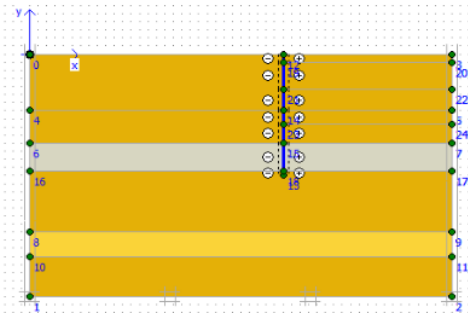
9. Klik *update*

e. Tahap Perhitungan

Pada tahapan ini membuat tahapan konstruksi sesuai yang di lapangan. Adapun tahapannya yaitu:

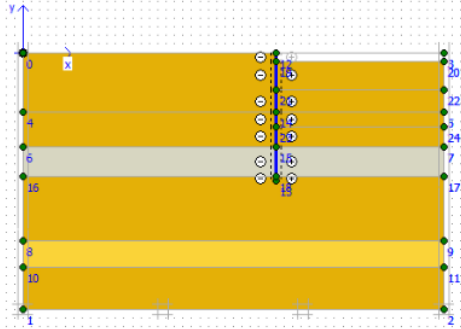
1. Tahap 1 – DPT

- Ubah *Phase 1* pada kotak *Number/ID* menjadi DPT
- Calculation type – plastic*
- Pada tab *parameters* aktifkan *reset displacement to zero* dan *delete intermediate steps* pada kotak *control parameters*
- Klik *define*
- Aktifkan dinding penahan tanah dengan meng-klik DPT dan mengaktifkan juga muka air tanah awal dengan meng-klik *water pressure* kemudian klik muka air tanah yang sudah dibuat sebelumnya selanjutnya klik *update*



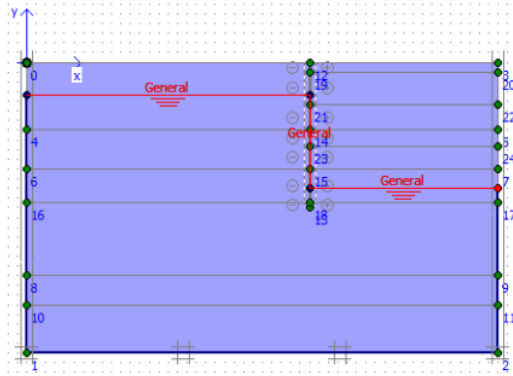
2. Tahapan 2 – Galian 1

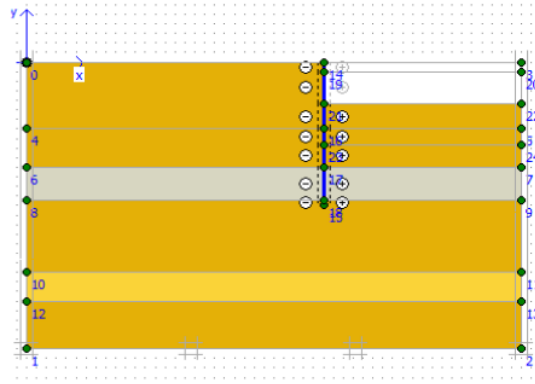
- Ubah *Phase 2* pada kotak *Number/ID* menjadi Galian 1
- Calculation type – plastic*
- Pada tab *parameters* aktifkan *reset displacement to zero* dan *delete intermediate steps* pada kotak *control parameters*
- Klik *define*
- Aktifkan galian pertama dengan meng-klik geometri galian pertama, selanjutnya klik *update*



3. Tahapan 3 – Galian 2

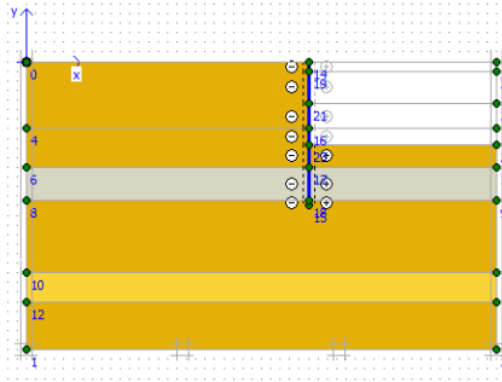
- Ubah *Phase 3* pada kotak *Number/ID* menjadi Galian 2
- Calculation type – plastic*
- Pada *tab parameters* aktifkan *delete intermediate steps* pada kotak *control parameters*
- Klik *define*
- Sebelum mengaktifkan galian kedua, muka air tanah diturunkan terlebih dahulu dengan cara klik *water pressure* lalu klik *phreatic level* kemudian menurunkan muka air tanah sesuai data *dewatering*. Setelah itu klik *water pressure* kembali
- Aktifkan galian kedua dengan meng-klik geometri galian pertama, selanjutnya klik *update*





4. Tahap 4 – Galian 3

- Ubah Phase 4 pada kotak Number/ID menjadi Galian 3
- Calculation type – plastic
- Pada tab parameters aktifkan *delete intermediate steps* pada kotak *control parameters*
- Klik *define*
- Aktifkan galian ketiga dengan meng-klik geometri galian ketiga, selanjutnya klik *update*

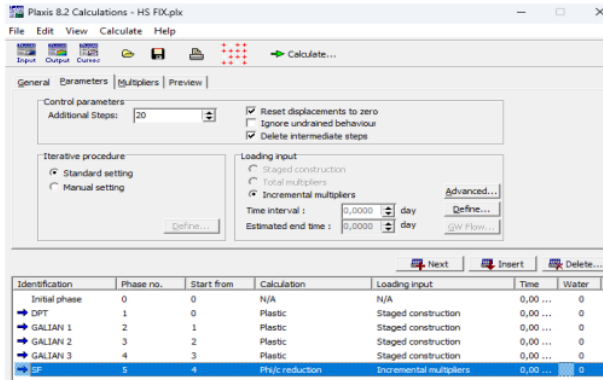


5. Tahap 5 – Safety Factor

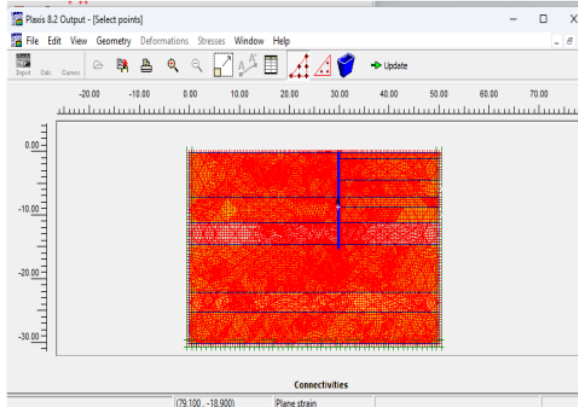
- Ubah Phase 5 pada kotak Number/ID menjadi SF
- Calculation type – phi/c reduncion
- Pada tab parameters ubah *additional steps* menjadi 10 kemudian aktifkan *reset displazement to zero* dan *delete intermediate steps* pada kotak *control parameters*
- Klik *define*

f. Proses Kalkulasi

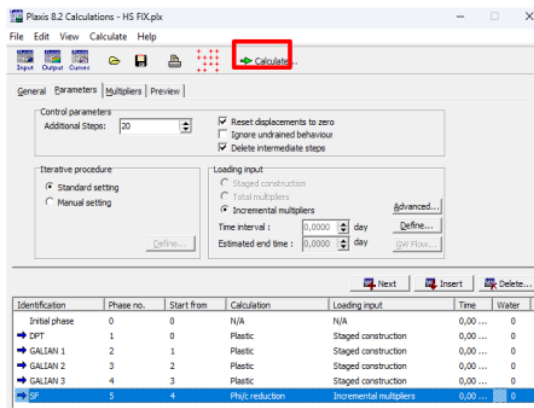
- Setelah semua tahapan sudah dibuat, maka tampilan tahapan akan terlihat pada jendela sebagai berikut:



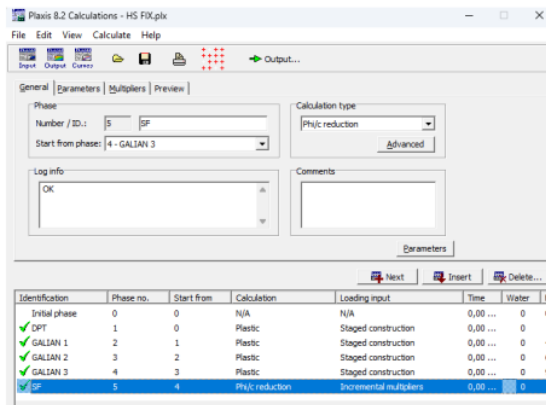
- Klik *select points for curve* pada toolbar untuk menentukan titik penggambaran kurva perpindahan-beban dan regangan, penentuan titik dilakukan dengan memilih salah satu titik pada model geometri, kemudian klik *update*



- Klik *calculate* untuk memulai proses kalkulasi agar bisa melihat *output* tiap tahapan



4. Menunggu kalkulasi hingga, pada jendela *identification* berubah menjadi tanda ceklis yang artinya proses kalkulasi berhasil. Jika tanda silang, maka tahapan tersebut gagal sehingga perlu dievaluasi kembali parameter atau tahapan konstruksinya.



Skripsi Nabila Fatihah 3336200061

ORIGINALITY REPORT



PRIMARY SOURCES

1	eprints.untirta.ac.id Internet Source	4%
2	repository.its.ac.id Internet Source	3%
3	123dok.com Internet Source	2%
4	jurnal.umsu.ac.id Internet Source	2%
5	jurnal.darmaagung.ac.id Internet Source	2%
6	dewey.petra.ac.id Internet Source	1%
7	journal.untar.ac.id Internet Source	1%
8	text-id.123dok.com Internet Source	1%
9	dspace.uii.ac.id Internet Source	1%

10	adoc.pub Internet Source	1 %
11	docplayer.info Internet Source	1 %
12	jurnal.unmuhjember.ac.id Internet Source	1 %
13	repository.uir.ac.id Internet Source	1 %
14	jurnal.poltekba.ac.id Internet Source	1 %
15	www.scribd.com Internet Source	<1 %
16	www.slideshare.net Internet Source	<1 %
17	perpustakaan.poltekkes-malang.ac.id Internet Source	<1 %
18	repository.ub.ac.id Internet Source	<1 %
19	archive.org Internet Source	<1 %
20	moam.info Internet Source	<1 %
21	www.researchgate.net Internet Source	<1 %

22	repository.trisakti.ac.id Internet Source	<1 %
23	www.coursehero.com Internet Source	<1 %
24	repo.itera.ac.id Internet Source	<1 %
25	Submitted to University of Technology, Sydney Student Paper	<1 %
26	repositori.usu.ac.id Internet Source	<1 %
27	Yi Xian Lim, Siew Ann Tan, Kok-Kwang Phoon. "Application of Press-Replace Method to Simulate Undrained Cone Penetration", International Journal of Geomechanics, 2018 Publication	<1 %
28	es.scribd.com Internet Source	<1 %
29	repository.unhas.ac.id Internet Source	<1 %
30	vdocuments.mx Internet Source	<1 %
31	sensorindo.com Internet Source	<1 %
	repository.unika.ac.id	

32	Internet Source	<1 %
33	testingindonesia.co.id Internet Source	<1 %
34	www.neliti.com Internet Source	<1 %
35	Submitted to Sultan Agung Islamic University Student Paper	<1 %
36	jurnal.untan.ac.id Internet Source	<1 %
37	Submitted to Universitas Pelita Harapan Student Paper	<1 %
38	ejurnal.untag-smd.ac.id Internet Source	<1 %
39	garuda.ristekbrin.go.id Internet Source	<1 %
40	jurnal.untad.ac.id Internet Source	<1 %
41	repository.unibos.ac.id Internet Source	<1 %
42	lib.ui.ac.id Internet Source	<1 %
43	journal.umsu.ac.id Internet Source	<1 %

- 44 Rahma Norfaeda, Muhammad Rizhan, Kartini Kartini. "Kajian Teknis Kestabilan Lereng Pasca Tambang Berdasarkan Sifat Fisik dan Mekanik Tanah (Studi Kasus Kecamatan Mataraman Kabupaten Banjar Kalimantan Selatan)", PROMINE, 2022
Publication <1 %
- 45 jurnal.usbypkp.ac.id <1 %
Internet Source
- 46 repository.umsu.ac.id <1 %
Internet Source
- 47 repository.unwira.ac.id <1 %
Internet Source
- 48 pt.scribd.com <1 %
Internet Source
- 49 repository.unpar.ac.id <1 %
Internet Source
- 50 digilib.uns.ac.id <1 %
Internet Source
- 51 m.moam.info <1 %
Internet Source
- 52 Submitted to Universitas 17 Agustus 1945 Surabaya <1 %
Student Paper
- 53 idoc.pub <1 %
Internet Source

<1 %

-
- 54 Mainuddin Shaik, Niloofar Yousefi, Nitin Agarwal, Billy Spann. "Evaluating Role of Instagram's Multimedia in Connective Action Leveraging Diffusion of Innovation and Cognitive Mobilization Theories: Brazilian and Peruvian Social Unrest Case Studies", 2023 10th International Conference on Behavioural and Social Computing (BESC), 2023
Publication <1 %
-
- 55 Putri Indah Sahfitri. "FINITE ELEMENT ANALYSIS PADA DINDING PENAHAN TANAH SIMPANG UNDERPASS UNIVERSITAS LAMPUNG", Teknosia, 2021
Publication <1 %
-
- 56 captainpiezocone.blogspot.com Internet Source <1 %
-
- 57 digilib.uinsgd.ac.id Internet Source <1 %
-
- 58 ejurnal.itenas.ac.id Internet Source <1 %
-
- 59 repositori.umsu.ac.id Internet Source <1 %
-
- 60 repository.unsri.ac.id Internet Source <1 %

61	library.polmed.ac.id	<1 %
Internet Source		
62	repository.uts.ac.id	<1 %
Internet Source		
63	repositori.uma.ac.id	<1 %
Internet Source		
64	website.rbi.org.in	<1 %
Internet Source		
65	Submitted to Syiah Kuala University	<1 %
Student Paper		
66	Submitted to Universitas Sultan Ageng Tirtayasa	<1 %
Student Paper		
67	digilib.uin-suka.ac.id	<1 %
Internet Source		
68	repository.upi.edu	<1 %
Internet Source		
69	anzdoc.com	<1 %
Internet Source		
70	dokumen.tips	<1 %
Internet Source		
71	repository.ukwms.ac.id	<1 %
Internet Source		
72	baixardoc.com	

<1 %

73 dspace.alquds.edu <1 %
Internet Source

74 eprints.uns.ac.id <1 %
Internet Source

75 library.binus.ac.id <1 %
Internet Source

76 sipil-s2.ft.unri.ac.id <1 %
Internet Source

77 Ahmad Jaelani, Yusuf Amran, H. Arminsyah
Gumay. "ANALISIS DINDING PENAHAN
TANAH / RETAINING WALL UNDERPASS UNILA
BANDAR LAMPUNG", JUMATISI: Jurnal
Mahasiswa Teknik Sipil, 2020
Publication

78 ejournal.unib.ac.id <1 %
Internet Source

79 eprints.itenas.ac.id <1 %
Internet Source

80 repo.stikesicme-jbg.ac.id <1 %
Internet Source

81 www.arsitur.com <1 %
Internet Source

82	Internet Source	<1 %
83	digilib.unila.ac.id Internet Source	<1 %
84	ejurnal.its.ac.id Internet Source	<1 %
85	eprints.uniska-bjm.ac.id Internet Source	<1 %
86	pdfcoffee.com Internet Source	<1 %
87	repository-ft.untirta.ac.id Internet Source	<1 %
88	repository.ipb.ac.id Internet Source	<1 %
89	repository.unkris.ac.id Internet Source	<1 %
90	sttjabar.weebly.com Internet Source	<1 %
91	"Advances in Civil Engineering Materials", Springer Science and Business Media LLC, 2024 Publication	<1 %
92	fyyfaacivil.blogspot.com Internet Source	<1 %

93

jurnal.unimed.ac.id

Internet Source

<1 %

94

repo.unand.ac.id

Internet Source

<1 %

95

repository.fe.unj.ac.id

Internet Source

<1 %

96

repository.uin-suska.ac.id

Internet Source

<1 %

Exclude quotes

Off

Exclude matches

Off

Exclude bibliography

On